

薄膜レンズによるプローブフォーミングレンズの 球面収差補正の研究

花 井 孝 明

薄膜レンズによるプローブフォーミングレンズの
球面収差補正の研究

名古屋大学図書	
和	941651

花井 孝明

目 次

第1章 緒論

§1-1 本研究の目的 ----- 1

§1-2 各章の概要 ----- 6

第2章 電子レンズの球面収差とその補正

§2-1 電子 γ ロード装置における球面収差補正の意義 11

§2-2 球面収差補正法 ----- 19

§2-3 薄膜レンズの構造および動作 ----- 25

第3章 薄膜レンズの球面収差補正特性の計算

· §3-1 序 言 ----- 32

§3-2 球面収差係数の導出 ----- 32

§3-3 薄膜レンズと γ ロードフォーミングレンズの
組み合わせレンズの特性 ----- 41

§3-4 結 言 ----- 54

第4章 電子 γ ロードの電子流密度分布の計算と

γ ロード径の測定

§4-1 序 言 ----- 57

§4-2 波面光学的手法を用いた電子流密度分布の計算 58

§4-3 γ ロード径測定法 ----- 64

§4-4 γ ロード径測定精度の検討 ----- 73

4-4-1 小さな γ ロード径の測定 ----- 73

4-4-2 大きな γ ロード径までの
広い範囲の測定 ----- 79

§ 4-5 結 言 ----- 91

第5章 球面収差補正による電子プローブの改善

§ 5-1 序 言	-----	94
§ 5-2 実験方法	-----	95
§ 5-3 予備実験と検討	-----	99
§ 5-4 陰影像を用いた収差の解析	-----	108
§ 5-5 薄膜レンズ寸法の効果	-----	121
§ 5-6 結 言	-----	128

第6章 走査型および走査透過型電子顕微鏡への 薄膜レンズの応用

§ 6-1 序 言	-----	131
§ 6-2 走査型電子顕微鏡(SEM)への応用	-----	131
6-2-1 実験方法とSEM像の観察	-----	131
6-2-2 像コントラストの計算による 観察結果の検討	-----	134
6-2-3 薄膜レンズの適用限界についての検討	-----	142
6-2-4 結 言	-----	144
§ 6-3 走査透過型電子顕微鏡(STEM)への応用	-----	145
6-3-1 STEM像の観察	-----	145
6-3-2 観察結果の検討	-----	147
6-3-3 結 言	-----	150

第7章 結 論 ----- 153

謝 辞

第1章 緒論

§ 1-1 本研究の目的

電子ビームを細く絞って電子プローブを試料に照射し、電子と試料との種々の相互作用を利用して試料の構造や物性を調べる、試料を加工したりする装置は、電子プローブ装置と総称される。加速された電子は可視光と比べて格段に短い de-Broglie 波長を持つため不確定性原理に基づく位置の揺らぎが小さく、またその制御は電界または磁界レンズおよび電磁偏倚器を用いて容易に行うことができるるので、微細なプローブを試料の任意の位置につくることが可能である。

このような特質を持つ電子プローブ装置は、現在広い分野で多くの応用を見出している。Knoll¹⁾ と von Ardenne²⁾ によって最初に開発された走査型電子顕微鏡(Scanning Electron Microscope、以後SEMと略す。)は代表的な電子プローブ装置であり、試料の表面構造の観察に適しているので、医学、生物学、材料科学などの分野で広く用いられている。また、SEMの一種で透過電子を信号として利用する走査透過型電子顕微鏡(Scanning Transmission Electron Microscope、STEM)は、高輝度の電子線の開発により³⁾、通常型の電子顕微鏡(Conventional Transmission Electron Microscope、CTEM)に迫る高い分解能を持つまでになってきている。⁴⁾

さらに、X線マイクロアナライザー⁵⁾、電子エネルギー損失

分光器⁶⁾等の電子プローブを利用して微小領域の分析器は、SEMの研究段階で発展させられて電子ビーム走査や信号検出の技術を取り入れて急速に応用分野を広げ、専在して微量成分の定性、定量分析に威力を發揮している。また、近年めざましい発展を遂げてきているLSI技術の分野においても、サブミクロン領域の高い集積度を達成するための電子ビーム描画技術⁷⁾、およびSEMの電位コントラスト⁸⁾を利用したデバイス検査法の研究、開発が盛んに行われている。

これらの電子プローブ装置における電子プローブの径は、装置の基本的性能に関する重要な因子である。すなれど、SEMやSTEMの解像度、各種分析装置における最小の分析領域、電子ビーム描画装置で描ける最小の線幅等のいわゆる空間分解能は、究極的にプローブ径によって制限される。特に、近年の技術の進歩により、従来これら装置の空間分解能を制限していた機械的振動、電気回路の不安定、真密度の不十分さに起因する試料汚染などが十分許容できる水準にまで改善された結果、電子プローブ装置の空間分解能をさらに向上させるためには、電子プローブ径の減少が不可欠となってきている。

プローブ径を決定する最大の要因は、電子ビームを細く絞つて電子プローブをつくる電子レンズ（プローブフォーミングレンズ）の球面収差である。電子レンズの球面収差は光学レンズのそれと比べて格段に大きく、球面収差によるプローブの広がりを抑えるために通常電子レンズに小さな絞りを挿入して開口

角を制限する。このため、たとえば写真用光学レンズでは焦点距離と口径との比すなわちF値が1.2程度のものまで存在するのに対して、電子レンズではF値は50以上であることが普通である。Abbeの定理によれば、開口角を制限することにF値電子の回折に起因するフローバーの広がりは電子波長にF値をかけて2倍程度であるので、電子レンズを用いて実現できる最小のフローバー径の理論的限界は、球面収差の存在のために、電子波長の約50倍に悪化していることにある。さらに、小角度絞りを挿入することにより、フローバー内の電子流はF値の2乗に反比例して減少し、必要以上の電子を試料に照射するためには、長時間の露出が必要となる。これは時間の損失となるだけではなく、装置の時間的安定度の限界を超えて、実効的フローバー径を増大させると要因となる。

このように電子レンズの球面収差が電子フローバー装置の性能を支配しているのは、その補正が困難なためである。光学レンズでは、正の球面収差を持つ凸レンズと負の球面収差を持つ凹レンズとを組み合わせることにより球面収差の補正を実現しているが、電子レンズではかく一般的な条件のもとで球面収差が常に正の符号を持つことが証明されており、⁹⁾ 球面収差の補正のためには非常に特殊な電子レンズや電子光学系を工夫しなければならない。これまでに多くの補正法が提案され、^{10, 11)} そのうちのいくつかは現在も研究が続行中であるが、それらに欠点があつて実用化には至っていない。

- え、球面収差が正の符号を持つ条件の枠内でできるだけ球面収差を低減するために、種々の形状の電子レンズの球面収差特性が調べられてきた。¹²⁻¹⁴⁾ その結果、磁界レンズと強励磁で用いたときに最もよい特性が得られることが、磁気材料の磁気飽和のために実現できる最小の球面収差が制限されることが明らかにされた。強励磁磁界レンズはコンデンサーオブジェクティブレンズ^{15, 16)} の形で現在広く用いられており、さらに強い励磁を達成するために、超電導現象を利用して磁界レンズの研究も行われている。^{17, 18)}

しかししながら、このように強励磁による球面収差の低減も現在ではすでに限界近くに達しており、これ以上の大幅な改善は期待できない。その上、実際のプローブフォーミングレンズの設計においては、球面収差だけに着目してレンズ特性を決めるのは現実的ではない。電子プローブ装置においては、大まかに試料を取り扱ったり、試料から発生する種々の信号を検出したりするために、プローブフォーミングレンズと試料との距離すなわちワーキングディスタンスを大きくとることが多く、この場合プローブフォーミングレンズは弱い励磁で焦点距離の長いレンズとして使用することになる。つまり、このように場合には球面収差に関する不利な状態でレンズを使わざるを得ない。

以上述べてきたように、プローブフォーミングレンズの球面収差は電子プローブ装置の性能を制限する最大の要因であり、その低減あるいは補正が重要な課題となっている。通常の電子

レンズの球面収差の低減はすでに飽和状態に達しており、将来的にも大幅な改善は期待できないので、電子プローブ装置の飛躍的性能向上のためにには、特殊な電子光学系を用いて球面収差補正を実現する以外にない。

本研究は、種々の補正法の中で実用化の可能性の高い薄膜レンズを用いてプローブフォーミングレンズの球面収差を補正し、電子プローブ装置の性能を向上させることを目的として基礎的研究である。薄膜レンズは、Scherzer¹⁹⁾によって提案された電子ビームの行路上に導電性薄膜を導入した特殊な静電レンズであり、本研究で用いるのは Maruse ら²⁰⁾によって改良された形のものである。この形の薄膜レンズは構造が簡単でしかも強い補正力を持つという特長を有するが、その実用化のために明らかにされねばならない問題がいくつか残されている。

まことに第1は、プローブフォーミングレンズに薄膜レンズを適用したときの球面収差補正特性に対して、薄膜レンズの形状がどのように影響するか調べ、薄膜レンズの設計の指針を与えることである。

第2は、薄膜レンズが電子プローブの大ささにどのように寄与するか調べることである。これまでに多くの補正法が提案され、そのうちのいくつかに対しては実際に球面収差の減少が実験的に示されたにもかかわらず、現在まで実用化された方法が皆無であるとの最大の理由は、球面収差補正のために導入した特殊な電子光学系が球面収差以外の収差を持ち込み、その

結果これらは特殊な電子光学系を導入しない場合よりもかえってプローブが広がることである。したがって薄膜レンズが球面収差補正効果を持つことを示すだけでは不十分であり、直接にプローブの大さきの変化を調べることが重要である。

第3に、薄膜レンズが実際の電子プローブ装置に対してどのような効果をもたらすかを検討する必要がある。薄膜レンズは、電子の行路上に薄膜を導入することによって球面収差の補正を可能にしているので、薄膜による電子の散乱が避けられてい。したがって、すべての電子プローブ装置に対して薄膜レンズが効果的であるかどうかは疑問であり、どのような場合に薄膜レンズが適しているかを検討しておればよい。

本研究はこれらの問題点を明らかにすることを目的とし、論文は次節に示すようすの構成から成る。

§ 1-2 各章の概要

本論文の各章の内容は次の通りである。

第2章では本論文の内容に関する基本的事項を述べ、問題点を明らかにする。まず、電子プローブ装置における電子レンズの球面収差補正の意義を述べる。次に、他の研究者によりこれまでに提案されて三種類の補正法を紹介してその比較検討を行うとともに、球面収差補正の研究の現状を述べる。最後に、本研究で採用して薄膜レンズの構造と本研究以前に確認されていてその動作特性を説明し、他の補正法に対する特長を述べる。

第3章では、電子プローブ装置に適用する際の薄膜レンズの電子光学的特性を数値計算によって調べ、球面収差補正が可能であることを示すとともに、薄膜レンズの設計のための基礎的データを与える。そのために、まず電子レンズの3次および5次の球面収差係数を電算機を用いて数値計算に適して形で導く。次に、プローブオーミングレンズとして用いる磁界レンズに薄膜レンズを組み合わせて補正してこの球面収差係数を計算する。さらに、薄膜レンズ各部の寸法が補正特性に与える影響について検討し、良好な特性を示す薄膜レンズの設計の指針を与える。

第4章では、第5章で行うプローブオーミングレンズの補正実験に必要とする、プローブ径測定法と測定結果の定量的評価の手法を確立する。はじめに、プローブ径を計算するのに必要な5次までの球面収差を考慮してプローブ電子流密度の計算のための式を導出し、プローブ径の定量的検討の方法を述べる。次に、従来測定不可能であった微小なプローブ径を測定する新しい方法を示す。この方法を用いてプローブ収束角に対するプローブ径の変化を測定し、計算された電子流密度分布から求めたプローブ径と比較することにより、測定の精度および限界について検討する。

第5章では、第3章での計算結果に基づいて、薄膜レンズによるプローブオーミングレンズの補正実験について述べる。第4章で確立した測定法を用いて、薄膜レンズを動作さ

せることによりプローブ径の変化を調べる。また、第4章で導いた式を用いてプローブ径を計算し、測定結果の定量的評価を行ふ。さらに、プローブオーミングレンズ系の回転対称からずれに起因する収差を測定する新しい方法を提案し、この方法を用いて球面収差補正後に残る非回転対称性収差の解析を行うことにより、薄膜レンズの工作精度のプローブ径への影響を検討する。

第6章では、薄膜レンズが実際の電子プローブ装置にどのようないずれの影響を及ぼすかを検討するために、例としてSEMおよびSTEMに薄膜レンズを適用し、その効果を調べる。

第7章では、本論文を総括し、今後の課題を述べる。

以下、参考文献は各章ごとに1)、2)、---の通し番号を付けて示し、各章末に別擧する。

第1章の参考文献

- 1) Knoll, M.: Z. Techn. Phys., 11, 467 (1935)
- 2) von Ardenne, M.: Z. Techn. Phys., 19, 407 (1938)
- 3) Crewe, A. V., Wall, J. and Welter, L. M.: J. Appl. Phys., 39, 5861 (1968)
- 4) Crewe, A. V. and Wall, J.: Optik, 30, 461 (1970)
- 5) Castaing, R. and Guinier, A.: Proc. 1st Int. Conf. Electron Microscopy, Delft, 1949, P. 60
- 6) Hillier, J and Barker, R. F.: J. Appl. Phys., 15, 663

(1944)

- 7) Munro, E.: in Septier, A. (Ed.), *Advances in Electronics and Electron Physics*, Suppl. 13B, Academic Press, New York, London, Toronto, Sydney, San Francisco, 1980, p. 73
- 8) Everhart, T. E., Smith, K. C. A., Wells, O. C. and Oatley, C. W.: Proc. 4th Int. Conf. Electron Microscopy, Berlin, 1958, Vol. 1, p. 269
- 9) Scherzer, O.: Z. Phys., 101, 593 (1936)
- 10) Septier, A.: in Barer, R. and Cosslett, V. E. (Ed.), *Advances in Optical and Electron Microscopy*, 1, Academic Press, London and New York, 1966, p. 204
- 11) Hawkes, P. W.: in Septier, A. (Ed.), *Advances in Electronics and Electron Physics*, Suppl. 13A, Academic Press, New York, London, Toronto, Sydney, San Francisco, 1980, p. 109
- 12) Glaser, W.: Z. Phys., 117, 215 (1941)
- 13) Liebmamn, G.: Proc. Phys. Soc., 64B, 972 (1951)
- 14) Kamminga, W., Verster, J. L. and Francken, J. C.: Optik, 28, 442 (1968 / 1969)
- 15) Riecke, W. D.: Optik, 19, 169 (1962)
- 16) Ruska, E.: Proc. 5th Int. Cong. Electron Microscopy, Philadelphia, 1962, Vol. 1, A1
- 17) Hardy, D. F.: in Barer, R. and Cosslett, V. E. (Ed.),

Advances in Optical and Electron Microscopy, 5, Academic
Press, London and New York, 1973, p. 201

- 18) Hawkes, P. W. and Valdrè, U. : J. Phys. E, 10, 309 (1977)
- 19) Scherzer, O. : Optik, 2, 114 (1947)
- 20) Maruse, S., Hiratake, S. and Ichihashi, M. : Jpn. J. Appl. Phys., 9, 1549 (1970)

第2章 電子レンズの球面収差とその補正

§ 2-1 電子プローブ装置における球面収差補正の意義

電子プローブ装置の基本的性能の一つである空間分解能が究極的に電子プローブ径によって制限され、どうもだけ小さくプローブを得ることが電子プローブ装置においてプローブをつくす電子光学系の使命であることは、すでに第1章で述べた。本節ではプローブ径と球面収差との関係を概説し、電子プローブ装置の性能向上に対する球面収差補正の必要性について論ずる。

プローブ径を決定する要因として次のものが考えられる。

(1) 電子の回折

(2) 電子銃の輝度

(3) プローブをつくす電子レンズの幾何収差

(4) 色収差

(5) 機械的工作精度やレンズ間の軸調整の限界による収差

(6) 機械的振動、外部じょう乱磁界

これらのうち、(6)の機械的振動がとび外部じょう乱磁界は、試料上でのプローブの動搖のため実効的にプローブが広がる効果を与える。実際の装置の設計においてはこの問題に十分注意を払う必要があるが、一般にこの影響は問題のどの程度まで低減することができる所以、ここでは考えてよいところにする。

(1) は電子の波動性による不可避の要因である。回折によると

γ ポーラーの広がりは、点電子源に対する Airy 回折パターンの最初の零点の直径として定義され、レンズの像側の半開口角、すなわち γ ポーラー収束角が α であり、電子波長が入ることで、回折による γ ポーラー直徑 d_d は

$$d_d = \frac{1.22\lambda}{\alpha} \quad (2-1)$$

で与えられる。

次に、(2) は γ ポーラー電子流密度が電子流の電子光学的輝度によって決まり、 γ ポーラー電流の増加によつて必然的に γ ポーラー径が増大する現象である。ここでいう電子光学的輝度とは、電子ビームの単位面積内を通り、単位立体角内に放射される電子流である。いま、 γ ポーラー内で電子ビームの輝度が電子流の輝度 B_G に等しいものとし、 γ ポーラー電流を I_0 、 γ ポーラー直徑を d_0 とすれば

$$B_G = \frac{I_0}{\pi(d_0/2)^2 \pi \alpha^2}$$

すなわち

$$d_0 = \frac{2}{\pi} \left(\frac{I_0}{B_G} \right)^{1/2} \frac{1}{\alpha} \quad (2-2)$$

が成り立つ。 $T = T$ とし α は小さいものとして、立体角を $\pi \alpha^2$ とし $T = 1$ 。 $(2-2)$ 式で与えられる d_0 を γ ポーラーのガウス径とよぶ。

$(2-1)$ および $(2-2)$ 式から、回折による γ ポーラー径と γ ポーラーのガウス径とは、ともに γ ポーラー収束角 α に反比例する

ことが分る。したがつて、通常はプローブ電流と電子鏡の輝度および電子波長の値によって d_0 か d_1 のどちらか一方のみを考慮すればよいことになる。一般的な傾向としては d_0 が支配的であることが多く、回折の影響が問題となるのは高輝度の電界放出電子鏡¹⁾を用いた場合に限られる。

(3) の電子レンズの幾何収差には、球面収差以外にコマ収差、歪像収差などのいわゆる軸外収差がある。軸外収差は、電子プローブを軸外に振り出しことにによって生ずるので、プローブを試料上の広い範囲で走査する電子ビーム描画装置などでは重大な影響をもたらす。しかしながら、軸外収差は、プローブの偏向角に応じて焦点を調節する動的補正²⁾によつて除くことが可能であり、また高い空間分解能を必要とする場合には一般にプローブの走査幅は大きくないことが普通であるので、軸外収差はプローブ径に対する究極的な制限とはならない。

電子レンズの幾何収差の中でも本質的に重要なのは球面収差である。球面収差は試料上でのプローブの位置に関係なく光軸上の電子線に対しても起こる収差であり、しかも軸外収差のように偏向系の適当な制御によって補正することができる。球面収差は図 2-1 に示すように近軸電子線とレンズの外縁部を通る電子線に対するレンズの像面位置が異なる現象であり、近軸電子線に対する像面(ガウス像面)における球面収差によるだけの半径 δf は、プローブ収束角の奇数次のベニ級数の形に書かれる。

$$\delta r = C_{S3} \alpha^3 + C_{S5} \alpha^5 + \dots \quad (2-3)$$

ここで C_{S3} , C_{S5} はそれぞれ 3 次と 5 次の球面収差係数によばれる。一般に、球面収差を抑えるため非常に小さな絞りで θ ローバー収束角を制限するので、3 次の項だけを考えることが多い。球面収差に起因する θ ローバーの広がりは、ビームの最小断面（最小錯乱円）の直径 ds で表われされ、(2-3) 式で 3 次の球面収差だけを考慮した場合には、

$$ds = \frac{1}{2} C_{S3} \alpha^3 \quad (2-4)$$

となる。

(4) の色収差は、加速電圧やレンズ電流の変動、および電子が陰極から放出されたときの初速度分布によるエネルギーの広がりのために、実効的にレンズの焦点距離が変動する現象である。

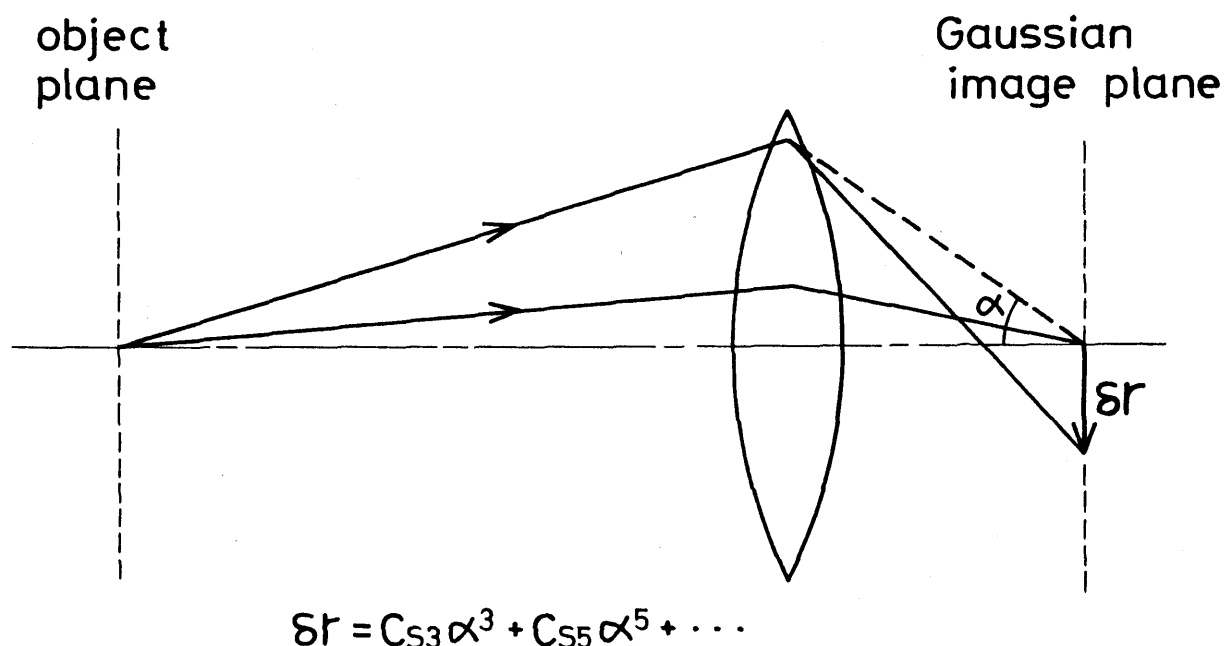


図 2-1 電子レンズの球面収差

る。いま、電子のエネルギー-広がりの電圧換算値を加速電圧の変動に含めて考えたときの加速電圧の変動率を $\Delta V_a / V_a$ 、レンズ電流の変動率を $\Delta I_l / I_l$ 、実効的焦点距離の変動を Δf_c とすれば、色収差に起因する γ - β の広がりの直径 d_c は

$$d_c = 2 \Delta f_c \alpha = 2 C_c \left(\frac{\Delta V_a}{V_a} - 2 \frac{\Delta I_l}{I_l} \right) \quad (2-5)$$

と書ける。³⁾ ここで C_c は色収差係数である。

(5) の工作精度や軸調整の限界などの機械的欠陥によって生ずる収差のうち、最も頻繁に現われるものは2回対称軸上非点収差である。しかし、この収差は2組の4極レンズから成る非点補正器の注意深い調整により十分な精度で補正が可能であるので、ここでは考慮しない。また、それ以外の機械的欠陥による収差は、通常用いるよう γ - β 収束角においては無視できるほど小さい。球面収差補正を行ったときには、この γ - β 収差が問題となることがあるが、それについては第5章で論じることとし、ここでは取り扱わない。

さて、以上の二つまたは要因を同時に考慮して γ - β 径を求める際、通常はこれらの要因が互いに独立事象であるとして、それらの要因に \pm γ - β 径の2乗和の平方根をとる。⁴⁾ (2-1)、(2-2)、(2-4)および(2-5)で与えられる γ - β 径の寄与を合計せば γ - β 径 d_g はしたがって

$$d_g^2 = d_d^2 + d_o^2 + d_s^2 + d_c^2 \quad (2-6)$$

によって求められる。

以上述べた手法は、かのかのの要因による θ ローブ径の基準が統一されておらず、このようにして求められた θ ローブ径の物理的意味は曖昧であるので、正確な定量的評価のためには第4章で述べるように電子流密度分布についての議論が必要である。しかし(2-6)式は、個々の要因の寄与の大小や θ ローブ収束角と θ ローブ径との関係を考察するためには極めて便利な式である。

Everhart⁵⁾は
(2-6)式から、作
図によって最小の
 θ ローブ径とそれ
とを与える最適 T_{SEM}
を θ ローブ収束角を求
める方法を示した。
例として、典型的
 T_{SEM} に対する
諸定数を代入して
計算した結果を図
2-2に示す。横
軸に θ ローブ収束
角 α を、縦軸に θ
ローブ径 d_p をとり、
 θ ローブ電流をパラメータとする曲線群で全 θ ローブ径 d_p を表

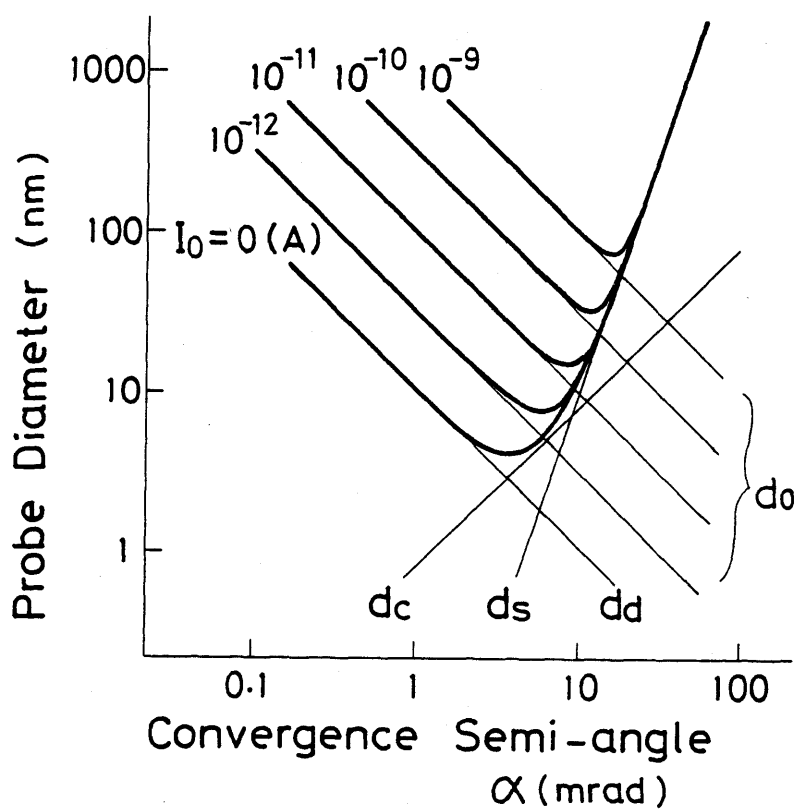


図 2-2 θ ローブ収束角と θ ローブ径
の関係

$$\left. \begin{aligned} V_a &= 20 \text{ kV}, \lambda = 0.0086 \text{ nm}, C_{s3} = 20 \text{ mm}, \\ C_C &= 8 \text{ mm}, B_g = 4 \times 10^4 \text{ A/cm}^2 \cdot \text{strad}, \\ \Delta V_a &= 2 \text{ V} \end{aligned} \right\}$$

れしてある。 γ ローブ収束角が小さい時には γ ローブ径は d_0 あるいは dd によって決まる。 γ ローブ電流が十分小さければ dd が d_0 より大きくなり、これが γ ローブ径の限界を定める。 dd の直線に $I_0 = 0$ と記してあるのはこの意味である。

一方、 γ ローブ収束角の大きいときは γ ローブ径は ds あるいは dc によって決まる。 ds と dc は共に γ ローブ収束角に伴って増大し、これは dd および d_0 の変化とは逆であるので、ある最適な γ ローブ収束角で最小の γ ローブ径が得られることになる。最小の γ ローブ径が球面収差と色収差のどちらで決まるかは γ ローブ電流の値に依存する。大きいほど γ ローブ電流が必要で最適な γ ローブ収束角が大きいときには ds 、これが小さいときには dc がそれぞれ支配的である。装置の種類、試料の性質等によって異なるが、実用的には γ ローブ電流は一般に $10^{-11} \sim 10^{-9}$ Aが標準的であるので、この図の場合には、 γ ローブ径は球面収差と γ ローブ電流によって決まる。

球面収差と色収差との大小関係は、この他に、加速電圧や用いる電子錠の影響も受ける。加速電圧が高い場合には(2-5)式の $\Delta V_a / V_a$ の値が小さくなるので、比較的高い加速電圧で用いるSTEMやエネルギー損失分光器においては、色収差の影響は図2-2に示したSEMの場合よりもさらに小さくなる。また、電界放出電子錠を用いるとときは、輝度の増大によってひとつの場合に $d_0 \ll dd$ が成立立つとともに、電子の初速度のばらつきが通常の熱陰極電子錠より小さくなり、色収差も無視でき

る。レフニがって、電界放出電子鏡を用ひるレヨには、球面収差と回折が最小の ϑ ローブ径を決める。

このように場合に ϑ ローブ径に寄与する要因は異なりが、球面収差はすべての場合に ϑ ローブ径に対する制限となる。レフニがって、より小 \pm の ϑ ローブ径を実現し、電子 ϑ ローブ装置の基本的性能を改善するためには、球面収差の小さなレンズあるいは通常のレンズの球面収差を補正するためのレンズを作ることが必要不可欠である。しかるに Scherzer⁶⁾ は、通常の電子レンズ、すなれち

(1) 電子の行路上に空間電荷あるいは電流が存在せず、

(2) 軸上電位 $\psi(z)$ 、軸上電界 $\psi'(z)$ および $\psi''(z)$ が連続で、

(3) 時間的に不变す、

(4) 回転対称の電磁界を持つ、

という条件を満たす電子レンズの球面収差は常に正の符号を持つ、すなれち凸レンズに対する球面収差であることを証明し、球面収差が不可避免であることを指摘している。その後この条件の範囲内で、できるだけ小 \pm の球面収差係数を持つレンズを得ようとする研究が盛んに行われてきたりが、この観点からの球面収差の改善には限界があり、将来的にも球面収差の格段の減少は望めない。

以上の事実から考えて、Scherzer の条件からはずれて特殊な電子レンズを考案し、それ自体を ϑ ローブフォーミングレンズとするかあるいは通常の電子レンズの球面収差を補正する以

外に 1 子、 γ° ローラー 径の減少は実現できない。すなわち球面収差補正以外の方法では、電子 γ° ローラー 装置の本質的な改良は期待できないと考えられる。

§ 2-2 球面収差補正法

球面収差補正のためには、前節で述べた球面収差が正の符号を持つ条件のうち、少なくとも一つを破る必要がある。これまことに多くの研究者がこの問題に取り組んでいるが、^{7, 8)} ここではそのうちの代表的なものについて比較検討を行ひ、補正の可能性について議論する。

これまでに提案された種々の補正法と、補正の原理によつて分類すれば次のようまとめることができる。

(1) 適当な分布を持つ空間電荷を光軸附近に導入する。この方法は Gabor⁹⁾ によって最初に理論的検討が行われ、補正に必要な電荷分布が与えられて。その後、実験的検討が Haufe¹⁰⁾、Le Poole¹¹⁾ によって行われている。

(2) 光軸附近に超電導体を導入し、永久電流による磁界を利用して。Marton¹²⁾ は磁界レンズ内の軸上に第二種の超電導体を置き、レンズの外縁部を通る電子線に対して収束力を弱めように電流を流して補正が行えることを指摘している。Dekkers¹³⁾ は超電導体のゾーンプレートを試作し、簡単な実験を行つていい。

以上の二つの方法は、球面収差が正である条件の(1)を破る

ものである。同条件の(2)を破る方法としては、次の三つが挙げられる。

(3)軸上電極を持つ同軸レンズを用いて、軸上電界の不連続を生じさせる。軸上の電位零の細長い電極と適当な電位を与えた円筒状の電極とを対にして同軸レンズを、3個直列に並べたレンズ系による補正が、Gabor¹⁴⁾によって提案されている。

(4)電子ビームを反射、結像させる電子ミラーを通常の磁界レンズと組み合わせる。軸上電界と軸上電位との比 $\eta'(z)/\eta(z)$ の特異点の存在のために電子ミラーは負の球面収差を生じ、これを磁界レンズ中に重ねて置いたときに球面収差が補正できることをRamberg¹⁵⁾が指摘している。その後Kasper¹⁶⁾は、静電ミラーと磁界レンズの系に入射する電子とこれから射出する電子とを振り分けることにより、全入射電子流が有効に利用できることを示している。

(5)軸上電界の不連続を生じさせるために、光軸に垂直に導電性薄膜を持つ薄膜レンズまたは導電性の格子を持つガーゼレンズを用いる。ガーゼレンズは薄膜レンズの薄膜による電子の散乱を軽減する目的で考案されたものであるが、格子の穴の部分で電界の乱れが生じ¹⁷⁾そのための収差が球面収差補正を無意味にすることが明らかにされているので、ここでは薄膜レンズのみを取り上げる。Scherzer¹⁸⁾が最初に提案した薄膜レンズは、通常の静電アイソツエルレンズの中央電極に薄膜を張、T字形のものであった。その後、Gianola¹⁹⁾は平行に2枚の薄膜

のみを使つたレンズを理論的に取り扱い、また Wittels²⁰⁾ はアインツエルレンズの両端の電極に2枚の薄膜を張つたレンズの特性を実験的に調べてゐる。さらに Maruse²¹⁾ は、円孔を持つ平板電極に接近して薄膜を置いていたときの、円孔附近に生ずる発散電界を利用して薄膜レンズを開発し、実際に球面収差の減少を実験的に示してゐる。

(6) パルス化した電子ビームを高周波レンズで収束せよ。
方針はもとより高周化パルス化した電子ビームにおいて、大まか角度の電子ビーム走行距離が長くレンズへの到着時刻が遅れるなどを利用して、電子ビームのパルスの周期に同調してレンズの強度を変化せよ。この方法の原理と特性の理論的検討は、Kompfner、Zworykin²²⁾ によつて行われたが、数GHz以上
の高周波電界を必要とするという技術的困難のために、実験的検討は理論の発表以来しばらくの間行われなかつた。近年になって、電子回路技術の進歩によりこのようないすれども高周波電界が比較的容易に発生、制御できるようになり、再びこの方法に関する報告が散見されるようになつてしまつてゐる。Vaidya²⁴⁾ は、2個のマイクロ波共振空洞を電子ビームのパルス化と電子レンズの両方に用ひることを提案し、実際に球面収差係数の測定を行つてゐる。

(7) 非回転対称性電磁界を持つレンズの組合せにより球面収差を補正し、しかも最終的に円形の断面を持つ電子ビームをつくる。この方法に対して 1894 年の計算および実験が報告さ

かれているが、そのほとんどは Scherzer¹⁸⁾ が提案した 4 極と 8 極のレンズの組み合わせレンズに関するものである。この型のレンズの研究は、現在もシカゴ大学²⁵⁾ とダルムシュタット工科大学²⁶⁾において、それぞれ独自の設計により進められている。他の型の非回転対称レンズとしては、比較的最近に「まつて」提案された 6 極レンズ²⁷⁾、交差レンズ²⁸⁾ の研究が続けられている。

以上述べた補正法の他に、電子顕微鏡像に対する補正としてオーバーライドを用いた波面再生の手法²⁹⁾ があるが、この手法は電子ビームに対する直接的な補正ではなく、TEM による像観察に対する補正法としては有力ではあるが、電子プロトグラフ装置には未だ未だ。

このように、通常の電子レンズにおける球面収差の不可避性の証明以来 50 年近くの間、球面収差補正は電子光学の分野において常に中心的な課題の一つとして研究され続けてきた。それにいかからず、これまでに提案されたどの補正法もそれぞれ固有の欠点を持ち、実用化に至ったものは皆無である。以下に上述の補正法の方の方について問題点を指摘し、その将来における実現の可能性を検討する。

(1) の空間電荷を利用する方法についてこの研究は比較的数が少なくて、この手法を排除する決定的反証は提出されていない。しかし、理論的に与えられた空間電荷分布を安定に保持することは難しく、子午入射電子と空間電荷との相互作用によって

ローブが広がることも分っており、実用化には困難であると考えられる。

(2) の超電導による補正も非常に困難である。すなはち、単純T字形の超電導体(たとえば軸上に細い線)で補正できる電子ビームの角度範囲は狭く、この範囲を広げようとするれば、複雑な構造の超電導体(たとえばゾーンコレート)が必要となる。工作精度の要求から実現可能な限界を越える。

(3) の同軸レンズでは近軸電子線が利用できないという決定的な欠点を有し、さらに電極の工作精度に対する要求も厳しい。前述の3個の同軸レンズによる補正以外に、工作精度の点で有利な2個の同軸レンズを使つて補正³⁰⁾も検討されているが、この場合には補正可能な電子ビームの角度範囲が非常に狭くT字形などが分つてある。このように同軸レンズによる補正是実現の見込みがたいと考えられ、これに関する実験も全く行われていはない。

(4) の電子ミラーでは、電子速度が零となる点近傍でのじょう乱磁界の影響や電子間のウーリン相互作用が重大な障害となることが考えられ、同軸レンズと同様に実験的検討は行われていない。

(5) の薄膜レンズは、他の補正法にみられる技術的の困難や制約が少なくて、実用化的可能性が高い補正法である。しかし、Scherzer および Gianola の提案した薄膜レンズは補正のため非常に高い電圧を電極間に加えねばならず、静電力による薄

膜の破損が避けられないため実現は難しい。これらに比べれば Wittels の薄膜レンズは比較的強い補正力を持つが、強励磁の磁界レンズのように焦点距離の短いレンズの補正にはまだ十分である。またこのように2枚の薄膜を用いる薄膜レンズは、薄膜で散乱される電子が倍増するという欠点を持つ。これに対して Maruse らの薄膜レンズは補正力が非常に強い。一般に補正力の強さの目安として、3次の球面収差係数を焦点距離の4乗で除して T 値が用いられ、³¹⁾ この値が負で絶対値が大きいほど補正力の強いレンズであるといえるが、この値で比較すると Maruse らの薄膜レンズは Wittels のそれと比べて $1/200 \sim 1/300$ の印加電圧で同程度の補正効果が得られることが分っている。

(6) の高周波レンズに関する実験的研究はまだ始められてばかりであり、研究成果も少ないのでその評価は難しい。用いるマイクロ波共振空洞の改善等の技術的進歩により将来実用化される可能性はあるが、高周波レンズでは2次の収差の影響が無視できず、³²⁾ さらに電子をパルス化する際の電子の消失の問題もあって、現在のこと実用化の見通しは立てていよい。

(7) の非回転対称レンズのうち主に研究されてきた4極-8極組合せレンズは、通常多くのレンズ要素を含み、それらの間の軸合せの精度やレンズ電流の安定度に対する要求は非常に厳しい。非回転対称レンズが、常に球面収差補正法の主流として研究が続けられてきたにもかかわらず、現在に至るまで通常の電子レンズの性能をはるかに下回っている最大の理由は、

その余りにも複雑な構成のために軸合れ等の精度の要求が限界を越え、それによつて非回転対称レンズ系に特有の 2 次の収差が大きくなることである。特に磁路のヒステリシスによる軸のずれ³³⁾に対しては解決法がなく、この形のレンズの実用化は疑問視されるようになつてゐる。レンズの枚数を減らして軸合れの精度の要求を軽減することを目的として 6 极レンズばかりの注目を集め、理論計算が盛んに行われてゐる^{34, 35)}が、実験的検討は今のところ行われていない。現時点では 6 极レンズの実用性を否定するに足る根拠はないが、6 极レンズを用いた補正系の設計の一例²⁷⁾を見ると限りでは、軸合れの許容誤差は依然としてかなり厳しく、実用化は難しいと考えられる。

以上述べておいたように、種々の球面収差補正法のほかで、薄膜レンズについては決定的な否定事項がなく、また技術的困難も少ないので、特に本研究で取り上げた Maruse らによつて改良された形の薄膜レンズは、強い補正力をもち、さらに次節において詳述するように他の補正法に見られて多くの特長を有しており、極めて実用性の高い補正法であると考えられる。次節では、その構造、特長および問題点を論議する。

§ 2-3 薄膜レンズの構造および動作

本研究において用いる薄膜レンズの基本的構成を図 2-3 に示す。薄膜レンズは、導電性薄膜と円孔を持つ金属平板とを 2

枚の電極とする
静電レンズであ
る。導電性薄膜
と円孔平板電極
と一定の間隔
で平行に保つた
め、その間に絶
縁膜をはさんだ
カンドイッチ構
造となる。この

2枚の電極間に、
円孔平板電極が
導電性薄膜に対

して正の電位に下すように電圧を印加すると、円孔からの漏れ電界により図の点線で示すような電位分布が形成される。図の左側から入射する電子が発散することは、等電位面の形状から定性的に理解することができる。光学レンズからの類推により、このようす凹レンズとして動作する電子レンズは負の球面収差を持つことが期待されるが、このこと(Ichihashiら³⁶⁾)により実験的に確かめられる。さらに Ichihashi ら³⁷⁾は励磁の弱い磁界レンズの球面収差を薄膜レンズを用いて補正したときの特性を、薄肉レンズ近似を使って解析し、実験結果を説明している。Hibino ら³⁷⁾は、より厳密な理論的検討を行ったために、

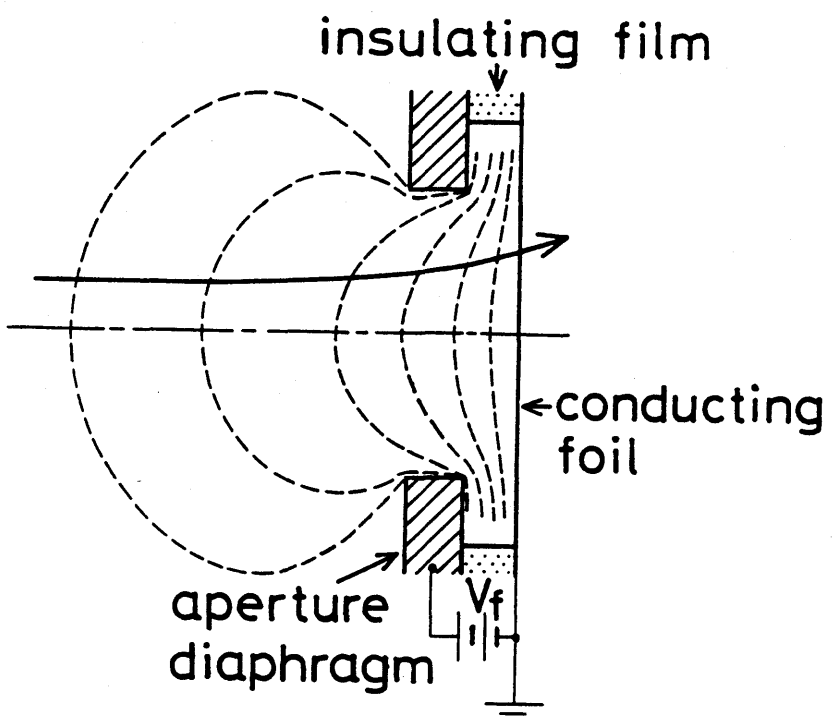


図 2-3 薄膜レンズの構成と電位分布
点線は等電位面を表わす。

3次と5次の球面収差係数を数値的に計算するための式を導出し、この式を用いて求めた球面収差が実験結果とよく一致することを示した。さらにHibinoら³⁸⁾は、電子顕微鏡の対物レンズとして用いられるようでは、球面収差係数が小さくするよう強く励磁して磁界レンズの球面収差を補正する実験を行い、100mrad程度までの大きな開口角において補正が可能であることを見出した。

Kuzuyaら³⁹⁾は、薄膜レンズをCTEMに適用することを目的としてCTEM対物レンズに対する補正特性を計算し、CTEM用薄膜レンズを用いてCTEMの分解能を向上させる可能性を示した。また、Hibinoら⁴⁰⁾は、薄膜レンズを実際にCTEMに組み込んで動作させたときの球面収差を、結晶試料の明視野および暗視野像から測定し、CTEMにおいて球面収差補正が可能であることを実験的に示した。

以上述べておいたように、本研究以前に行われた一連の研究により、薄膜レンズが凸レンズとして動作し、その他の球面収差によって通常の電子レンズの正の球面収差を補正できることが明らかにされていく。このようすは薄膜レンズの構造や動作を他の補正法と比較した場合、薄膜レンズの特長として次のようす事項が挙げられる。

(1) 構造の簡単さ。前節で論じた種々の補正用デバイスは、そのほとんどが非常に複雑な構造を有し、その構造の複雑さのために実用化が困難なものも多數あることを考えれば、極

めて簡単な構造を持つ薄膜レンズが他の補正法に比べて有利であることは明らかである。

(2) 実際の装置への装着および調整の容易さ。薄膜レンズは他の大がかりな装置による補正と違つて、通常の電子プローブ装置の電子光学系ほとんどを変更することなく組み込むことができる。また、回転対称な形状と構造の簡単さのために組合せも比較的容易である。

(3) 補正できる開口角の広さ。同軸レンズや超電導体による補正の場合のように、特定の狭い範囲のビームだけを補正するのではなく、近軸電子線から大まかに開口角のビーム全体にわたっての補正が可能である。

(4) 理論的検討の容易さ。構造の簡単さと回転対称性により、理論的取り扱いが比較的容易であり、最適な補正特性を持つ薄膜レンズの設計を行うことがほど困難ではない。

このように、薄膜レンズは他の補正法にたいへん特長を多く有し、実用性も高い。しかしながら、前章で述べたようにその実用化のためには、より詳細な補正特性の検討により薄膜レンズ形状の最適化を行うこと、プローブ径への寄与を直接的に調べること、薄膜による電子の散乱の影響を検討することが重要である。次章以下に、これらを検討、解決するために行なう数値計算と実験について順に述べる。

第2章の参考文献

- 1) Crewe, A. V., Eggenberger, D. N., Wall, J. and Welter, L. M.: Rev. Sci. Instrum., 39, 576 (1968)
- 2) Crewe, A. V. and Parker, N. W.: Optik, 46, 183 (1976)
- 3) Haine, M. E. and Cosslett, V. E.: The Electron Microscope, E. & F. N. Spon Ltd., London, 1961, Chap. 1, p. 1
- 4) Oatley, C. W., Nixon, W. C. and Pease, R. F. W.: in Marton, L. (Ed.), Advances in Electronics and Electron Physics, Academic Press, New York and London, 1965, p. 181
- 5) Everhart, T. E.: Ph. D. Thesis, Cambridge University (1958)
- 6) Scherzer, O.: Z. Physik, 101, 593 (1936)
- 7) Septier, A.: in Barer, R. and Cosslett, V. E. (Ed.), Advances in Optical and Electron Microscopy, 1, Academic Press, London and New York, 1966, p. 204
- 8) Hawkes, P. W.: in Septier, A. (Ed.), Advances in Electronics and Electron Physics, Suppl. 13A, Academic Press, New York, London, Toronto, Sydney, San Francisco, 1980, p. 109
- 9) Gabor, D.: Proc. Roy. Soc. Lond., 183A, 436 (1945)
- 10) Haufe, G.: Optik, 15, 521 (1958)
- 11) Le Poole, J. B.: Proc. 5th Eur. Cong. Electron Microscopy, Manchester, 1972, p. 130

- 12) Marton, L. : Rev. Sci. Instr., 38, 130 (1967)
- 13) Dekkers, N. H. and Le Poole, J. B. : Proc. 4th Eur. Reg. Conf. Electron Microscopy, Rome, 1968, p. 167
- 14) Gabor, D. : Nature, 158, 198 (1946)
- 15) Ramberg, E. G. : J. Appl. Phys., 20, 183 (1949)
- 16) Kasper, E. : Optik, 28, 55 (1968)
- 17) Verster, J. L. : Philips Res. Rept., 18, 465 (1963)
- 18) Scherzer, O. : Optik, 2, 114 (1947)
- 19) Gianola, V. F. : Proc. Phys. Soc., 63B, 1037 (1950)
- 20) Wittels, N. D. : J. Vac. Sci. Technol., 12, 1165 (1975)
- 21) Maruse, S., Hiratake, S. and Ichihashi, M. : Jpn. J. Appl. Phys., 9, 1549 (1970)
- 22) Kompfner, R. : Phil. Mag., 32, 410 (1941)
- 23) Zworykin, V. K., Morton, G. A., Ramberg, E. G., Hillier, J. and Vance, A. W. : Electron Optics and the Electron Microscope, Wiley, New York, 1945, Chap. 17, p. 603
- 24) Vaidya, N. C. and Hawkes, P. W. : Proc. 7th Int. Cong. Electron Microscopy, Grenoble, 1970, Vol. 2, p. 19
- 25) Thomson, M. G. R. : Optik, 34, 528 (1972)
- 26) Rose, H. : Optik, 34, 285 (1971)
- 27) Beck, V. D. : Optik, 53, 241 (1979)
- 28) Baranova, L. A., Petrov, I. A. and Yavor, S. Ya. : Proc. 9th Int. Cong. Electron Microscopy, Toronto, 1978, Vol. 1, p. 28

- 29) Tonomura, A., Matsuda, T. and Endo, J. : Jpn. Appl. Phys.,
18, 9 (1979)
- 30) Dunney, J. W. and Hull, C. R. : Proc. Phys. Soc., 59B, 828
(1947)
- 31) Ichihashi, M. and Maruse, S. : J. Electron Microscopy, 22,
321 (1973)
- 32) Matsuda, J. and Ura, K. : Optik, 40, 284 (1974)
- 33) Beck, V. D. : Proc. 35th Ann. Meeting EMSA, Boston,
1977, p.90
- 34) Rose, H. : Nucl. Instr. Methods, 187, 187 (1981)
- 35) Crewe, A. V. : Optik, 60, 271 (1982)
- 36) Ichihashi, M. and Maruse, S. : J. Electron Microscopy, 20,
167 (1971)
- 37) Hibino, M. and Maruse, S. : J. Electron Microscopy, 25,
229 (1976)
- 38) Hibino, M., Sugiyama, S., Hanai, T. and Maruse, S. :
J. Electron Microscopy, 27, 259 (1978)
- 39) Kuzuya, M., Hanai, T., Hibino, M. and Maruse, S. :
J. Electron Microscopy, 31, 18 (1981)
- 40) Hibino, M., Kuzuya, M. and Maruse, S. : Jpn. J. Appl.
Phys., 20, 781 (1981)

第3章 薄膜レンズの球面収差補正特性の計算

§3-1 序言

フローブフォーミングレンズの球面収差補正用薄膜レンズの設計、および補正実験の結果の定量的評価のためにには、薄膜レンズとフローブフォーミングレンズの組み合せレンズの球面収差係数を計算により求めることが不可欠である。

本章ではまず、そのために必要な球面収差係数の式を、電算機を用いる数値計算に適した形で導く。通常、3次の球面収差だけを議論すれば十分であることが多いため、補正の実際的な効果を論ずる際には、3次の球面収差の次に重要な収差である5次の球面収差が、3次の球面収差を補正したときにはどの程度の大ささとなるかを知ることが必要である。したがって、本研究においては3次だけではなく5次の球面収差係数の導出も行う。

次に、導いた式を用いて実際に実験に用いるフローブフォーミングレンズに対する薄膜レンズの球面収差補正特性を計算し、補正の可能性を検討する。さらに、薄膜レンズの実用化の制限となると考えられる薄膜に加わる静電力と、3次の球面収差補正時の5次の球面収差係数の大ささとに注目して、最適な薄膜レンズ寸法の検討を行う。

§3-2 球面収差係数の導出

薄膜レンズは通常のレンズと同様に回転対称な形状をもつ

で、この電子光学的特性の解析には回転対称レンズに対する理論が適用できる。したがって収差は試料面における電子の軸からの距離 r と $\theta = 90^\circ - \alpha$ （ α ：収束角）についての奇数次のベニミ級数の形に書くことができ、通常のレンズではこの最低次の3次の収差のみを考える。

ある種の電子プローブ装置、たとえば電子ビーム描画装置や低倍率で用いたときのSEMにおいては、電子ビームを軸外に大きく偏向せらるので、3次の幾何収差のうち球面収差以外の収差すなれば歪像収差、非点収差、像面弯曲の収差、コマ収差が問題となる。これらのいかゆる軸外収差に対する薄膜レンズの寄与も興味ある問題であるが、軸外収差はプローブ偏向系の動的補正¹⁾によって除くことが可能であるのでここでは取り扱わない。

ここで幾何収差としては球面収差のみを考えるわけであるが、3次の球面収差を補正した後に残る収差を評価するためには3次と5次の球面収差係数を計算する式の導出を行う。すなはち、色収差に対する薄膜レンズの効果を数値計算によって検討を行ったが、薄膜レンズとプローブオーミングレンズの組み合わせレンズにおいて薄膜レンズを動作させても、色収差係数はほとんど変化せず、非常に弱い補正効果しか生じないことが分った。したがって、以下の議論において色収差に対する薄膜レンズの寄与は取り扱わない。

さて3次の球面収差係数を計算するための式は、古くから二

まことに導出されて至る。²⁻⁴⁾しかし、通常の電子レンズにおいては3次の収差の扱い議論で十分であるため、5次の球面収差係数の式に関する報告は少ない。Hibinoら⁵⁾は逐次近似法を用いて3次と5次の球面収差係数の式を導いているが、この式は非常に多くの項を含み、また電位について6次まで、磁束密度について4次までのすべての導関数を使っており、実際には数値計算を行う際の計算時間および記憶容量の大ささの点で不利である。

Munroら⁶⁾は3次の球面収差係数を与える式を、部分積分によって電位と磁束密度の奇数次の導関数を含むT字形に変形できることを示している。ここでは、部分積分を用いて Hibinoらの式を変形し、より数値計算に適した形の3次と5次の球面収差係数を導く。⁷⁾

円筒座標系(r, θ, z)における軌道方程式は回転対称T字形で θ を含む以下の形で表われされる。

$$2\gamma r'' = \left(\frac{\partial \gamma}{\partial r} - r' \frac{\partial \gamma}{\partial z} \right) (1 + r'^2) \quad (3-1)$$

$\gamma = \gamma(r, z)$

$$\gamma(r, z) = \varphi(r, z) - \frac{n}{2} |A(r, z)|^2 \quad (3-2)$$

であり、 φ は電位、 A はベクトルポテンシャル、 n は電子の電荷対質量の比を表わし、 φ は r と z に関する微分を表す。

(3-1)式を近似的に解いて電子軌道 $r(z)$ を求めると、(3-2)式を r のべき級数に展開して(3-1)式に代入すると、べき級数

をどうにまで打ち切るかによって 1 次、3 次、5 次の軌道方程式として次式が得られる。

$$r'' + \frac{\bar{\Psi}'}{2\bar{\Psi}} r' + \frac{1}{4\bar{\Psi}} \left(\bar{\Psi}'' + \frac{\eta B^2}{2} \right) r = 0 \quad (3-3)$$

$$= F_3 \quad (3-4)$$

$$= F_5 \quad (3-5)$$

ここで $\bar{\Psi}$ は軸上電位、 B は軸上磁束密度であり、 F_3 と F_5 はそれぞれ r および r' について 3 次の項と 5 次の項を表す。電位は電子速度零のとき零とするようにとっている。

1 次軌道方程式 (3-3) は近軸方程式とも呼ばれ、その解は近軸軌道とよばれる収差のない軌道である。球面収差は図 3-1 に示すように物面において軸上から出発して電子線に対する収差であるから、近軸軌道として物面 $Z = z_0$ において軸上から出発

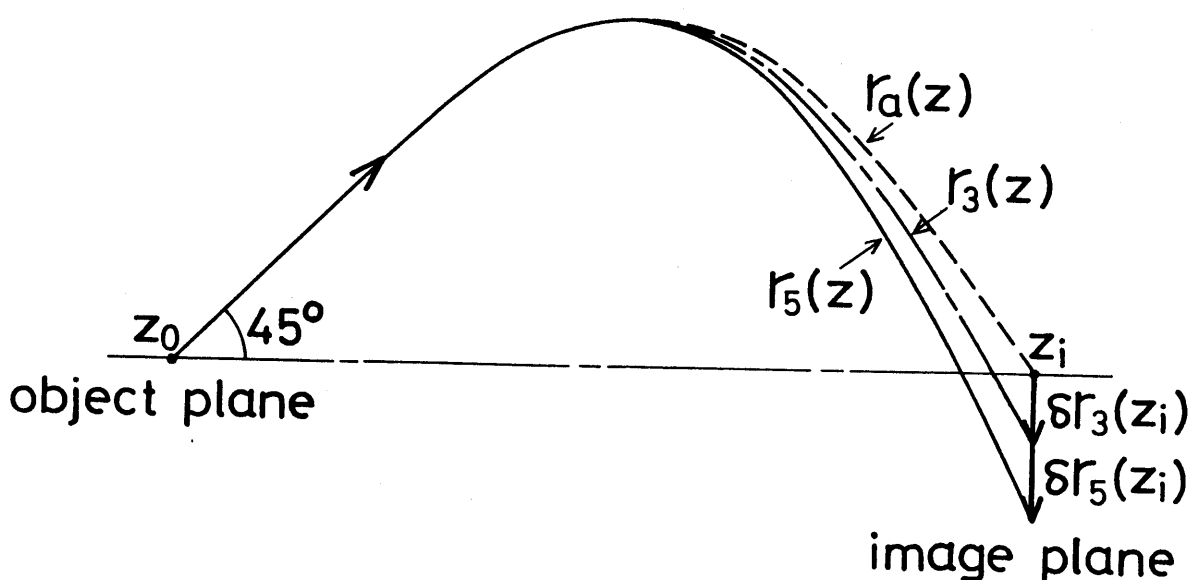


図 3-1 近軸軌道 $r_a(z)$ に対する 3 次と 5 次の軌道
 $r_3(z)$, $r_5(z)$

する軌道を選ぶ。物面 \bar{z} の軌道の値 \bar{r}_3 は便宜的に 1 とする。すなわち境界条件

$$r_a(z_0) = 0, \quad r_a'(z_0) = 1 \quad (3-6)$$

を満たす近軸軌道 $r_a(z)$ を考える。

(3-6)式の境界条件のもとで(3-3)式を解いて $r_a(z)$ を求め、これを(3-4)式の右辺に代入する。この方程式の解 $r_3(z)$ を3次の軌道 $r_3(z)$ とし、3次の球面収差 $\delta r_3(z)$ を

$$\delta r_3(z) = r_3(z) - r_a(z) \quad (3-7)$$

によって定義する。同様にして $r_5(z)$ を(3-5)式の右辺に代入し、その解 $r_5(z)$ を用いて5次の球面収差 $\delta r_5(z)$ を

$$\delta r_5(z) = r_5(z) - r_3(z) \quad (3-8)$$

のように定義する。さらに、3次および5次の球面収差係数 C_{S3} と C_{S5} は、 70° ローブ収束角を α として次式によって定義する。

$$\delta r_3(z_i) = -C_{S3} \alpha^3 \quad (3-9)$$

$$\delta r_5(z_i) = -C_{S5} \alpha^5 \quad (3-10)$$

ここで $z_i = z_i$ はガウス像面すなわち近軸軌道に対する像面である。

以上の手順により Hibino^ら⁵⁾が得た結果を次に示す。

$$C_{S3} = \frac{1}{\{r_a'(z_i)\}^4} \int_{z_0}^{z_i} \left(\frac{\bar{r}}{\bar{r}_i}\right)^{1/2} F_{33} r_a dz \quad (3-11)$$

$$C_{S5} = C_{S3} + \frac{1}{\{r_a'(z_i)\}^6} \int_{z_0}^{z_i} \left(\frac{\bar{r}}{\bar{r}_i}\right)^{1/2} (F_{35} + F_{55}) r_a dz \quad (3-12)$$

ここで $\bar{\Phi}$ はガウス像面における軸上電位であり、 F_{33} は F_3 の $r=$ 近軸軌道 r_a を、 F_{35} は F_3 の $r=3$ 次の軌道 r_3 を、 F_{55} は F_5 の $r=r_a$ を代入して得られる関数である。これらを書き下すと次のようになる。

$$F_{33} = -S_7 r_a^3 - S_3 r_a^2 r_a' + S_2 r_a r_a'^2 + S_1 r_a'^3 \quad (3-13)$$

$$\begin{aligned} F_{35} = & -3S_7 r_a^2 \delta r_3 - S_3 (r_a^2 \delta r_3)' + S_2 (2r_a \delta r_3' \\ & - r_a' \delta r_3) r_a' + 3S_1 r_a'^2 \delta r_3' \end{aligned} \quad (3-14)$$

$$\begin{aligned} F_{55} = & (-3S_2 S_4 + S_2^3 + S_6) r_a^5 - (S_1 S_4 + S_2 S_3 - S_5) r_a^4 r_a' \\ & - S_7 r_a^3 r_a'^2 - S_3 r_a^2 r_a'^3 \end{aligned} \quad (3-15)$$

$T = T = \tilde{T}$

$$S_1 = \frac{\bar{\Phi}'}{2\bar{\Phi}}, \quad S_2 = \frac{1}{4\bar{\Phi}} (\bar{\Phi}'' + \frac{\eta B^2}{2}),$$

$$S_3 = \frac{1}{8\bar{\Phi}} (\bar{\Phi}^{(3)} + \eta BB') - S_1 S_2,$$

$$S_4 = \frac{1}{64\bar{\Phi}} (\bar{\Phi}^{(4)} + 2\eta BB''),$$

$$S_5 = \frac{1}{128\bar{\Phi}} \{ \bar{\Phi}^{(5)} + 2\eta (BB'')' \},$$

$$S_6 = \frac{1}{768\bar{\Phi}} (\bar{\Phi}^{(6)} + \frac{9\eta}{2} B''^2 + 3\eta (BB^{(4)})),$$

$$S_7 = 2S_4 - S_2^2 \quad (3-16)$$

である。 $\tilde{T} = \delta r_3(z)$ の (3-7) 式および

$$r_3'' + \frac{\bar{\Phi}'}{2\bar{\Phi}} r_3' + \frac{1}{4\bar{\Phi}} (\bar{\Phi}'' + \frac{\eta B^2}{2}) r_3 = F_{33} \quad (3-17)$$

より、定数変化法を用いて

$$\begin{aligned}\delta r_3(z) = & r_a(z) \int_{z_0}^z \left(\frac{\bar{\Phi}}{\bar{\Phi}_0}\right)^{1/2} F_{33} r_b dz \\ & - r_b(z) \int_{z_0}^z \left(\frac{\bar{\Phi}}{\bar{\Phi}_0}\right)^{1/2} F_{33} r_a dz\end{aligned}\quad (3-18)$$

と積分の形に書きこみができる。 $T=T''$ し、 $\bar{\Phi}_0$ は物面での軸上電位であり、 $r_b(z)$ は近軸方程式の解で境界条件

$$r_b(z_0) = 1, \quad r'_b(z_0) = 0 \quad (3-19)$$

を満たす軌道である。

さて、(3-11) および (3-12) 式をより簡単な形にするためこれらを部分積分する。また (3-11) 式は

$$\begin{aligned}C_{33} = & \frac{1}{\{r'_a(z)\}^4 \sqrt{\bar{\Phi}}} \left[-\frac{1}{2} \sqrt{\bar{\Phi}} (S_2 r_a^3 r'_a + r_a r_a'^3) \right]_{z_0}^{z_h} \\ & + \frac{1}{\{r'_a(z)\}^4} \int_{z_0}^{z_h} \left(\frac{\bar{\Phi}}{\bar{\Phi}_0}\right)^{1/2} G_{33} dz\end{aligned}\quad (3-20)$$

である。ここで

$$G_{33} = R_2 r_a^4 + R_1 r_a^2 r_a'^2 + \frac{1}{2} r_a'^4 \quad (3-21)$$

$T=T''$ し

$$\begin{aligned}R_1 &= \frac{1}{4\bar{\Phi}} (\bar{\Phi}'' + \frac{\eta B^2}{2}), \\ R_2 &= \frac{R_1^2}{2} - \frac{1}{32\bar{\Phi}} (\bar{\Phi}^{(4)} + 2\eta BB'')\end{aligned}\quad (3-22)$$

である。計算の過程で生ずる r_a'' の項は (3-3) 式を用いて消去している。またガウス像面は、物面において軸上から出発して電子の近軸軌道が再び軸と交わる面であり、

$$r_a(z_h) = 0 \quad (3-23)$$

である。したがつて(3-6)式と(3-23)式から(3-20)式の第1項は零となる、結局

$$C_{S3} = \frac{1}{\{r_a'(z_i)\}^4} \int_{z_0}^{z_i} \left(\frac{\bar{\Psi}}{\bar{\Psi}_i}\right)^{1/2} G_{33} dz \quad (3-24)$$

が得られる。

次に(3-12)式を部分積分するとき次式が得られる。

$$\begin{aligned} C_{S5} &= C_{S3} + \frac{1}{\{r_a'(z_i)\}^6 \sqrt{\bar{\Psi}_i}} \left[\sqrt{\bar{\Psi}} \left\{ -\frac{1}{2} S_2 (r_a \delta r_3)' r_a \right. \right. \\ &\quad - \frac{3}{2} r_a'^2 r_a \delta r_3' + \frac{1}{8} (4S_4 - S_2^2) r_a^5 r_a' \\ &\quad \left. \left. + \frac{1}{4} S_2 r_a^3 r_a'^3 + \frac{3}{8} r_a r_a'^5 \right] \right. \int_{z_0}^{z_i} \\ &\quad + \frac{1}{\{r_a'(z_i)\}^6} \int_{z_0}^{z_i} \left(\frac{\bar{\Psi}}{\bar{\Psi}_i}\right)^{1/2} (G_{35} + G_{55}) dz \end{aligned} \quad (3-25)$$

$= z''$

$$\begin{aligned} G_{35} &= 3R_2 r_a^3 \delta r_3 + \frac{3R_1}{2} r_a r_a' (r_a \delta r_3)' \\ &\quad + \frac{3}{2} r_a'^3 \delta r_3' \end{aligned} \quad (3-26)$$

$$\begin{aligned} G_{55} &= (R_3 + \frac{3R_1 R_2}{4}) r_a^6 + \frac{3R_2}{4} r_a^4 r_a'^2 \\ &\quad - \frac{3R_1}{8} r_a^2 r_a'^4 - \frac{3}{8} r_a'^6 \end{aligned} \quad (3-27)$$

$T = T''$ し

$$R_3 = \frac{1}{768 \bar{\Psi}} (\bar{\Psi}^{(6)} + \frac{9\eta B''^2}{2} + 3\eta BB^{(4)}) \quad (3-28)$$

である。計算の過程で生ずる r'' の項は (3-17) 式を用いて消去していい。 $(3-6)$ 式と $(3-23)$ 式の境界条件を用いれば、 $(3-25)$ 式は

$$C_{55} = C_{53} + \frac{1}{\{r_a'(z)\}^6} \int_{z_0}^{z_h} \left(\frac{\Phi}{\Phi_0} \right)^{1/2} (G_{35} + G_{55}) dz \quad (3-29)$$

となる。これらに、 $\delta r_3(z)$ を求めるための $(3-18)$ 式も部分積分で

$$\delta r_3(z) = r_a(z) \left[-\frac{1}{2} \left(\frac{\Phi}{\Phi_0} \right)^{1/2} (S_2 r_a^2 r_a' r_b + r_a'^3 r_b) \right]_{z_0}^z$$

$$- r_b(z) \left[-\frac{1}{2} \left(\frac{\Phi}{\Phi_0} \right)^{1/2} (S_2 r_a^3 r_a' + r_a'^3 r_b) \right]_{z_0}^z$$

$$+ r_a(z) \int_{z_0}^z \left(\frac{\Phi}{\Phi_0} \right)^{1/2} G_{33} dz - r_b(z) \int_{z_0}^z \left(\frac{\Phi}{\Phi_0} \right)^{1/2} \bar{G}_{33} dz \quad (3-30)$$

と書き直すことができる。 \cdots

$$\bar{G}_{33} = R_2 r_a^3 r_b + R_1 r_a r_a' (r_a r_b)' + \frac{1}{2} r_a'^3 r_b' \quad (3-31)$$

である。 $(3-6)$ 式と $(3-19)$ 式の境界条件を $(3-30)$ 式に入し整理すれば、

$$\begin{aligned} \delta r_3(z) = & -\frac{1}{2} r_a(z) + r_a(z) \int_{z_0}^z \left(\frac{\Phi}{\Phi_0} \right)^{1/2} G_{33} dz \\ & - r_b(z) \int_{z_0}^z \left(\frac{\Phi}{\Phi_0} \right)^{1/2} \bar{G}_{33} dz \end{aligned} \quad (3-32)$$

が得られる。

ここで導いた球面収差係数の式 $(3-24)$ やび $(3-29)$ 式には α と B の奇数次の導関数を含まない。また、含まれる関数の形は $(3-13) \sim (3-16)$ 式と比べて簡単であり、しかも同じ関数を繰り返し使う形の式であるので、電算機を用いる計算に適してい

る。

次節において、この式に薄膜レンズの軸上電位分布と Φ -ローブフォーミングレンズの軸上磁束密度分布を代入することにより、薄膜レンズと Φ -ローブフォーミングレンズとの組み合わせレンズの球面収差の特性を計算し、薄膜レンズの寸法が補正特性に与える影響を議論する。

§ 3-3 薄膜レンズと Φ -ローブフォーミングレンズの組み合わせレンズの特性

本研究において球面収差補正実験に用ひる Φ -ローブフォーミング用磁界レンズのポールピースと薄膜レンズの構造および配置を、断面図によつて図3-2に示す。磁界レンズのポールピースは、強力磁 Φ -ローブフォーミングレンズ用に設計されたもので、穴直径は上穴が $D_1 = 10\text{ mm}$ 、下穴が $D_2 = 2\text{ mm}$ であり、磁極間隔 $S = 11\text{ mm}$ である。薄膜レンズは、径 $2R$ の円孔をもつ厚 $\pm t$ の平板電極と導電性薄膜との間に、厚 $\pm d$ の絶縁膜をはさんだ構造をとつてゐる。実際にレンズ作用があるのは、平板電極の円孔のわざか上穴から導電性薄膜にかけての狭い範囲であり、その上穴を覆う、平板電極と同電位の金属円筒は、平板電極の円孔近傍での電界の乱れを防ぐためのものである。薄膜レンズと Φ -ローブフォーミングレンズの磁極間の中点との距離を L で表わす。

さて、前節で述べたように、 Φ -ローブフォーミングレンズと薄膜レンズとの組み合わせレンズ（以後、単に組み合わせレン

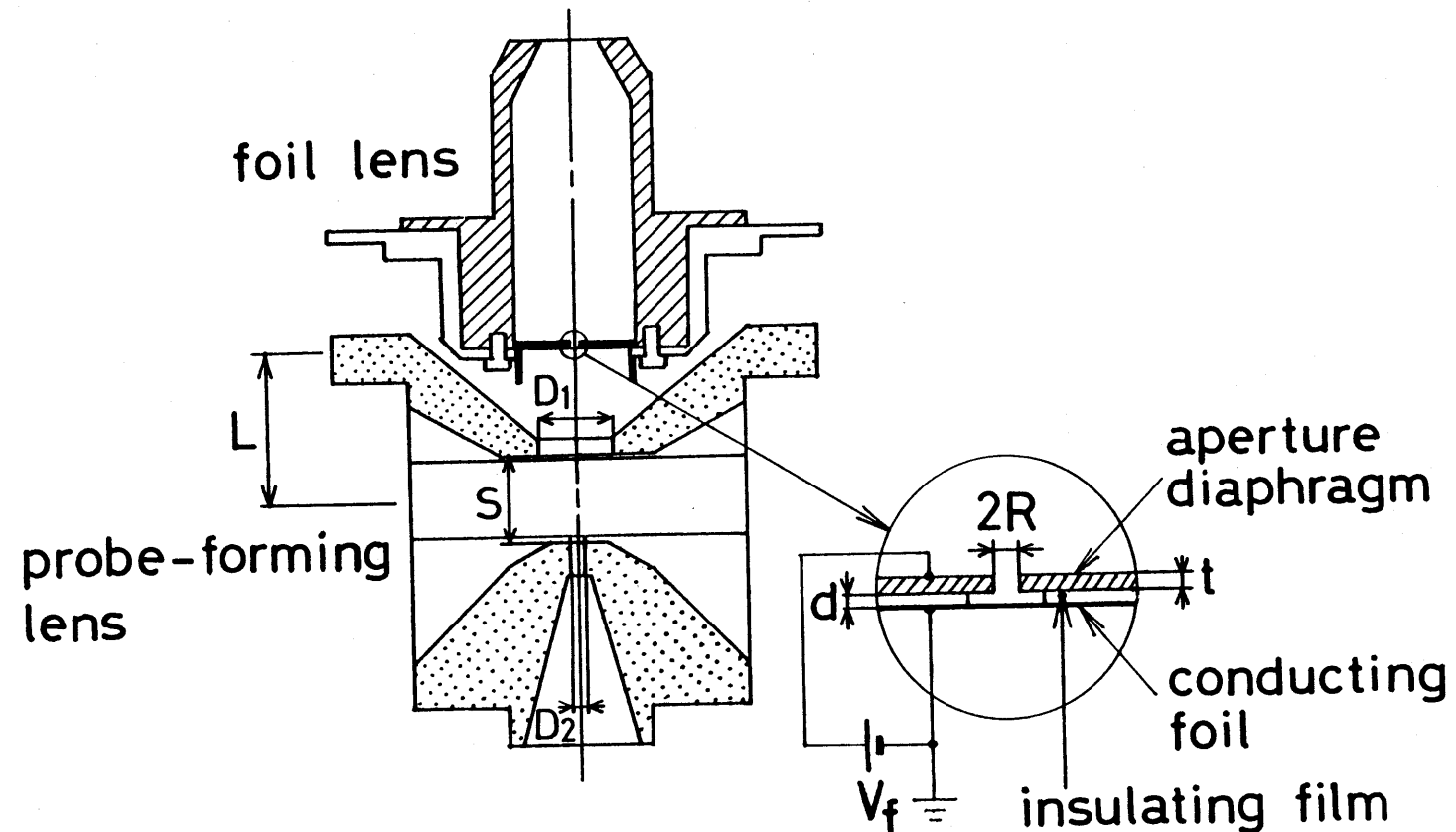


図3-2 薄膜レンズとプローフォーミングレンズの構造と配置

ズとよぶ)の球面収差係数を求めるためにには、プローブフォーミングレンズの軸上磁束密度分布と薄膜レンズの軸上電位分布とを知る必要がある。これらは計算機シミュレーションによつて数値的に求めることもできるが、高次微分を求める際の桁落ち誤差を考えれば、むしろ解析的手式による近似が有利である。

薄膜レンズの軸上電位分布の近似式は、Ichihashi⁸⁾がPookeの手法⁹⁾を使って導いている。薄膜レンズの寸法が $R \gg t$ かつ $R \gg d$ を満たすとき、薄膜レンズの軸上電位分布 $V_f(z)$ は

$$\begin{aligned} \frac{V_f(z)}{V_f} &= \frac{R}{2d} \left\{ \sqrt{\left(\frac{d}{R} - \frac{z}{R}\right)^2 + 1} - \sqrt{\left(\frac{d}{R} + \frac{z}{R}\right)^2 + 1} \right\} \\ &- \frac{t}{2(d+t/2)} \left\{ \frac{1}{\sqrt{(d/R + t/2R - z/R)^2 + 1}} \right. \\ &\left. - \frac{1}{\sqrt{(d/R + t/2R + z/R)^2 + 1}} \right\} \end{aligned} \quad (3-33)$$

で与えられる。ただし、導電性薄膜の位置を $z = 0$ とし、その電位を零、内孔平板電極の電位を V_f として。この式によつて計算される電位分布は、Laplace方程式を電算機を用いて解いた結果と最大数%の誤差で一致することが、Hibino⁵⁾によつて示されている。

プローブフォーミングレンズの軸上磁束密度分布は、ホール素子を用いて磁束計で測定し、これを解析的手式で近似した。ホールピースは上下非対称であるので、軸上磁束密度分布もまた非対称であるが、プローブフォーミングレンズの像点位置、すなわち試料を置く位置は上方と下方の磁極のちょうど中間に

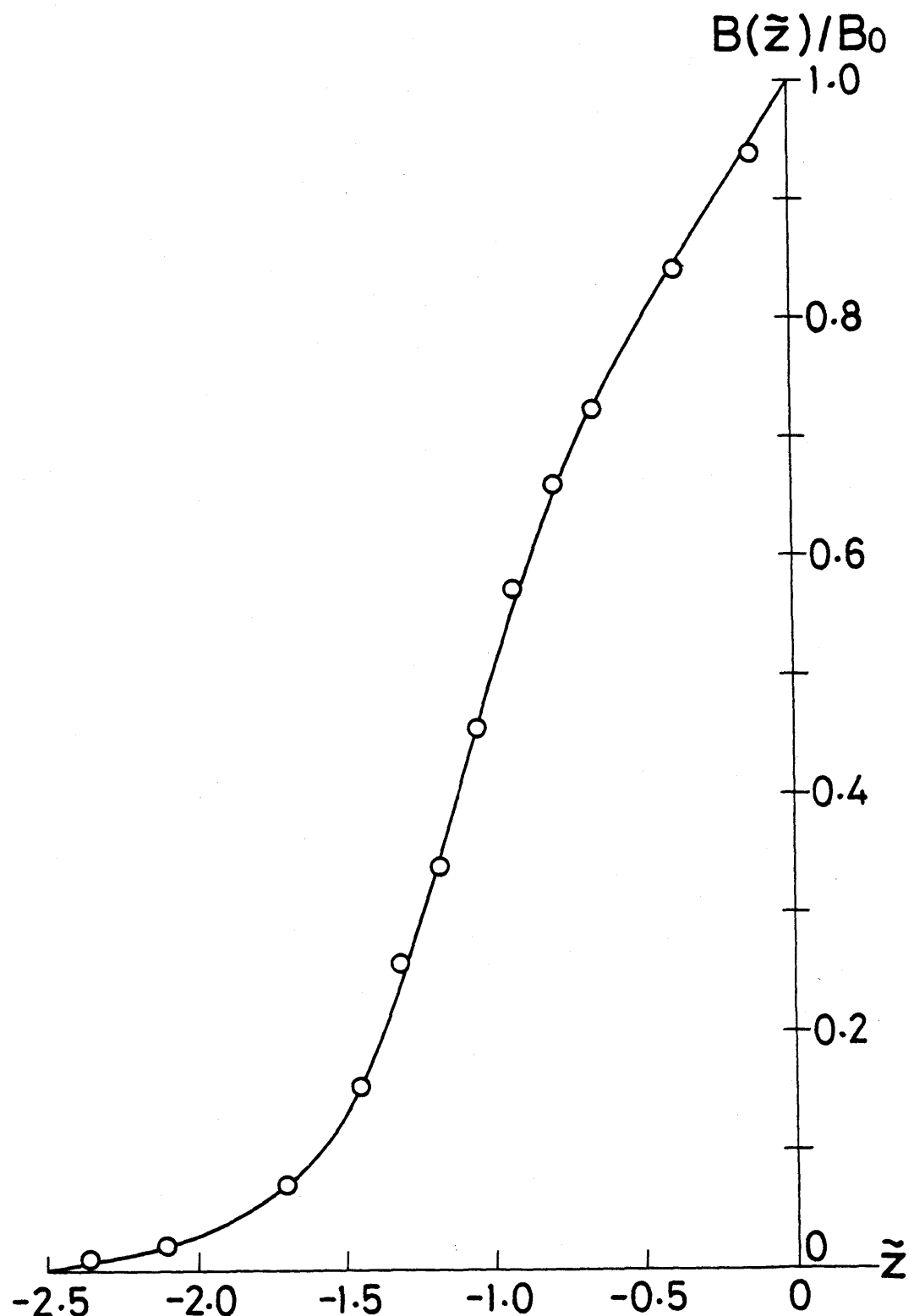


図 3-3 ローラー - フォ - ミングレンズの
軸上磁束密度分布

○印は測定値、実線はその近似式の曲線を表わす。

あり、試料後方の磁界はプローフとくることに関与しないので、試料前方磁界のみに対して近似式を求めればよい。種々の関数を割り定結果にあてはめるにより、次のようす近似式を得る。

$$\begin{aligned} B(\tilde{z})/B_0 &= (1 - \tanh p\tilde{z})^2 \exp(-g\tilde{z}^{q/2}) \\ &\quad + u_1 \exp\{-v_1(\tilde{z} - w_1)^2\} \\ &\quad + u_2 \exp\{-v_2(\tilde{z} - w_2)^2\} \end{aligned} \quad (3-34)$$

この式で、 \tilde{z} は軸上磁束密度分布の半価幅 z_h を単位とした軸方向の座標、すなわち

$$\tilde{z} = z/z_h \quad (3-35)$$

であり、 B_0 は $\tilde{z}=0$ での軸上磁束密度の値である。 $T=T_{\text{レ}}$ 、 $\tilde{z}=0$ は磁極間の中点の2mm後方にとて $T_{\text{レ}}$ 。また $T_{\text{レ}}$ 、諸定数の値は次の通りである。

$$\begin{cases} p = 0.2 \\ g = 0.253 \end{cases} \quad \begin{cases} u_1 = 0.0452 \\ v_1 = 9.9 \\ w_1 = 1.72 \end{cases} \quad \begin{cases} u_2 = 0.0115 \\ v_2 = 15 \\ w_2 = 2.18 \end{cases} \quad (3-36)$$

図3-31に軸上磁束密度の測定値と(3-34)式の曲線を示す。○印で示して測定値は、上式によつてよい近似で表わされていることが分かる。

補正特性の計算は、プローフオーミングレンズの励磁磁一定にし、プローフ電流とプローフ収束角が変化しないよう条件のもとで、薄膜レンズに印加する電圧を変えて行つ $T_{\text{レ}}$ 。このとき(2-2)式から明らかのように、プローフのガウス径も一定

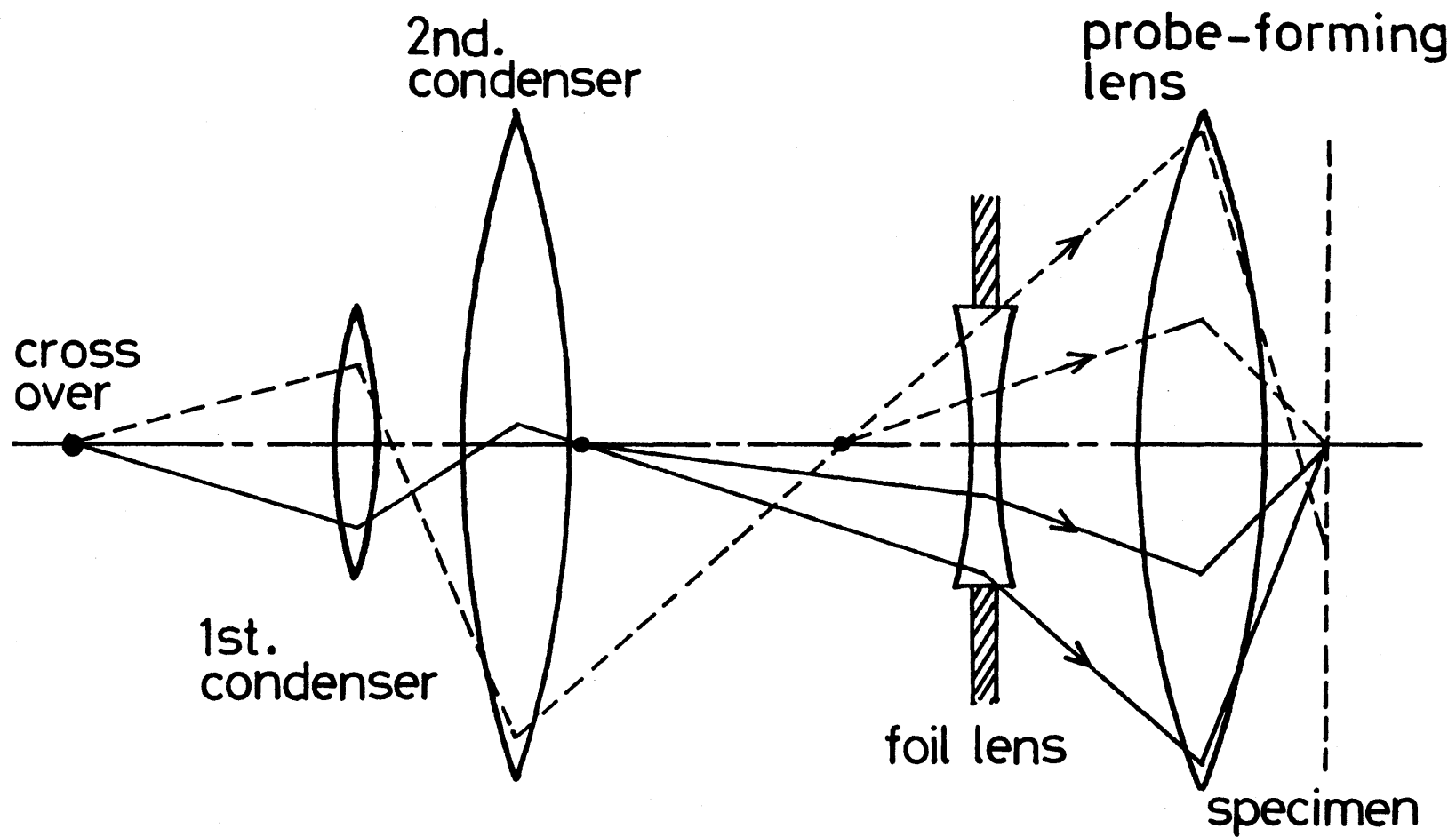


図 3-4 薄膜レンズの球面収差補正特性の計算モデルとして
用いたプローブフォーミングレンズ系

点線は薄膜レンズを動作させないとき、実線は薄膜レンズを動作させたときの
電子軌道を示す。

とする。このようすを条件を満足する実際の光学系は図3-4に示すように、 $\text{f}^*\text{ローブ}$ フォーミングレンズと薄膜レンズの他に2段のコンデンサーレンズを設けることによって実現できる。図の点線は薄膜レンズを動作させないとき、実線は動作させたときの電子軌道を示している。図のように第1および第2コンデンサーレンズを調節して、第1コンデンサーレンズ前方と薄膜レンズ後方の近軸軌道を薄膜レンズ電圧によらず一定に保つことにより、 $\text{f}^*\text{ローブ}$ 電流と $\text{f}^*\text{ローブ}$ 収束角を一定にできる。

このようすを縮小レンズ系においては、開口角が最も大きくなる最終段の $\text{f}^*\text{ローブ}$ フォーミングレンズの球面収差が大きく、コンデンサーレンズの球面収差は無視できる程度に小さい。したがって、軌道計算は第2コンデンサーレンズによる電子源の像を出发点として行い、組み合わせレンズの球面収差係数を求めればよい。計算は、(3-3)式の近軸方程式のRunge-Kutta法による求解と、(3-24)、(3-29)式の収差積分の計算から成る。以下の計算はすべて、加速電圧 $V_a = 50 \text{ kV}$ 、軸上磁束密度の $B_0 = 0.58 \text{ T}$ の条件下で行つた。

図3-5は球面収差係数の変化の一例として、Hibino^ら⁷⁾が補正実験に用いた薄膜レンズ寸法、 $2R = 0.5 \text{ mm}$ 、 $t = 0.1 \text{ mm}$ 、 $d = 0.03 \text{ mm}$ 、 $L = 20 \text{ mm}$ の場合に対する計算結果を示す。薄膜レンズ電圧を増加せるとしたがって3次と5次の球面収差係数 C_{S3} 、 C_{S5} は減少し、負の値にまで変化するところである。 C_{S3} は約100Vの薄膜レンズ電圧で零となり、加速電圧に比し

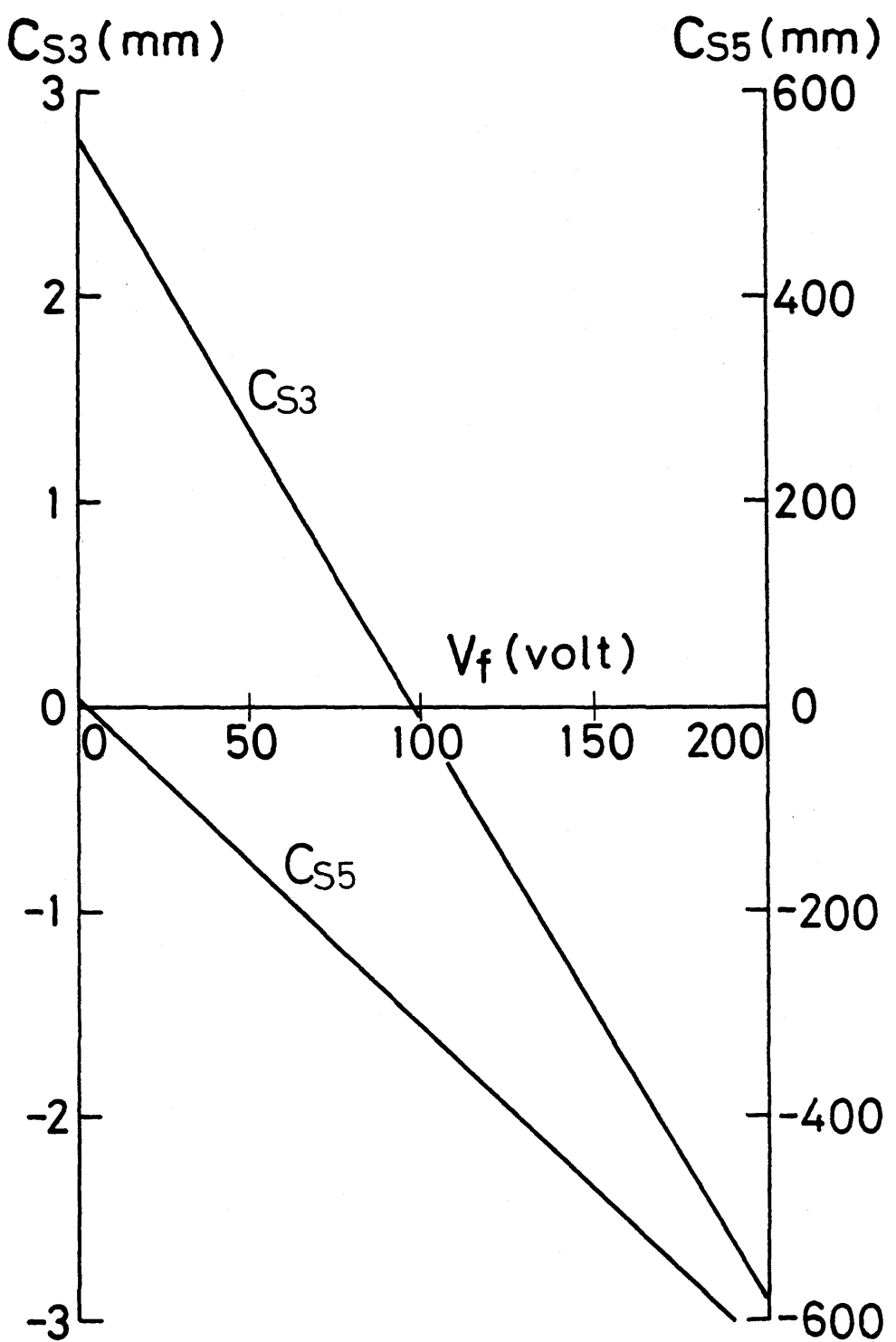


図 3-5 薄膜レンズとフローフォ-ミング
レンズの組み合わせレンズの 3 次 (C_{S3}) と
5 次 (C_{S5}) の球面収差係数の薄膜レンズ電
圧 (V_f) に対する変化

で非常に低い薄膜レンズ電圧で3次の球面収差が補正できる。
このことは、この形の薄膜レンズが強い補正力をもつことを示
している。

3次の球面収差が補正された後に残る5次の球面収差は、薄
膜レンズの特性を論ずる際に重要なである。図3-5の例では、
 $C_{S3} = 0$ と $T = 3$ 電圧において C_{S5} は数 10 cm となり、これは 70°
 ローブラウミング レンズ単独の C_{S5} が 5.6 mm であるのと比
較して非常に大きい。5次の球面収差は、 70° ローブラウミングの5
束で急激に増大し、その結果使用できる 70° ローブラウミングの収束角が制限
されることになるので、 $C_{S3} = 0$ のときの C_{S5} の値ができるだけ
小さいことが望ましい。そこで、この値の薄膜レンズ位置と
寸法に対する変化を計算によって調べ、 70° ローブラウミング
レンズの補正に適した薄膜レンズの設計を行った。 $T = T_0$ とし、
の場合 $C_{S3} = 0$ と $T = 3$ 薄膜レンズ電圧が過大となるのは
条件とする。

図3-6に薄膜レンズと 70° ローブラウミングレンズの距離 L
に対する $C_{S3} = 0$ のときの V_f および C_{S5} の変化を示す。 V_f
と C_{S5} とは L に対して全く正反対の特性を示し、両者がともに
減少するときは $T = 0$ である。したがって、薄膜が静電力で破壊され
る範囲で最小の C_{S5} を与える L の値を選ばなければならぬ。
経験的に、この寸法の薄膜レンズで厚さ 10 nm 程度の薄膜
を用いた場合、 $V_f = 200\text{ V}$ 程度までの薄膜の破壊が起らなければ
ことが分っているが、¹⁰⁾ 実験時に過補正の状態、すなわち最適

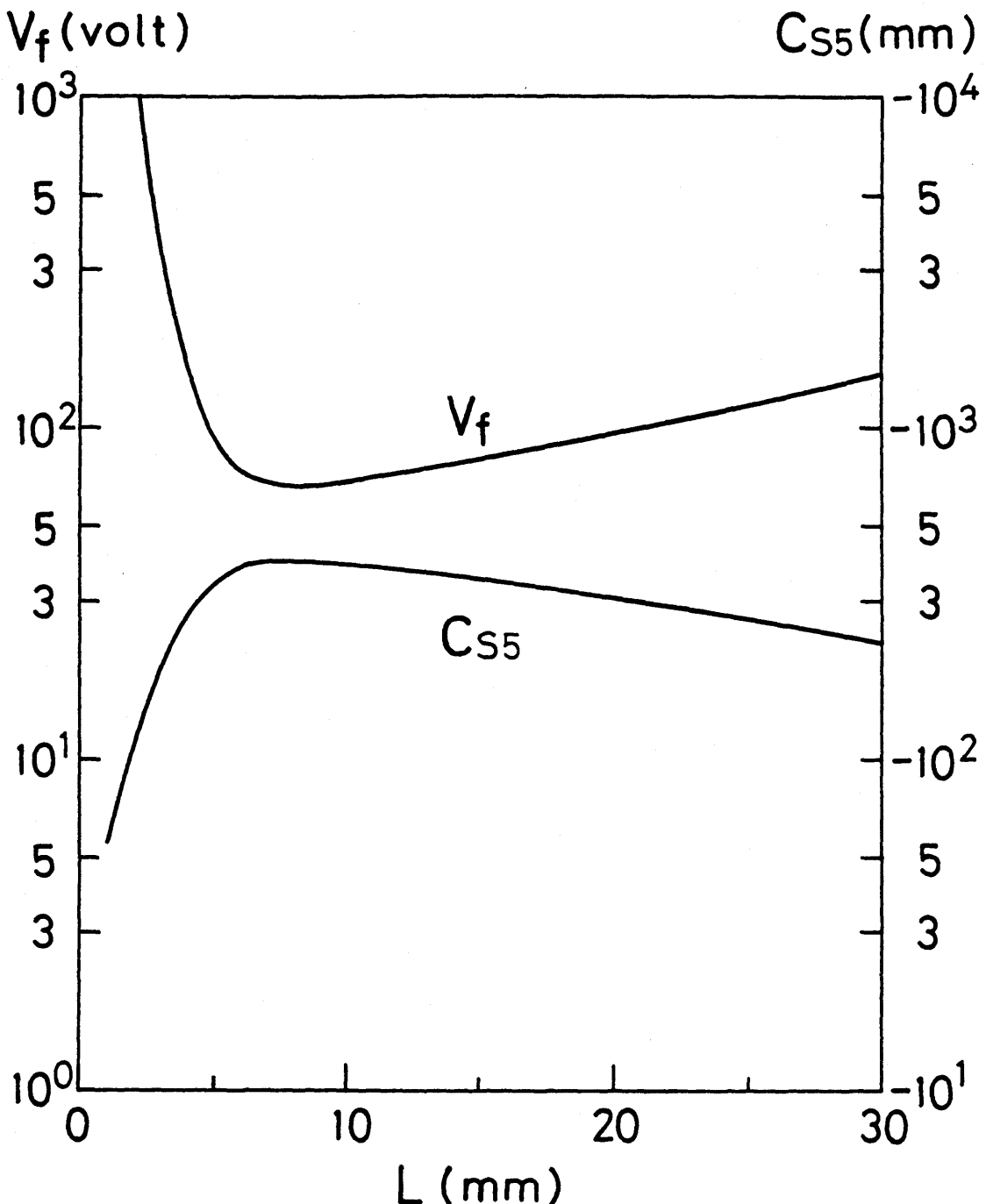


図3-6 3次の球面収差係数 $C_{S3} = 0$ のときの薄膜
レンズ電圧 (V_f) と5次の球面収差係数 (C_{S5}) の
薄膜レンズと70ローブラフオーミングレンズとの距
離 (L) に対する変化

($V_a = 50 \text{ kV}$, $2R = 0.5 \text{ mm}$, $d = 0.03 \text{ mm}$, $t = 0.1 \text{ mm}$)

すば薄膜レンズ電圧より大玉の電圧に対する特性を調べることの必要性を考慮すれば、 $V_f = 100 V$ 程度で $C_{S3} = 0$ と $L = 5 \sim 20 mm$ の L の値が適当である。この範囲での最小の C_{S5} は $L = 5 mm$ と $L = 20 mm$ には存在するが、 $L = 5 mm$ の位置はフローバーフォーミングレンズの磁極間にあり、試料の出し入れや薄膜レンズの取付けの不便などの実際的問題のため不適当であるので、結局 $L = 20 mm$ が最適である。そこで、以下 $L > 20 mm$ は固定する。

次に、円孔平板電極の厚さ t による特性の変化を図3-7に示す。前述のように、計算に用いた薄膜レンズの軸上電位分布の式は、 $t \ll R$ の範囲で成り立つ近似式であるので、 $t/R \leq 0.5$ の範囲のみを議論する。図3-7から、 C_{S5} は t に依存せずほぼ一定の値をとり、また $V_f + t/R > 0.2$ においてはまことに一定であることが分かる。したがって $0.2 < t/R \ll 1$ の範囲で適当に選んでよいので、便宜的に $t/R = 0.3$ に固定し、円孔の半径 R が V_f と円孔平板電極と薄膜との距離 d の影響を次に調べる。

静電力による薄膜の破損を考える際、薄膜に働く力はそこでの電界の強さの2乗に比例し、また薄膜附近の電界は近似的に V_f/d であることを考慮すれば、 d を変化させたときに V_f 自身よりも V_f/d の値が問題となる。したがって、許容できる薄膜レンズ電圧 ($d = 0.03 mm$ で $100 V$) をこの形に書き直せば、 $V_f/d = 3 kV/mm$ が補正電圧の上限を与える。

補正特性の d に対する変化を、 R をパラメータとして図3-8

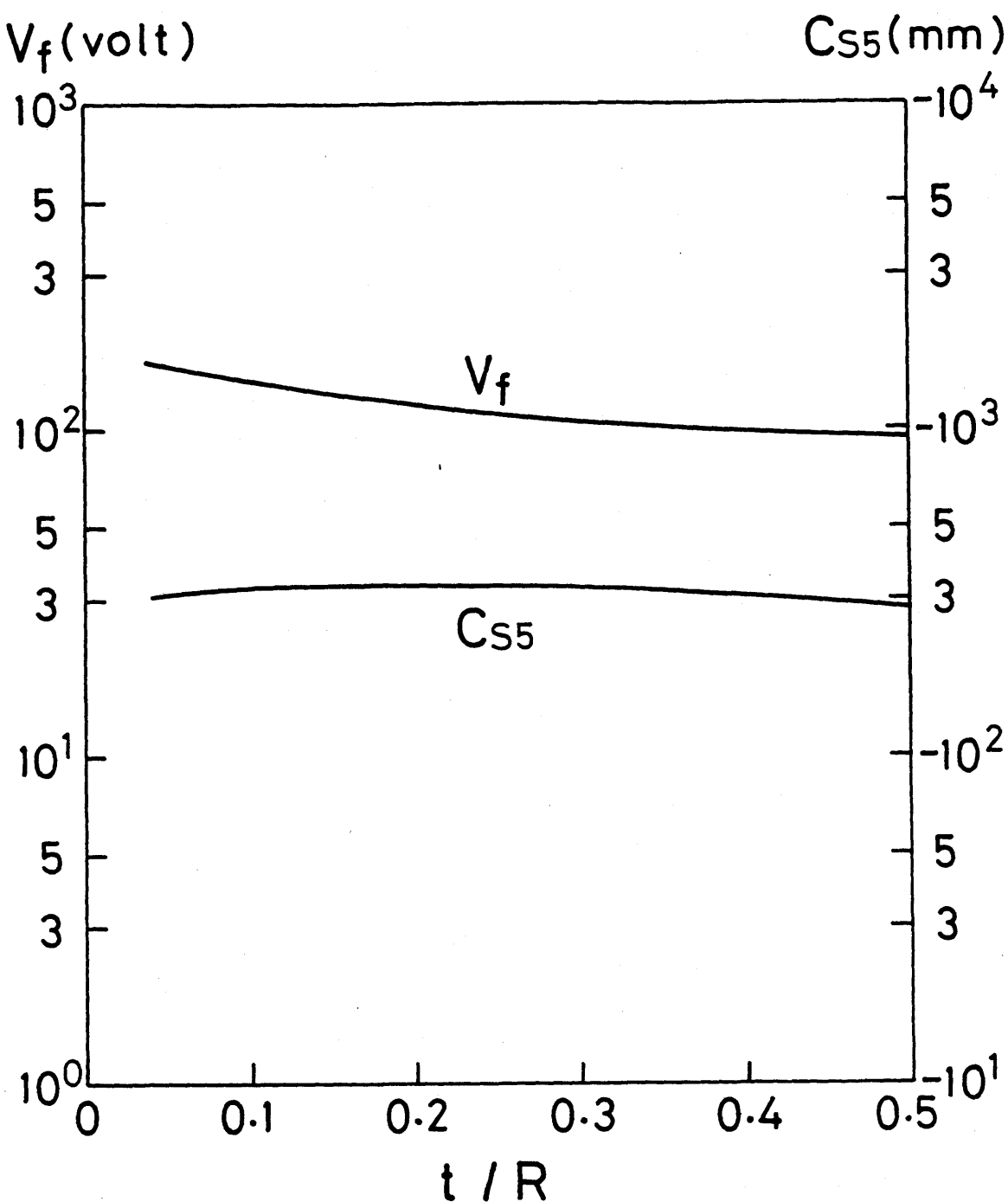


図3-7 3次の球面収差係数 $C_{S3} = 0$ のときの薄脛レンズ
電圧 (V_f) と5次の球面収差係数 (C_{S5}) の円孔平板電極
厚さ (t) に対する変化

($V_a = 50 \text{ kV}$, $2R = 0.5 \text{ mm}$, $d = 0.03 \text{ mm}$, $L = 20 \text{ mm}$)

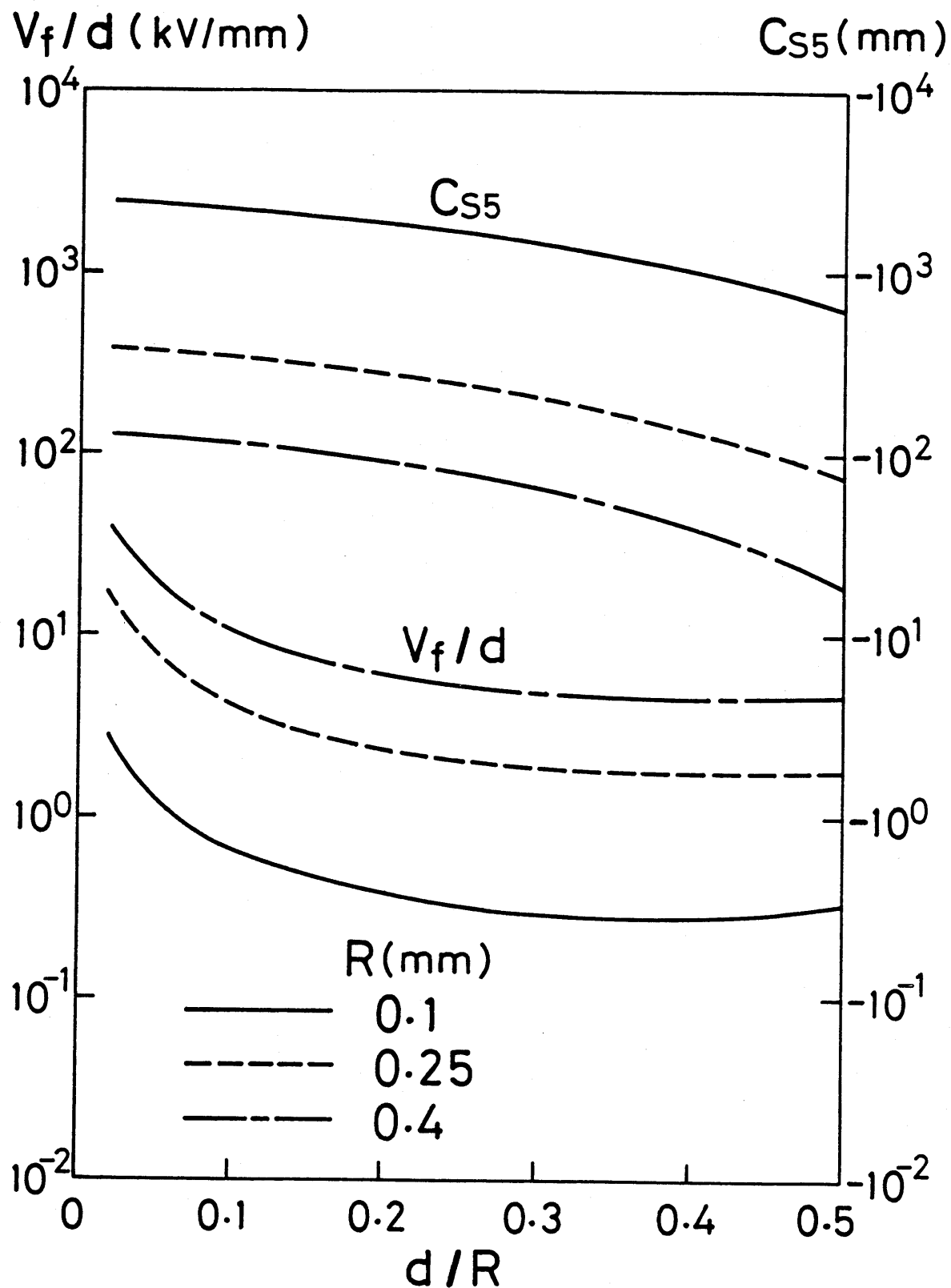


図3-8 3次の球面収差係数 $C_{S3} = 0$ のときの薄脛レンズ
電圧 (V_f) と5次の球面収差係数 (C_{S5}) の薄脗と円孔平
板電極との距離 (d) に対する変化
($V_a = 50\text{ kV}$, $L = 20\text{ mm}$, $t/R = 0.3$)

に示す。図3-7の場合と同様の理由により、 $d/R \leq 0.5$ の範囲についてのみ考える。いかれの R の値においても C_{S5} はこの領域内で d/R の増加に対して単調に減少し、一方 V_f/d は、 $d/R > 0.3$ においてほぼ一定となる。すなわち、 d を大きくするほどにあって、薄膜にかかる力はほとんど変化せざるに補正特性を改善することが可能である。Hibinoら⁷⁾が用いた薄膜レンズでは $d/R = 0.12$ であるが、これは最も適した方法ではなく、さらによい補正特性を得ることが期待できる。

次に R に着目すれば、 C_{S5} は R の増加に対して減少するが、このとき V_f/d は増加する。したがって L の値を決めてみると同様、 V_f/d の値が 3 kV/mm 以下で C_{S5} が小さいよう R を選ぶのがよい。したがって 図3-8より、 R の値としては 0.25 mm あるいはそれよりも少し大きい値が適当であることが分かる。

以上の数値計算の結果をもとにして設計製作した薄膜レンズを第5章の補正実験に用ひる。

§3-4 結 言

本章では、フローラフオーミングレンズに対する薄膜レンズの球面収差補正特性の理論的検討を行い、実際に実験に用ひるフローラフオーミングレンズに対して最も補正特性を示す薄膜レンズの設計の指針を与えた。

そのために必要となる3次と5次の球面収差係数の式の導出を最初に行つた。従来5次までの球面収差係数の計算に用ひられて

また、電位について6次まで、磁束密度について4次までの全ての導関数を含む複雑な式を部分積分によって簡単化し、奇数次の導関数を含まず、簡単な項の繰り返しで表わす、電算機を用いた計算に適した形の式を導いた。

次に、この導出した式を用いて、プローブフォニンゲンズに薄膜レンズを組み合わせたときの球面収差係数を計算した。その結果、薄膜レンズの薄膜が取扱い十分低い電圧で補正が実現できることが分った。また、3次の球面収差が零となる薄膜レンズ電圧の値とそのときの5次の球面収差係数に着目して、最適な薄膜レンズ寸法および薄膜レンズのプローブフォニンゲンズに対する位置を明らかにした。特に、薄膜レンズの円孔平板電極と薄膜との距離を大きくすることは、補正電圧と5次の球面収差の両方の点で有利であることが分った。

第3章の参考文献

- 1) Crewe, A. V. and Parker, N. W.: Optik, 46, 183 (1976)
- 2) Glaser, W.: Z. Physik, 83, 104 (1933)
- 3) Scherzer, O.: Z. Physik, 101, 593 (1936)
- 4) Recknagel, A.: Z. Physik, 117, 67 (1940)
- 5) Hibino, M. and Maruse, S.: J. Electron Microscopy, 25, 229 (1976)
- 6) Munro, E. and Wittels, N. D.: Optik, 47, 25 (1977)

- 7) Hibino, M., Sugiyama, S., Hanai, T. and Maruse, S.:
J. Electron Microscopy, 27, 259 (1978)
- 8) Ichihashi, M. and Maruse, S.: J. Electron Microscopy,
22, 321 (1973)
- 9) Ploke, M.: Z. angew. Phys., 3, 441 (1951)
- 10) Kuzuya, M., Hanai, T., Hibino, M. and Maruse, S.:
J. Electron Microscopy, 31, 18 (1982)

第4章 電子プローブの電子流密度分布の計算と プローブ径の測定

§4-1 序 言

前章において、プローブフォーミングレンズに対する薄膜レンズの球面収差補正特性と数値計算によつて調べ、補正が可能であることを示した。しかし、薄膜レンズが実際に電子プローブ装置の性能向上に役立つか否かは、球面収差係数のみの検討によつて決定するこことはできない。電子プローブ装置において重要なのは、実際にどれだけ小さな径のプローブが実現できるかということであり、もし球面収差補正の代償として、別の収差、技術的に達成可能な限度を越えて工作や軸合れの誤差、あるいは薄膜による電子の散乱などによって結果的にプローブ径の増大を招くようであれば、球面収差補正の意味はない。したがって、薄膜レンズの实用性を正しく評価するためには、実際にプローブ径が薄膜レンズの効果によつてどのように変化するかを明らかにしておかなければならぬ。

この目的のために、微小なプローブから大きな径のプローブまで広い範囲のプローブ径を精度よく測定することが必要であるが、従来の測定法では 10 nm 程度が限度でそれ以下のプローブ径は測定できなかつた。また、球面収差補正是よろづやプローブ径の変化の定量的評価のためには、5次までの球面収差を考慮して電子流密度を論ずる必要があるが、この問題を取り扱つ

T₂報告はつい。

この章では、まず幾何光学的T₂電子軌道計算によつて得られ
る3次と5次の球面収差係数から、波面光学的手法によつてT₂
ローブ電子流密度を計算する式を導く。次に、従来測定するこ
とのでT₂小 \pm T₂プローブ径を測定するための新しい方
法を提案する。そして、球面収差補正実験に必要とする小 \pm T₂
T₂ローブから大 \pm T₂T₂ローブまで広い範囲のT₂ローブ径の測定
に対し、この新しい測定法がどの程度の精度をもつかを検討す
る。

§ 4-2 波面光学的手法を用いた電子流密度分布の計算

電子T₂ローブは電子源と電子レンズで縮小して像であるから、
その電子流密度分布は、電子源の性質とT₂ローブフォーミング
レンズの結像特性で決まる。光学レンズの結像特性は古くから
詳細に研究され、¹⁾ 電子レンズの場合にもその成果を利用す
ることができる。陰極の異なった位置から放出される電子相互間
には相関がないと考えられるので、インコヒーレント結像の
理論が適用できる。すなわち、電子源を微小部分にわけてそれ
ぞれの微小部分を点電子源とみなし、その点電子源の像の電子
流密度を求めた後、各微小部分の寄与を電子源全体にわたって
加え合わせることによってT₂ローブ電子流密度が求められる。

いま、電子源を含む光軸に垂直な面を物面としてその座標を
 x_0 で表わし、それに対する像面の座標を x_1 で表わす。このとき

$I_0(|r_0|)$ の電子流密度分布をもつ電子源の像すなはち $|r_i|$ の
電子流密度分布 $I_i(|r_i|)$ は

$$I_i(|r_i|) = \iint_{-\infty}^{\infty} h(|r_0, |r_i|) I_0(|r_0|) d|r_0| \quad (4-1)$$

で与えられる。ここで、 $h(|r_0, |r_i|)$ は $|r_0|$ に置かれた点電子源
が $|r_i|$ にくる電子流密度分布、すなはち Point Spread Function
(PSF) である。

回転対称系において、表面収差のみを考慮し、他の幾何収差および色収差を無視すれば、PSF は空間不变性をもつ。
すなはち M をレンズの倍率として

$$S = |M|r_0 - |r_i| \quad (4-2)$$

とおいたとき、PSF は S だけの関数となる。図4-1のように
ガウス像面内の軸上の点を原点として極座標 (ρ, θ, ϕ) を用
い、レンズの射出絞り面と $\rho = \rho_a$ で表わされる球面とする。こ

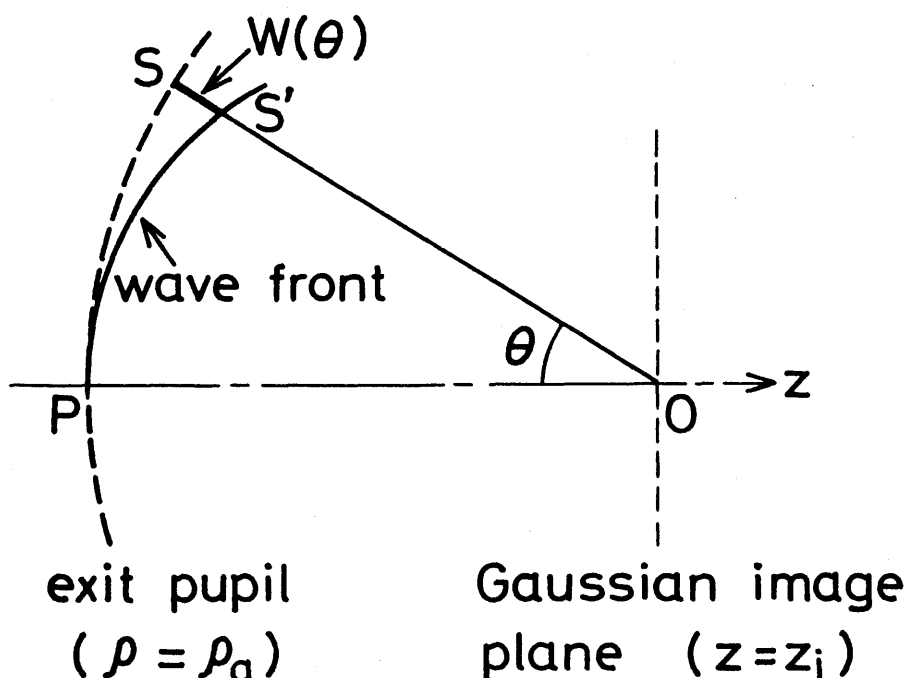


図4-1 波面収差 $W(\theta)$ の定義

のと Ψ_{PSF} は、Fresnel の回折式より次のようには表わされる。

$$h(s) = \left(\frac{2\pi M}{\lambda} \right)^2 \left| \int_0^\alpha \theta \exp \left[-i \frac{2\pi}{\lambda} W(\theta) \right] J_0 \left(\frac{2\pi}{\lambda} s\theta \right) d\theta \right|^2 \quad (4-3)$$

ただし、点電子源から放出される電子流は単位立体角あたり 1 としてある。この式で入る電子波長、 α は 70° は一般収束角、 J_0 は第 1 種のベッセル関数である。また、 $W(\theta)$ は波面収差であり、図 4-1 に示すように、レンズに収差が付いたとして T ときの仮想的 T 電子波の波面 PS (これをガウス参照波面という) と収差の影響を受けた実際の波面 PS' との距離差として定義される。軸上の点電子源に対するガウス参照波面は、ガウス像点 O を中心とする球面であり、波面収差は球面収差だけを考慮するときには方位角 ψ を含まない。 $(4-3)$ 式の中の $\exp \left[-i \frac{2\pi}{\lambda} W(\theta) \right]$ は、ガウス参照波面 PS 上での収差を受けた電子波の位相分布に対する心している。

このように、 70° 一般電子流密度の計算のためにには、波面収差を求めることが必要である。しかし、光学レンズと違って連続的に屈折率の変化する電子レンズにおいては、レンズ界内で波面の変化を逐一追うことには困難である。そこで、電子軌道計算によって得られる情報を利用し、軌道に沿っての光路長から射出絞り面での位相を求めることが一般に行われる。この手法は、波動光学的電子流密度分布の計算の中に幾何光学的電子線の概念を持ち込んでいるので、半波動光学的意味合をもつており、波動光学とは区別して波面光学的手法と呼ばれ

でいる。

さて 1=3 次の球面収差と焦点ずらしだけを考慮して 2 波面収差は与えられて いるが、²⁾ 3 次の球面収差が補正されたときの γ ローブ電子流密度を評価するためには、より高次の項を考慮する必要がある。したがってここで、5 次の球面収差の項、およびこれと同等の大ささの項を含む波面収差の式を導出する。

図 4-2 は軸上の点電源に対する電子軌道と波面との関係を示す。球面収差による波面収差と焦点ずらしによる波面収差を別々に考え、後に両者を加え合わせて全波面収差を求める。まず最初に、球面収差による波面収差を求めよ。任意の電子線が射出絞りにおけるガウス参照波面 PS と交わる点を R とする。もしガウス像面ガレニズム界の中にあれば、ガウス像面での近軸軌道への接線をレンズ正面まで外挿し、この接線と PS との交点を R とする。R 点での電子波の P 点に対する位相差は $\exp[-i\frac{2\pi}{\lambda}W_1(\theta)]$ と書ける。ここで $W_1(\theta)$ は球面収差による波面収差である。

$W_1(\theta)$ を求めるために、まず θ の微小な増加 $\Delta\theta$ に対する波面収差の増分を考えよ。球面収差を考慮してこの R を通る電子軌道が、ガウス像面と Q 点で交わるとしておき、十分小さい $\Delta\theta$ 内にある波面は Qを中心とする球面 RT' とみなすことができる。したがって RT' 内にあるガウス参照波面とすれば、波面収差の増分 ΔW_1 は次のようになります。

$$\begin{aligned}\Delta W_1 &= \overline{TQ} - \overline{T'Q} \\ &= \frac{\delta r \cos \theta}{1 + (\delta r / l)^2 + 2\delta r / l \sin \theta} \Delta\theta\end{aligned}\quad (4-4)$$

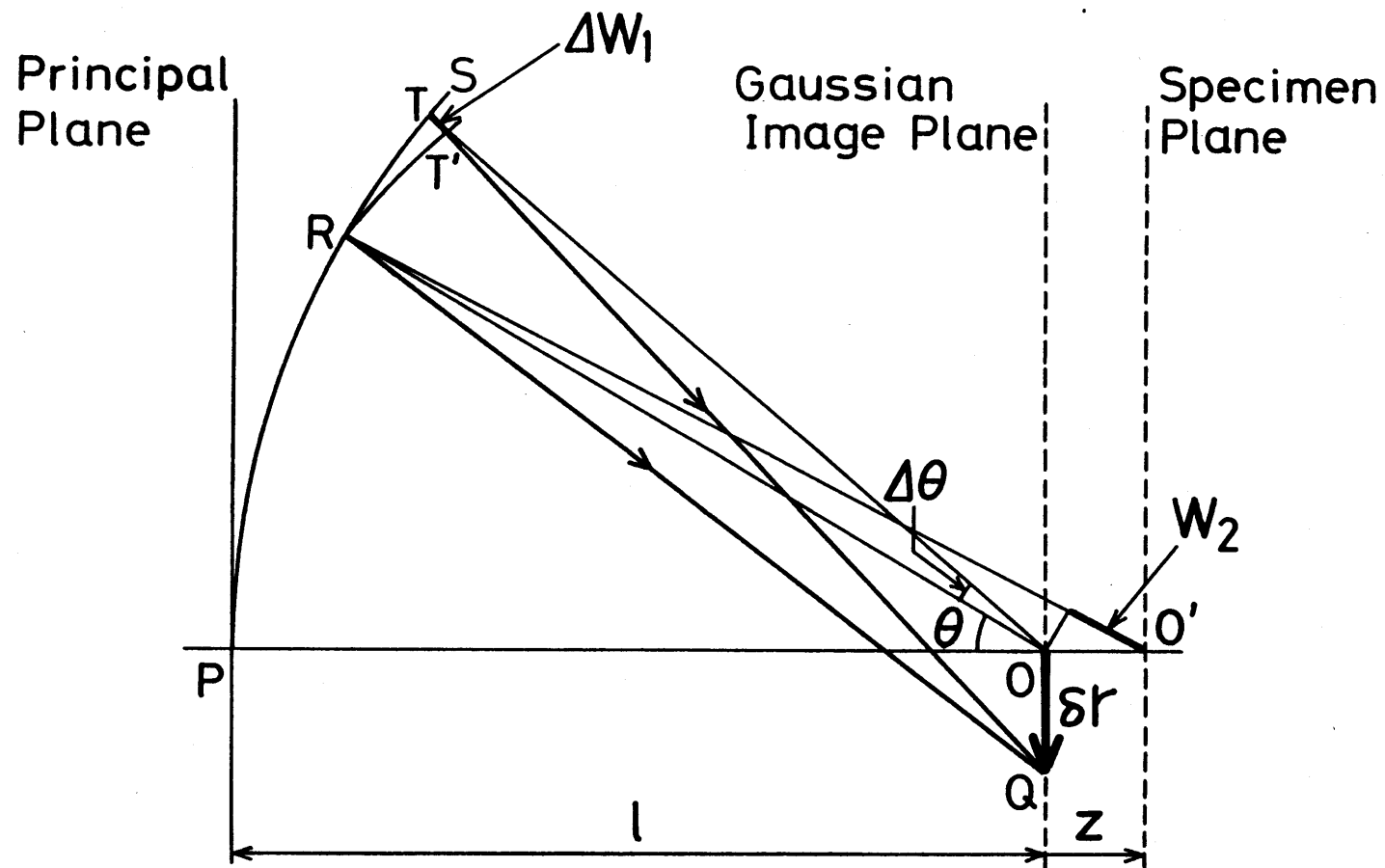


図 4-2 球面収差と焦点ずらし量の波面収差への寄与

ここで ℓ はレンズ前面とガウス像面との距離、 δr は球面収差
 \overline{OQ} であり、3次と5次の球面収差係数 C_{S3} 、 C_{S5} によって

$$\delta r = C_{S3} \theta^3 + C_{S5} \theta^5 \quad (4-5)$$

で与えられる。 $(4-5)$ 式を $(4-4)$ 式に代入し、 θ の5次の項まで残せば、

$$\Delta W_1(\theta) = \left\{ C_{S3} \left(\theta^3 - \frac{\theta^5}{2} \right) + C_{S5} \theta^5 \right\} \Delta \theta \quad (4-6)$$

となり、この式を積分することにより $W_1(\theta)$ が求められる。

$$W_1(\theta) = C_{S3} \left(\frac{\theta^4}{4} - \frac{\theta^6}{12} \right) + C_{S5} \frac{\theta^6}{6} \quad (4-7)$$

次に、焦点ずらしによる波面収差 $W_2(\theta)$ を計算する。 $W_2(\theta)$ は R 点からガウス像面までと、R 点から試料面までの光路差によつて与えられる。焦点ずらし量はガウス像面と試料面との距離 α で定義し、ガウス像面が試料面よりレンズに近い側にあることを正の量とい、逆のことを負の量とする。このとき $W_2(\theta)$ は次式で与えられる。

$$W_2(\theta) = \overline{R O'} - \overline{R O} \\ = \sqrt{l^2 + z^2 - 2l z \cos \theta} - l \quad (4-8)$$

この式を θ と z/l のベキ級数に展開し、無視できる高次の項と θ に無関係な定数項を省略する。後に示すように、実用的な焦点ずらし量は $l = 10^{-3} \text{ m}$ かつ $C_{S3} \alpha^2$ (α は 7° ローリング角) の程度であるので、 z/l の3次以上の項は無視でき、

$$W_2(\theta) = l \left\{ \frac{z}{l} \left(\frac{\theta^2}{2} - \frac{\theta^4}{24} \right) + \frac{z^2}{2l^2} \theta^2 \right\} \quad (4-9)$$

が得られる。したがって球面収差と焦点ずらし量を同時に考慮し $T=$ 全波面収差 $W(\theta)$ は

$$W(\theta) = W_1(\theta) + W_2(\theta)$$

$$= z \left(\frac{\theta^2}{2} - \frac{\theta^4}{24} \right) + z^2 \frac{\theta^2}{2l}$$

$$+ C_{S3} \left(\frac{\theta^4}{4} - \frac{\theta^6}{12} \right) + C_{S5} \frac{\theta^6}{6} \quad (4-10)$$

で与えられる。

このように、幾何光学的な概念である球面収差係数と波面とを関係づけることにより、(4-3)式を用いてPSFを計算することは可能となる。したがって、電子源の電子流密度 I_0 (A)を知れば、(4-1)式により θ ローバー電子流密度を求めることができる。ここで導いた、5次までの球面収差を考慮し $T=\theta$ ローバー電子流密度分布の式を、§4-4、§5-3、§5-5および§6-1で実験結果の定量的評価に用いる。

§4-3 θ ローバー径測定法

従来 θ ローバー径の直接的な測定には、マイケルソン法が一般に用いられてきた。³⁾この方法では、電子線に対して不透明な直線状のエッジを横切って θ ローバーを走査するときに、エッジ後方に置いた検出器に到達する電子数の変化を測定し、エッジ面での θ ローバーの空間的広がりを測定する。この方法によって測定可能な最小の θ ローバー径は、従来次の二つの原因によつて制限されていった。

一つは、装置内の残留ガスが電子の衝撃を受けて重合を起しナイフエッジに付着する、いわゆるコンタミネーションの影響である。コンタミネーションの層がエッジの周囲に付着すると、エッジの形状が乱れ、直線状のエッジが得られなくなる。また、このコンタミネーションの層は通常電子ビームに対して半透明であるので、エッジから外側に成長したコンタミネーションの部分では、その層の厚さにより検出電子数の曲線が変調され、測定の信頼性が損なわれる。

他の一つは、エッジに当たった電子の一部がエッジを透過し、エッジの外側を通過して電子とともに検出されるものの影響である。電子に対して不透明であるためには、エッジは厚くなければならぬ。このとき、エッジの先端の断面は図4-3に模式的に示すように必ずしも電子ビームの入射方向に沿わなければ、しかも断面は直線状にはでない、ある程度の凹凸が避けられない。したがってエッジの先端部に薄い部分ができると、そこで一部の電子が透過あるいは検出絞り内へ散乱されて検出されるので、プローブ径は実際より大きく測定される結果

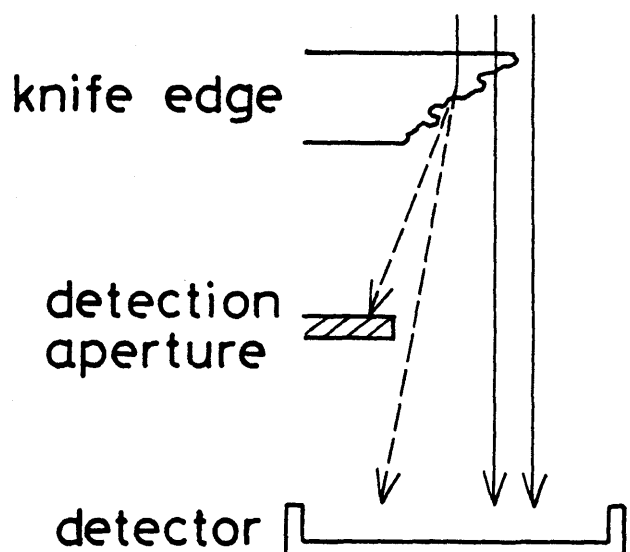


図4-3 厚いナイフエッジを用いるとどの程度の検出電子実線は散乱を受けない電子、破線は散乱された電子を表す。

とする。以上の理由のため従来の手法の測定精度は悪く、ナメタル領域での Fe^{+} 径の測定は不可能であった。

最近 Vaughan⁴⁾は、加熱して細いタングステン線をナメタルとして用いることによってコンタミネーションを防ぎ、加速電圧 20 kV で 10 nm までの Fe^{+} 径を測定できることを示した。しかし、このようす丸い断面の線を用いるときは、エッジに当つた電子のうちこれを透過するか検出線内に散乱される電子の割合が、 Fe^{+} のエッジから内側への距離によつて変化するところが避けられず、これによって生ずる誤差が測定で最も最小の Fe^{+} 径を制限する。特に、高い加速電圧の場合には電子線が透過できる厚さが増すため、測定精度は悪化すると言えられる。

このように、コンタミネーションの問題は試料の加熱によつて解決できるが、透過および散乱電子の影響はより本質的であり、この障害のためこれまで 10 nm 以下の Fe^{+} 径は直接測定できず、装置の空間分解能から逆に Fe^{+} 径を推定するところが一般に行われて至る。⁵⁾しかし、空間分解能と Fe^{+} 径の関係の不明確さや Fe^{+} 径以外の要因の空間分解能への影響などの問題のため、このようす間接的では Fe^{+} 径の評価法における曖昧さを含む。

本研究において必要と考えられた 10 nm 以下の Fe^{+} 径の測定のために新しく考案した手法は、基本的にはナメタルエッジ法であるが、次の2点において従来の手法とは異なる。

(1) 従来のタイフエッジ法では、電子線に対して不透明な厚いエッジを用いていたが、本手法では逆にでも薄いエッジを用いる。これは、先端部での部分的な厚さ変化の少ないエッジを得るためにある。実際には、薄い板状の結晶が得られる酸化モリブデンを用いた。

(2) 従来の手法では、 $\text{Pd}-\text{B}$ を走査する走査コイルの電流に対して検出器の出力電流を直接に描き、その曲線から $\text{Pd}-\text{B}$ 径を測定していく。ここでは、酸化モリブデン結晶を試料として検出電子によるSTEM像を写真フィルム上に記録し、エッジにおけるフィルムの黒化度変化から黒化度を測定していく。この手法によれば、フィルムの黒化度の測定に用いるマイクロデンシトメータの、測定領域を決めるスリットをエッジに沿って広げることにより、検出電子の量子統計ノイズや試料の微細構造の影響を平均化して、従来の手法より測定精度を向上させることができる。

さて、タイフエッジ法で $\text{Pd}-\text{B}$ 径を測定する場合、いくつかの異なる $\text{Pd}-\text{B}$ 径の定義の仕方があるが、最も一般的に用いられている定義⁴⁾に従い、図4-4に示すように、黒化度の全変化幅の10%と90%の点の間の距離 d_e を $\text{Pd}-\text{B}$ 径とする。

本測定法の信頼性および精度を検討するにあたって問題となる点を以下に列挙し、順に考察を加える。

(1) 検出される電子数と写真フィルムに撮影される像の黒化度との間の関係

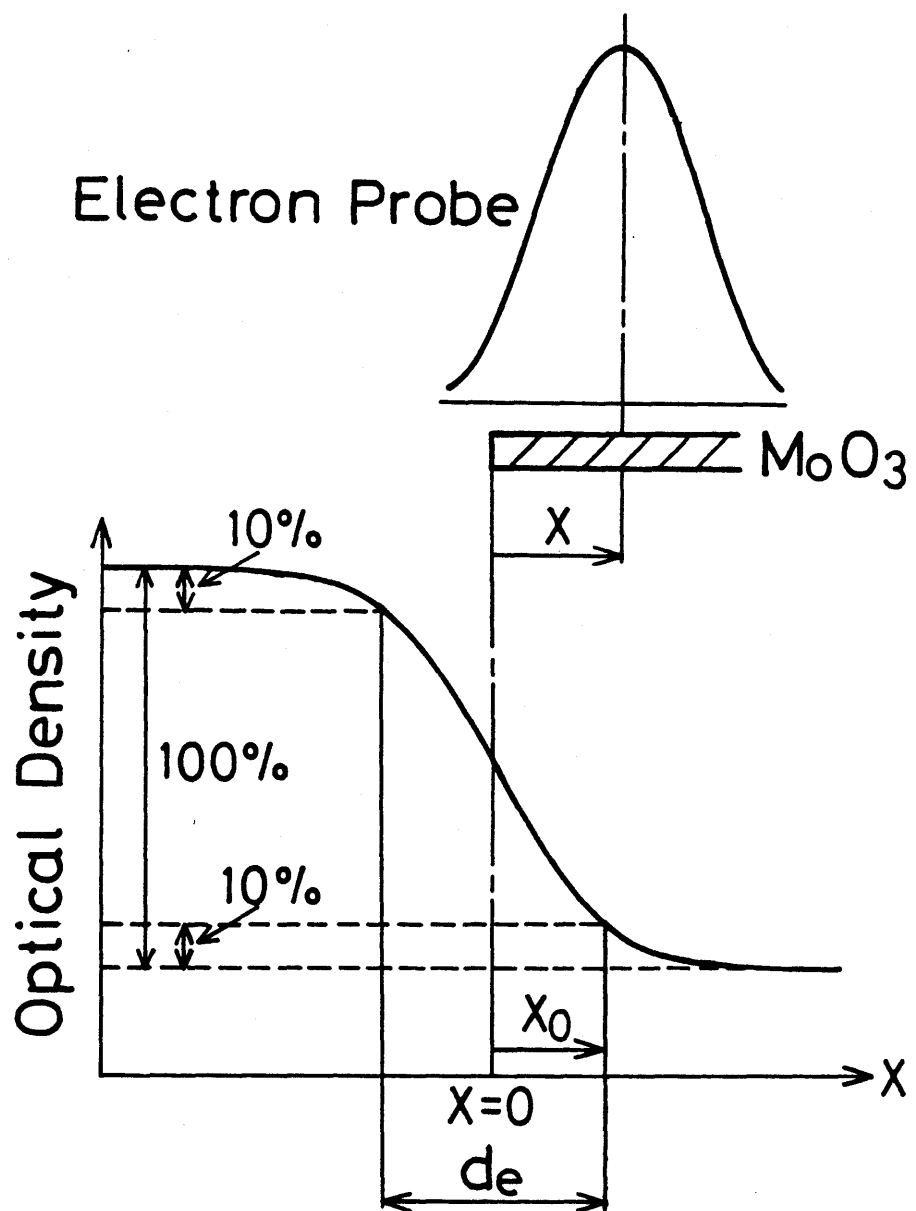


図4-4 黒化度変化による7°ローブ径の定義

(2) 検出角の決定

(3) 試料によつて散乱された電子の影響

(4) 試料の厚さの影響

(5) 大まかプローブ径を測定する際の諸問題

(1) の関係が直線的であれば、本手法と従来の手法とは原理的に等価である。しかし、一般に検出電子数とフィルム黒化度との間に^はは、像を表示するブラウン管の輝度特性やフィルムの黒化度特性が介在し、両者の間に直線的な関係があるか否かは不明であるので、実験により両者の関係を調べる必要がある。実験の結果、ある範囲の黒化度の変化に対して検出電子数と黒化度との間に直線性があることがわかつた。そこで、この黒化度範囲で STEM 像を撮影し、 プローブ径 の測定を行つた。

(2) の検出角の問題は、電子を透過する薄い試料をナインエッジとして用ひるときには特に注意する必要がある。このよう^はナインエッジでは電子の吸収ほとんど起らざり、検出電子数の変化は、検出絞りの外への電子の散乱によつて生ずる。したがつて、もし検出角を大きくとり過ぎ^{れば}検出絞りの外への散乱確率が減少し、検出電子数の変化幅が小さくなるので、それに伴つて黒化度曲線の S/N 比が悪くなり測定精度が低下する。一方検出角を プローブ径 収束角より小さくすれば、検出角より大まか角度で入射する電子の影響は除外され、必ずしも プローブ径 の正確^な評価とはならぬ。以上の考察から、検出角は プローブ径 収束角に等しいかすむほどのそれよりわずかに大まかとするべきであ

ることが分かる。好都合ことに、検出角をこのように定めれば、
プローブ径の測定の障害となる Fresnel 干渉縞は現われず、⁶⁾
信頼性の高い測定が実現できる。

これまでナインエッジ法で厚いエッジが用いられてきたのは、
(3) の問題が未解決であつたためであるが、ここで散乱電子の
検出電子への寄与を考察してみよう。本測定法におけるように
薄い試料に電子を入射させると、一部の電子は散乱されて結晶
構造によって決まる特定方向に回折される。入射電子線が頂角
 2α の円錐である場合には、図 4-5 に模式的に示すように透過
電子も回折電子も頂角

2α の円錐を形成する。

いま、検出角を入射電
子線の角度すなわち θ°
ローブ収束角に等しく
とて、透過電子の円
錐内にくる電子をすべ
て検出することを考え
る。このときプローブ
収束角が Bragg 角 ($\theta =$
えび加速度電圧 50 kV で
試料が酸化モリブデン
のときには 7 mrad) 以
上に大きくなると、回

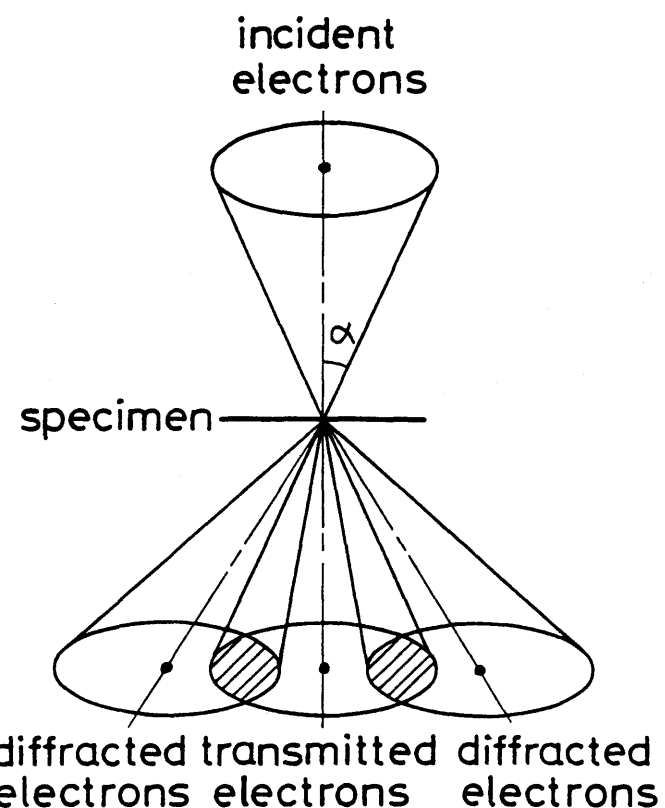


図 4-5 回折電子の影響

透過電子をすべて検出したとき、
斜線部の回折電子も検出される。

折電子の円錐が中央の透過電子の円錐に重なり、その重なった部分（図4-5の斜線部）に対応する方向から入射した電子に対しては透過電子だけではなく、回折電子も検出される。すなわち、入射した電子が試料に当って後検出器に入る確率を実効的透過率と考えると、これが入射方向によつて変化することになる。プローブ収束角がこらに大きくなければ、種々のミラー指数に対応する多くの円錐が中央の円錐と重なり、入射方向と実効透過率との関係は複雑となる。本測定法で正確にプローブ径が測定できるためには、検出電子数の変化が、エッジに当らざりこの外側を通過した電子数の変化に比例してなければならない。そのためには、上で述べたように入射方向による実効透過率の変化の影響が無視できることが必要である。

そこで、実際に検出面上に写真フィルムを置いて電子流密度の観察を行つた。その結果、次のようことが分つた。

(i) 個々の回折電子の円錐内での電子流密度は、透過電子のそれと比べて小さい。したがつて、透過電子の円錐と回折電子の円錐が重なつている部分と重なつていまい部分での、電子流密度の差、すなわち実効透過率の入射方向による違ひは観察できまといまだ小さい。

(ii) プローブの一部だけがエッジに当つているとき、中央の円錐内のエッジに当つている部分と当つていまい部分における電子流密度の差は大きく、その境界は明瞭に観察できる。これは、個々の回折の円錐内での電子流密度は小さいが、種々のミラー

指数の多くの回折が起こるのと、検出絞りの外へ回折される電子の総数は大きいに至る。

以上の結果から、検出電子数は入射電子のどれだけの割合がエッジに当たるかだけで決まり、実効透過率の入射方向依存の影響は小さいと考えてよい。すなはち、本測定法で薄い十ナノメートル用いたことに於ける回折電子の影響は、測定精度に対する支障とはならないことが分る。

本測定法で測定できる最小のプローブ径は、(4)のエッジの厚さによって究極的に決まると考えられる。ナノメートルとして用いた酸化モリブデンの板状結晶のエッジは必ずしも厚さ方向に直線でありなく、丸みを帯びていることが多い。したがってエッジの先端部では厚さがしていに薄くなっており、そのためには生ずる検出電子の変化が測定誤差となるので、この誤差と同程度のプローブ径は測定不可能となる。このエッジ厚さによる測定限界が、次章で行うプローブ径の測定の結果に与える影響を明らかにすることが重要であり、次節の前半においてこの問題を実験により検討する。

(5)の大さなプローブ径を測定する際の諸問題については、小さなプローブ径の測定限界とは別に検討する必要がある。プローブが大きい場合には上記述べたエッジの厚さによる測定誤差よりも大きい、新たな誤差が生じるからである。その一つは、黒化度の変化が緩慢に生じることに起因する誤差である。STEIM像撮影時のプローブ電流中の量子統計ノイズとドリフトの干

め、黒化度の水平レベルの判定には若干の任意性がある。エッジにおける黒化度の変化が緩慢にたると、これと γ ロード電流のドリフトによる黒化度変化との判別が難しくなるだけではなく、わざわざ水平レベルの判定の誤差が大きくなる径の誤差となる。

もう一つの誤差の原因は、焦点からし量の選択の困難さである。 γ ロード径は焦点からし量によって変化するので、焦点からし量を変えて同じエッジの像を撮影し、その中から最小の γ ロード径を与える像を選ぶ必要がある。しかし、電子線照射によるエッジの損傷、変形のため、同じエッジでの可能な撮影回数は通常3回程度以内に限られる。 γ ロード径が大きいときには非常に不鮮明な像しか得られず、最小の γ ロード径を与えた像の判定は難しいので、3回程度の撮影では厳密に最小の γ ロードを得ることに困難である。

このように、小さな γ ロード径の測定の際には問題となりかねない要因が、大きな γ ロード径の測定の際の誤差となり得る。したがって、大きな γ ロード径の測定精度を検討する必要があり、次節の後半でこの問題を実験と計算により調べる。

§ 4-4 γ ロード径測定精度の検討

4-4-1 小さな γ ロード径の測定

前節で述べた γ ロード径測定法の測定限界が、次章で行う γ ロード径の測定結果に及ぼす影響を評価するためには、本研究に

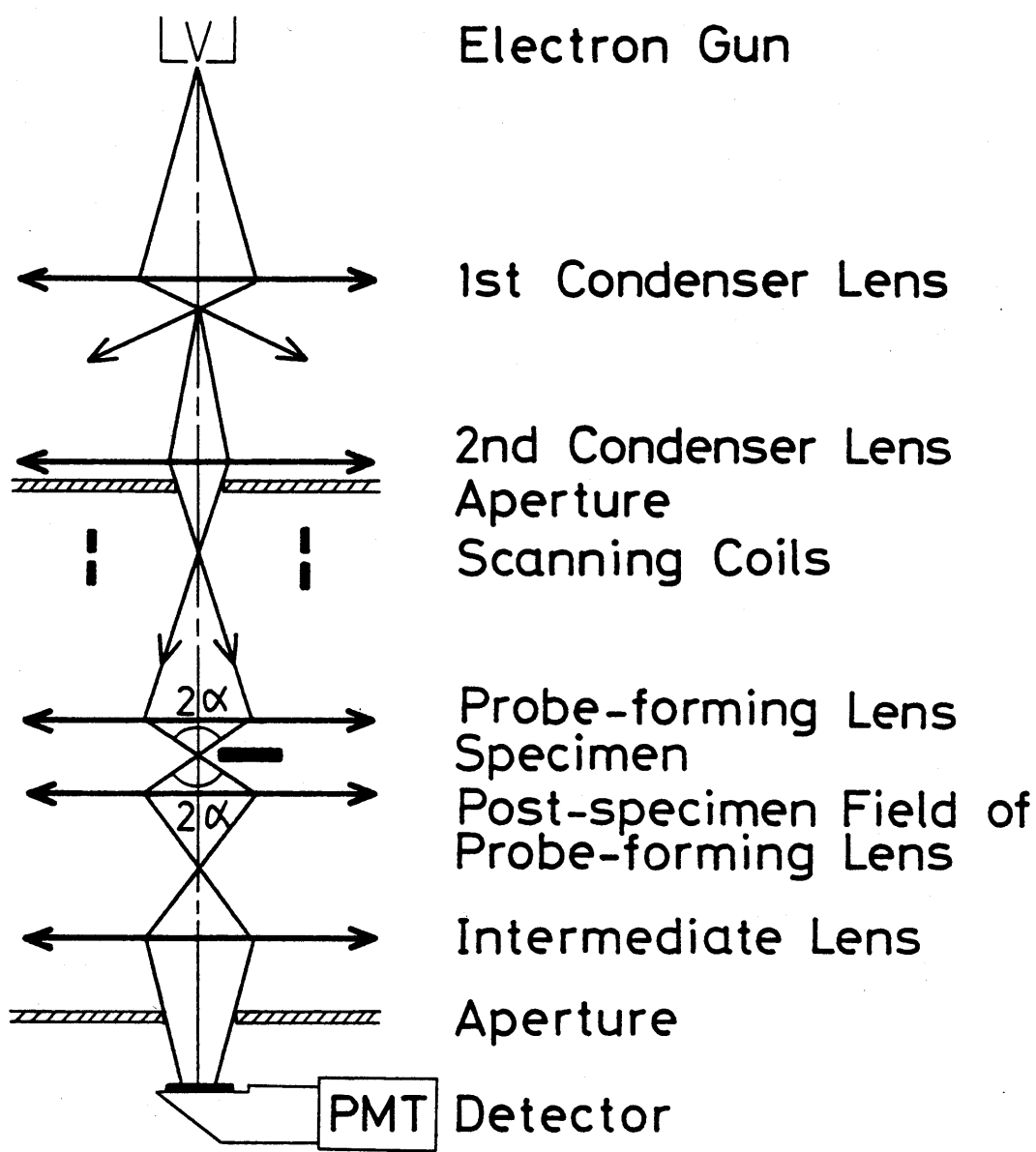


図4-6 7°ローブ径の測定に用いた電子光学系

用いた装置の通常の動作状態で得られる最小のアローバー径が、どの程度の精度で測定できるかを調べる実験を行った。実験には走査像観察装置の付いた日立製作所製H-500H型電子顕微鏡を用いた。その電子光学系を図4-6に示す。

本装置で使用する電子鏡の陰極は、図4-7(a)に示すようヘアピンカソードと、同図(b)に示すようヘアピンカソード先端に針状のタングステンを密接してホイントカソードの2種類である。本実験においては、できるだけ小なアローバーを得るためにホイントカソードを用いた。電子源を2段のコントローランズとアローバーフォーミングレンズで縮小してアローバーをつくり、走査コイルでエッジと走査する。アローバーフォーミングレンズのホールピースの形状は図3-2に示した通りである。本実験では収差補正は行われていなかった、薄膜レンズは組み込んでいた。中間レンズは試料への入射電子線がちょうど検出紋りいっぱいに入るように調節する。検出紋りを通じて電子はいったん光信号に変え、光電子増倍管

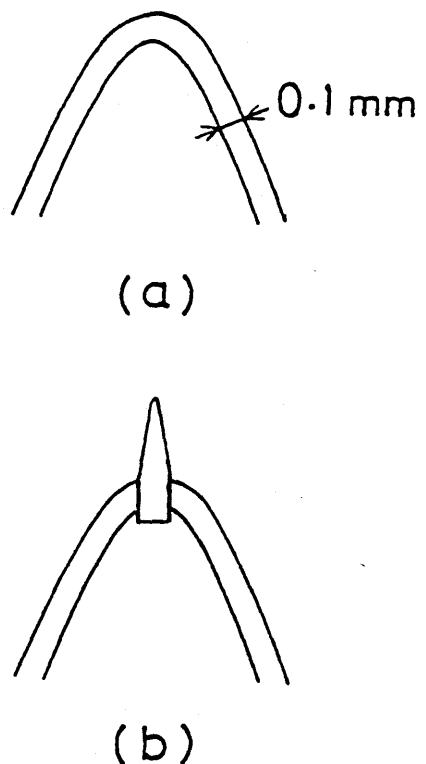


図4-7 陰極の種類

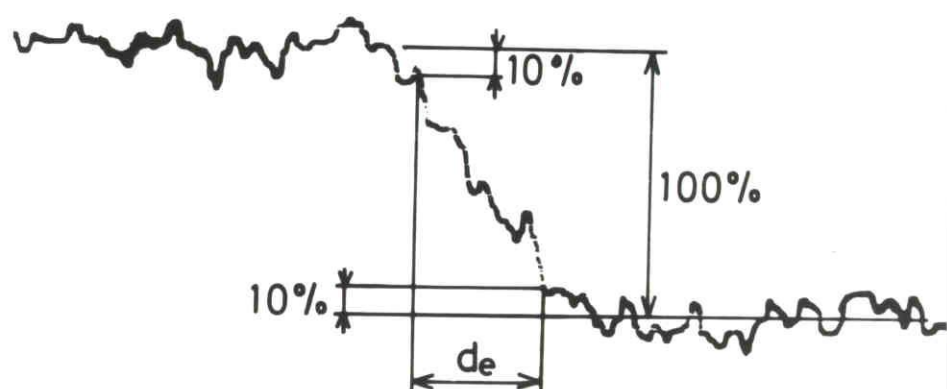
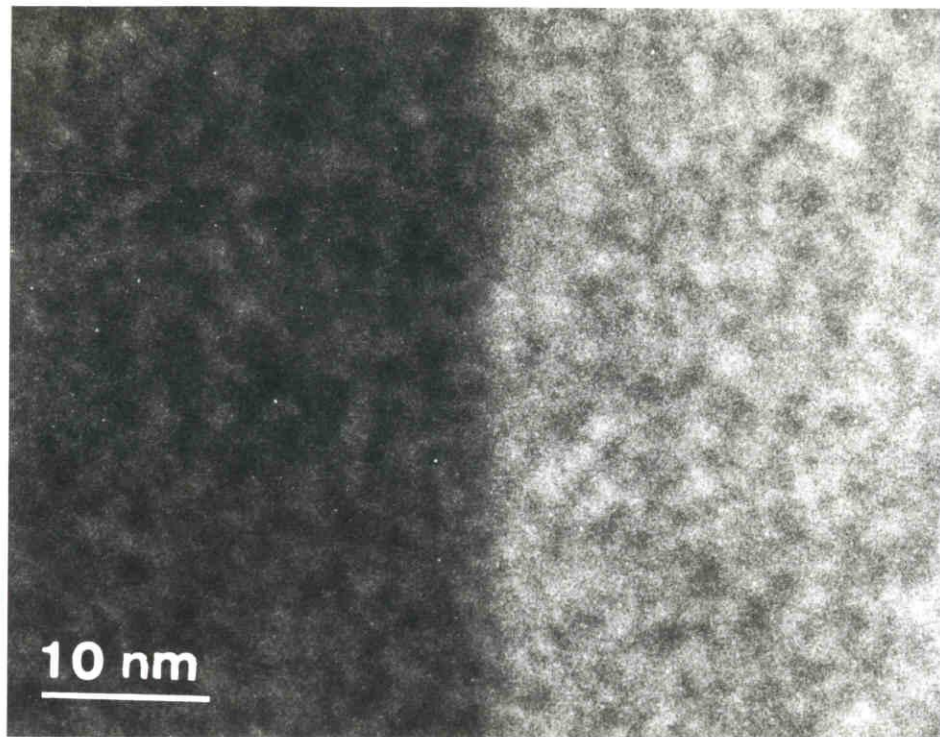
(a) ヘアピンカソード
(b) ホイントカソード

で増幅した後ドラン管に送り、これを信号としてドラン管を輝度変調する。このとき、電子 γ ローバーの走査と同期してドラン管上で走査を行えば、管面上にSTEM像が得られる。

本装置の標準のレンズ動作条件におけるガウス径を測定するためには、球面収差と回折収差とともにニのときのガウス径と比べて無視できるよう \pm 適当な γ ローバー収束角を用いる。加速電圧は 100 kV としている。

図4-8には、得られたエッジのSTEM像と、エッジに垂直方向の黒化度変化の例を示す。小さなコンデンサー一絞りによつて γ ローバー収束角を制限しているので、 γ ローバー電流が少なくて、像にはかなりの量子統計ノイズを含んでいる。しかし、黒化度測定の際エッジと垂直方向のスリットを、試料面に換算して約 7 nm に広げることにより、黒化度曲線のノイズは γ ローバー径の測定に支障のない程度に抑えられることが可能である。黒化度曲線から γ ローバー径を測定した結果、 $2.3 \pm 0.5\text{ nm}$ の値が得られた。

γ ローバーのガウス径は、別の方法で間接的に求めることができる。 γ ローバーオーミングレンズとして用いてまずレンズの励磁を変えて、これを縮小レンズでなく拡大レンズとして用い、第2コンデンサーレンズによつてつくられた電子源の像を拡大して、その電子流密度分布を測定し、これから求まる電子源の像の直径に γ ローバーオーミングレンズの縮小率をかけて、 γ ローバー径を求める方法である。微小な γ ローバーを拡大する場合と違い、 γ ローバーオーミングレンズで縮小する以前の電子源



$$d_e = 2.3 \pm 0.5 \text{ nm}$$

図4-8 酸化モリブデン結晶のエッジの
S TEM像と対応する黒化度曲線

の像を、電子流密度分布の測定が可能な大玉工に拡大するには容易である。測定した電子流密度分布はガウス分布でよく似ており、その半価幅 $d_h = 2.0 \pm 0.2 \text{ nm}$ であった。ガウス分布の電子流密度分布をもつ γ -ローバーに対しては、図4-4 の定義によると γ -ローバー径 d_e と半価幅 d_h との関係は

$$d_e = 1.09 d_h \quad (4-1)$$

であることが容易に導かれる。したがって、この場合の γ -ローバー径は $2.2 \pm 0.2 \text{ nm}$ と求められる。測定値の $\pm 0.2 \text{ nm}$ ならばつきは、主に電子流のセッティングおよび電子鏡において放電电流の制御に使われるバーネルト電極のバイアス電圧の違いによるものである。

このように、二つの方法で別々に求めた γ -ローバー径の値は、く一致し、従来の方法より格段に小となる γ -ローバー径が、エッジの S.T.E.M 像を用いる方法で測定できることが分った。次章の実験においては、この標準のレンズ動作状態をほとんど変更せずに用い、 γ -ローバー収束角だけを変えて球面収差の影響が大きくなるよう状態で実験を行う。この状態で球面収差補正を行つても、 γ -ローバー径がここで測定してガウス径以下にとなることはない。したがって小となる γ -ローバー径に対する本測定法の測定限界が、以下の測定において測定誤差となることになることを結論である。

4-4-2 大きな θ ローバーの径を含めた広い範囲の測定⁷⁾

広い範囲の θ ローバーの径に対する本測定法の精度を調べるために種々の θ ローバー収束角において θ ローバーの径を測定し、その結果を 4-2 で述べた θ ローバー電子流密度分布の計算によつて評議した。

実験装置は図 4-6 に示して通りであるが、電子銃としてヘリカルカーリードを用い、加速電圧は 50 kV とした。 θ ローバー角はコニデンサー絞りで変化させ、その大きさを金の回折干渉計を用いて較正した。このときの θ ローバー収束角の測定誤差 $\pm 1.5\%$ 程度である。

θ ローバーの径が小さい場合には、通常 θ ローバーの径が最小となる焦点がらし量において最も鮮明な像が得られるので、そのような条件の附近でわずかに焦点がらし量を変えて測定を行えば、容易に最小の θ ローバーの径を与える焦点がらしの条件での測定像が得られる。しかしながら、球面収差のために θ ローバーの径が大きい場合には、像の鮮明さと θ ローバーの径との関係は必ずしも明らかでない。そこで、焦点がらし量を変えることによる像の変化とそのときの θ ローバーの径の変化を調べた。 θ ローバー収束角における θ ローバーの径が大きくするようには 43 mrad と大きくとっていた。焦点がらし量を変えて撮った一連の像のうちの典型的な 2 枚と、それぞれの像のエッジに垂直方向の黒化度曲線を図 4-9 に示す。図 4-9 (a) および (b) は、それぞれエッジの最も鮮明な像と最小の径の θ ローバーによる像、(a') および (b') はそれらの黒化度曲線である。

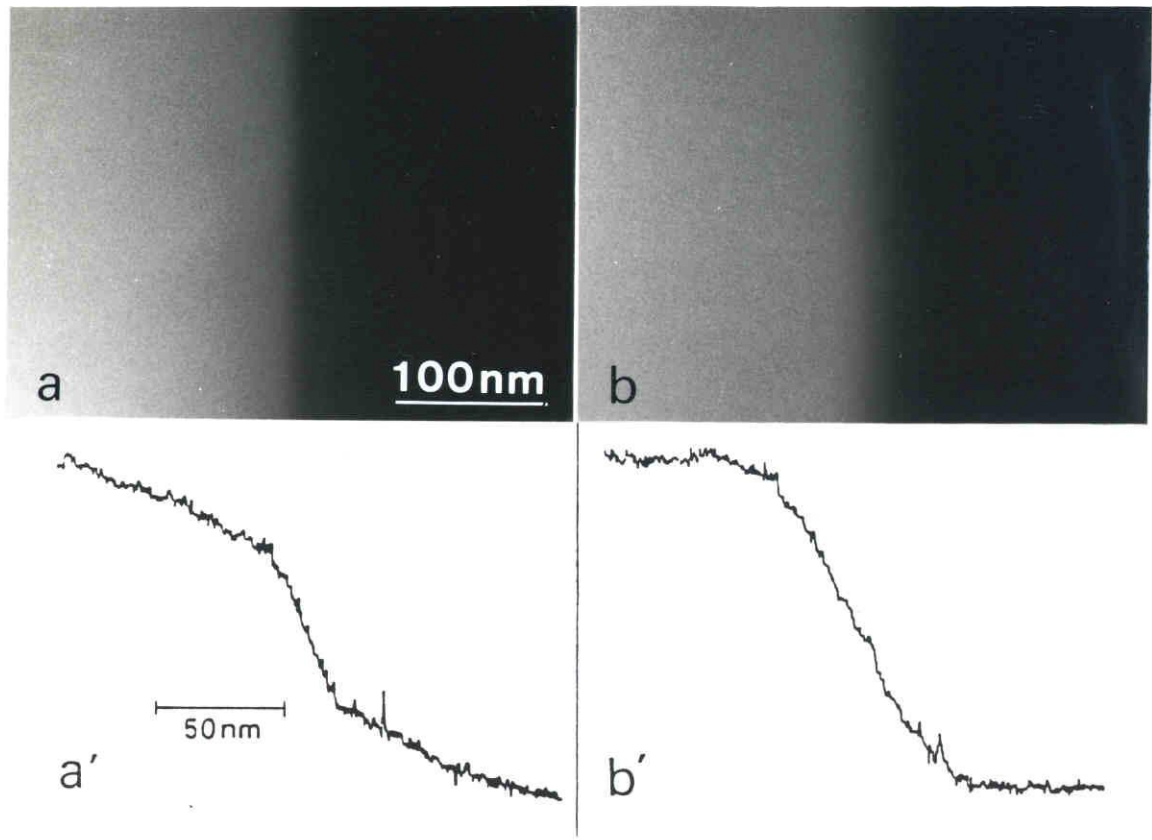


図4-9 焦点ずらし量によるSTEM像と黒化度曲線の変化

(a)はエッジの最も鮮明な像、(b)は最小のプローブを与える像であり、(a')と(b')はそれぞれ(a)と(b)におけるエッジに垂直方向の黒化度曲線である。

線である。 (α') の黒化度曲線はエッジ先端の近傍に変化の急激な部分があり、これがエッジの鋭い像を与えるが、その両側の広い範囲で黒化度がゆっくりと変化していることを示し、 γ ローブ径は 170 nm と大きい。一方、 (β') の黒化度曲線では、エッジ先端の近傍での変化が (α') ほど急でなく、像のぼけは大きいことが分かる。しかし、 (α') のように変化の緩慢な部分がないので γ ローブ径としては 60 nm と小さい値が得られる。このように γ ローブ収束角が大きく、 γ ローブ径が大きいときには、最小の γ ローブ径を与える焦点がらしの条件は、必ずしも視覚的にはぼけが少ないと想定される。この結果は、本節の目的である γ ローブ径測定法の精度とは直接関係はないが、 γ ローブ電子流密度と γ ローブ径の関係、および γ ローブ電子流密度に対する焦点がらし量の寄与は、電子 γ ローブ装置の応用上興味深い問題であるので、後に γ ローブ電子流密度の計算によつて簡単に論ずる。

さて、このように像のぼけと最小の γ ローブ径とは必ずしも関連しないので、焦点がらし量を変えて一連の像を撮影して、対応する γ ローブ径を測定した。図4-10はそれらのうちの最小値を γ ローブ径として、その γ ローブ収束角に対する変化を示したものである。この図での印とバーは、それぞれ測定値の平均とばらつきを示している。すな、3本の曲線は計算結果であり、以下この計算について述べる。

実験結果の定量的検討のためには、 γ ローブ電子流密度から γ

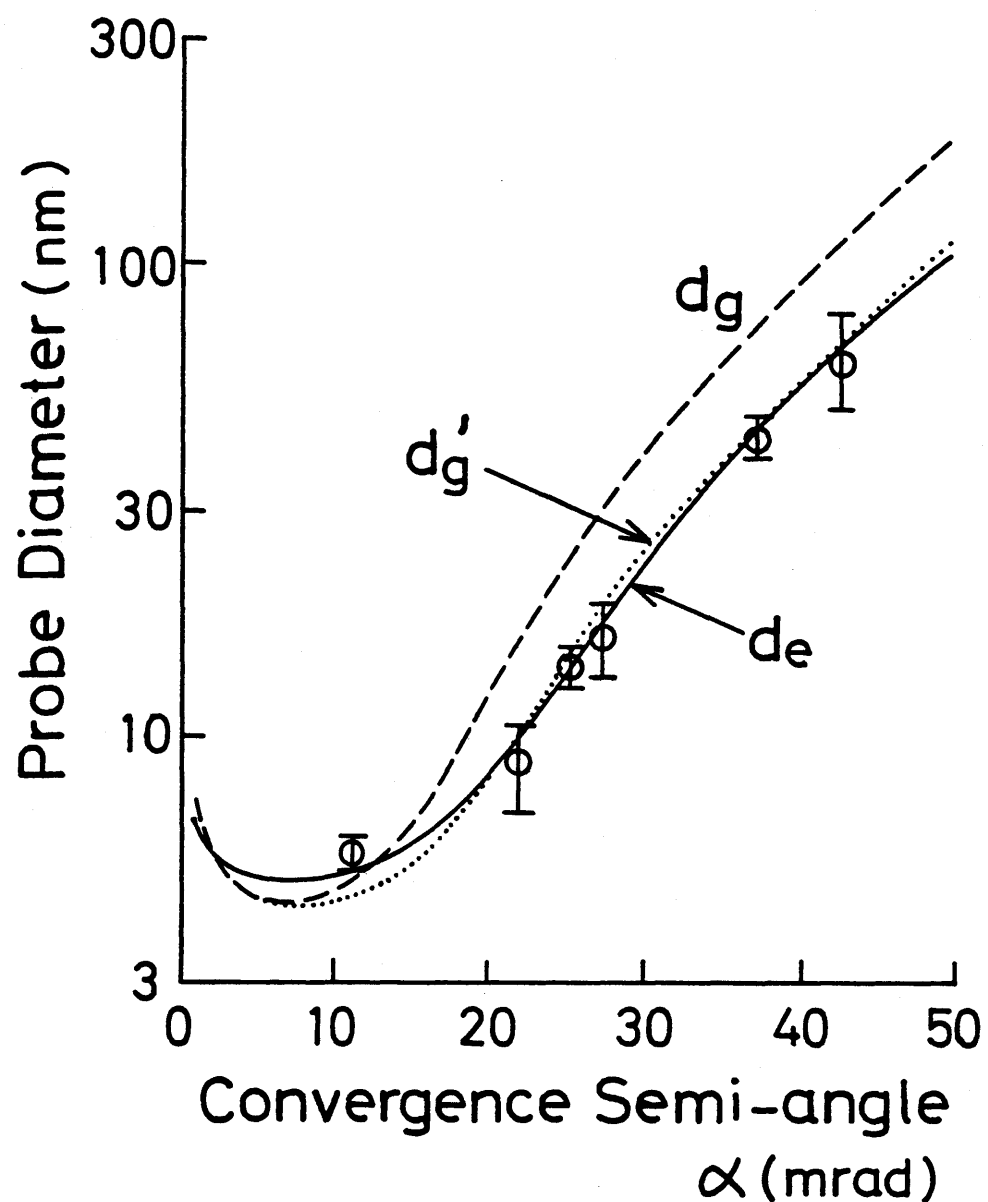


図 4-10 フ^ºロ - フ^º径のフ^ºロ - フ^º収束角に対する変化

ローブ径の計算を行つた。 γ ローブ電子流密度は、§4-2で導出した式に、3次と5次の球面収差係数および電子源の電子流密度分布を代入し、電子計算機を用いて計算した。 γ ローブオーミングレンズの球面収差係数は、図3-4の $V_f = 0$ V の場合としてすでに計算済であり、 $C_{S3} = 2.8$ mm、 $C_{S5} = 5.6$ mm である。また、電子源の電子流密度分布を4-4-1と同じ方法測定して結果、試料面に換算して半価幅が4.4 nm のから入射でよく近似できる分布であった。したがってこのときのアーチス径は、(4-11) 式より 4.8 nm である。

γ ローブ電子流密度分布が与えられたとき、 γ ローブ径の計算は次のようにして行うことができる。ナフエッジの大さいは γ ローブ径に対して十分に大きいので、エッジはその先端が $x = 0$ にあり、 $x \geq 0$ の領域に無限に広がる半平面と考えることができる。いま、 γ ローブの中心がエッジ先端から x ($x \geq 0$) の距離離にあるとき、エッジに当る電子流 $I_h(x)$ は

$$I_h(x) = I_t - 2 \int_x^{\infty} r_n \cos^{-1}\left(\frac{x}{r_n}\right) I_n(r_n) dr_n \quad (4-12)$$

で与えられる。ここで I_t は全入射電子流、 r_n は試料面での光軸からの距離、 $I_n(r_n)$ は γ ローブ電子流密度分布である。前節で議論したように、実効透過率すなわち試料に当つて電子が検出絞り内に入る確率は一定と見てよいので、これも T と書けば、検出される電子流は次のようにある。

$$I_d(x) = I_t - (1 - T) I_h(x) \quad (4-13)$$

また、すでに述べたように、検出される電子流とフィルムの黒化度との間に(1)は、直線的関係があるので、フィルムの黒化度 $D(x)$ は D' と D'' を定数として

$$D(x) = D' I_d(x) + D'' \quad (4-14)$$

と表わされる。 γ ローブ $x = \infty$ から $x = x_0$ まで移動させたとき、図4-4に示すように黒化度の全変化幅の 10% の変化があるときとすると、次式が成立する。

$$\frac{D(x_0) - D(\infty)}{2\{D(0) - D(\infty)\}} = 0.1 \quad (4-15)$$

ここで、系の対称性から黒化度曲線が $x = 0$ について対称であることを考慮して $T = 0$ 。(4-13)、(4-14) 式と (4-15) 式に代入し、 $I_h(\infty) = I_t$ 、 $I_h(0) = I_t/2$ を用いれば、 T 、 D' 、 D'' の各定数に無関係な式

$$I_h(x_0) = 0.9 I_t \quad (4-16)$$

が得られる。黒化度曲線の対称性より、黒化度の全変化幅の 90% の点とエッジとの距離も x_0 であるから、 γ ローブ径 d_e は、

$$d_e = 2x_0 \quad (4-17)$$

で与えられる。

図4-9のSTEM像を撮影した際の実験条件に対して計算して γ ローブ電子流密度と、これから求めた検出電子流に対する変化の例を、それぞれ図4-11および図4-12に示す。両方の図において、実線は軸上の γ ローブ電子流密度が最大となる焦点がらしの条件で、破線は最小の γ ローブ径が得られる焦点

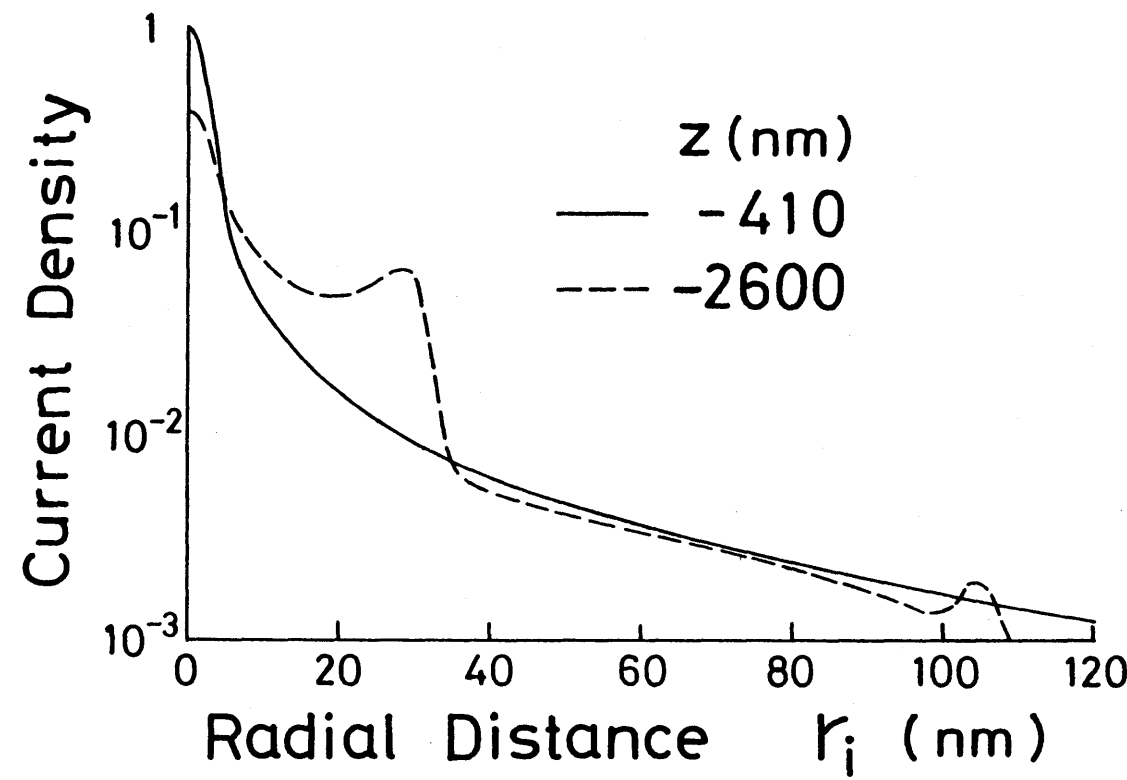


図 4-11 プロ-ブ電子流密度分布の焦点ずらし量による変化

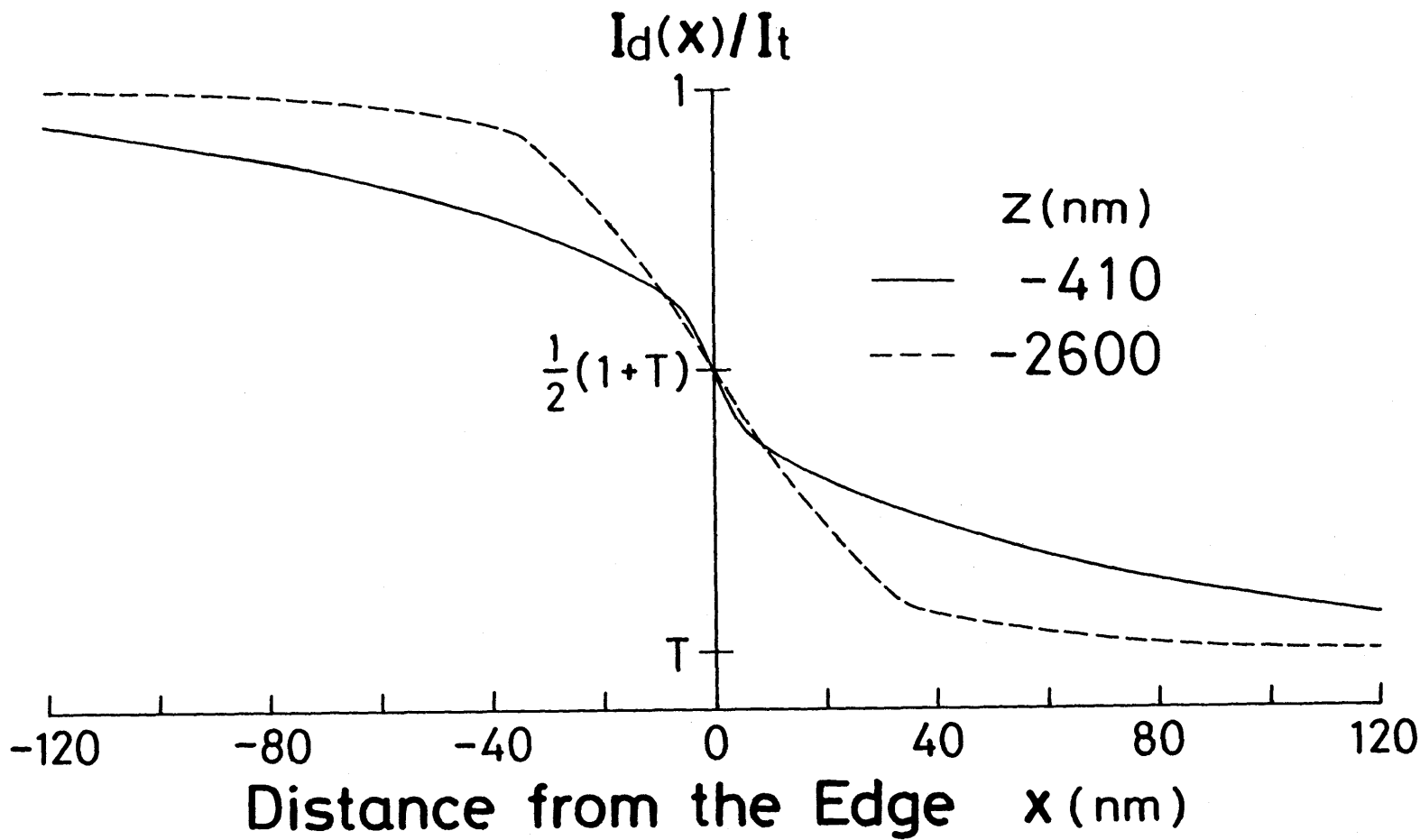


図 4-12 検出電子流の 7° ローバー位置に対する変化

実線と破線はそれぞれ図 4-11 の実線と破線の分布に対応している。

がらしの条件ごとの結果を示している。図4-11の縦軸は実線の分布の軸上の値で規格化しており、図4-12の縦軸は全入射電子流 I_t で規格化している。図4-9の黒化度曲線と図4-12の $I_d(x)$ とよく一致しており、プローブ径の計算値も表4-1に示すよ

表4-1 プローブ径の測定値と計算値との比較

(a), (b)はそれぞれ図4-9(a), (b)に対応している。(a)の像は軸上電子流密度最大の焦点ずらし量で得られると仮定している。

	測定値 (nm)	計算値 (nm)
(a)	170	187
(b)	60	63

うに測定値と一致している。また、図4-11の電子流密度分布は図4-9の像をよく説明している。すなわち、軸上電子流密度が最大のプローブでは、銛の中央のピークはエッジの鮮明な像をつくり、変化の緩やかで周辺部は像のバーリングランドを形成する。一方、径が最小となるプローブは、半径120nm以上のところで急速に電子流密度の減少のためプローブ径は小さいが、半径30nm以内で比較的高い電子流密度をもつために、これが像のぼけとなる。

このように、軸上電子流密度が最大となる焦点ずらし量のときにエッジの視覚的ぼけは最も少なくて、この焦点ずらし量が最適であるかのような印象を与える。確かに図4-9の場合によ

うでは比較的厚い試料に対するては、 \pm ローブ電子流のかたまりの部分がバックグラウンドとなつてもエッジ先端のコントラストは十分であり、試料の像は識別できる。しかしながら薄い試料に対するては、コントラストの不足のため試料の像はバックグラウンドノイズに埋もれて識別不可能となる。一方、径の最小の \pm ローブでは \pm ローブの中央部に大部分の電子が集まつておらず、試料の大半が \pm ローブ径程度であれば中央部の全電子が像形成に寄与するので、像コントラストは高く、薄い試料の観察に有利である。

顕微鏡観察においては、 \pm ローブ径程度の構造が問題となることが多く、この場合には軸上電子流密度最大の \pm ローブより、むしろ径が最小の \pm ローブが適当であると考えられる。各種の電子線分析装置や電子ビーム描画装置等の顕微鏡以外の電子 \pm ローブ装置においても、同様に小さな \pm ローブ径を得ることの方が重要であると考えられる。

\pm ローブ径に対する焦点ずらし量の影響と、種々の \pm ローブ収束角に対して計算して結果を図4-13に示す。横軸は次式で与えられる焦点ずらし量 Z_0 によって規格化されていく。

$$Z_0 = -\frac{1}{2} C_{S3} \alpha^2 - \frac{3}{10} C_{S5} \alpha^4 \quad (4-18)$$

Z_0 は表面収差が電子波長の数倍程度と小さく、電子源が点電子源とみたせるほど小さいときに軸上電子流密度が最大となる焦点ずらし量⁸⁾と、5次までの球面収差を考慮して求めた結果である。今の場合電子源は点電子源ではなく、また表面収差も \pm ロ

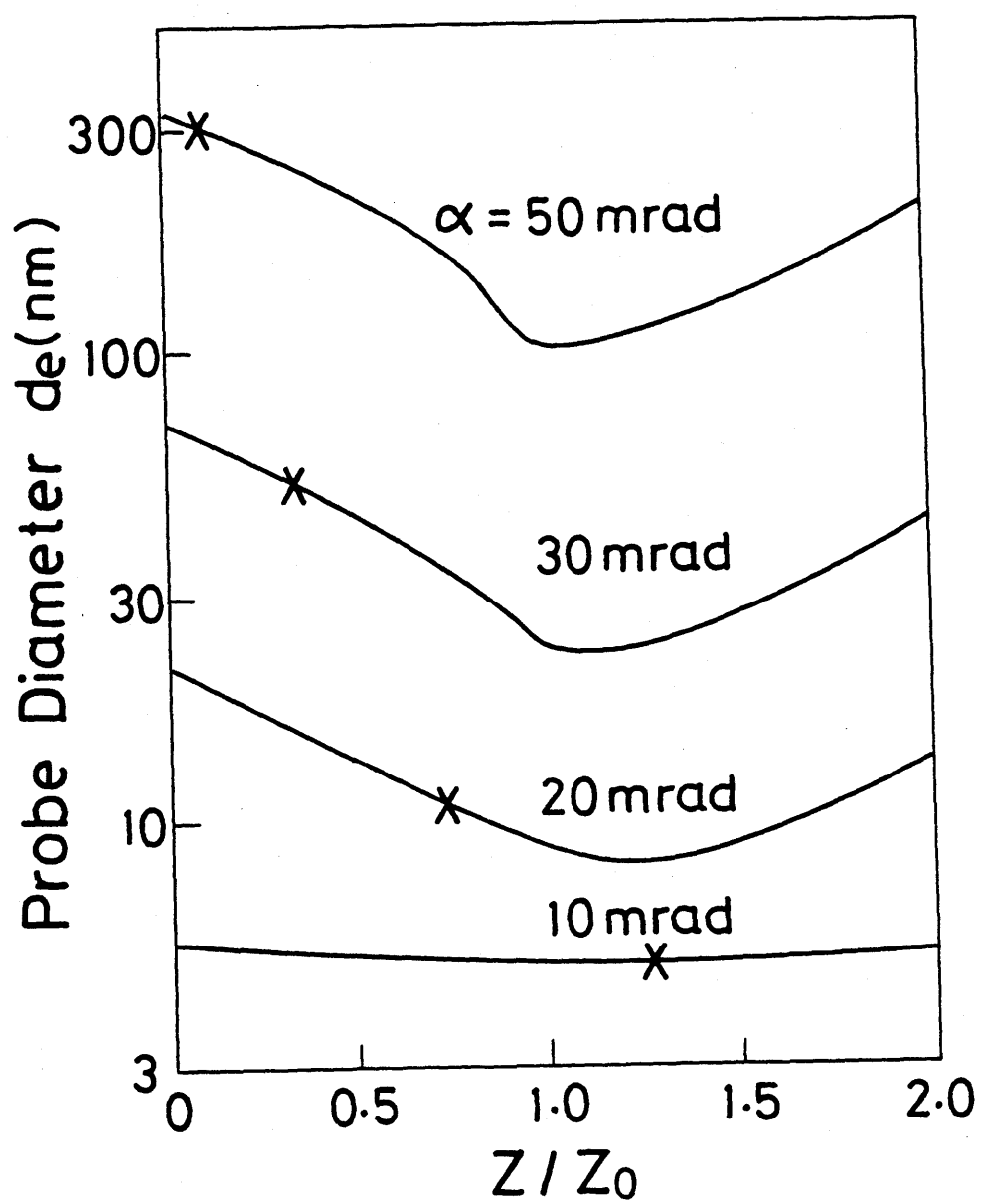


図 4-13 プローブ径の焦点ずらし量に対する変化
 \times 印は軸上電子流密度最大の焦点ずらし量を表わす。

- γ 収束角 $\alpha = 10 \text{ mrad}$ のときを除いて非常に大きいので、最大の軸上電子流密度を与える焦点ずらし量は、図中に X 印で示しておこうに $\pm 2^\circ$ とは一致しない。むしろ、最小の $\pm 7^\circ$ は γ 径を与える焦点ずらし量が $\pm 2^\circ$ に近い値であることがわかる。

このように計算して求めた $\pm 7^\circ$ ローラー径の γ 径 - γ 収束角に対する変化を図 4-10 に実線で示す。測定値の平均と計算値とは、どの γ ローラー径においても $\pm 10\%$ 以内の誤差で一致している。したがって本測定法は、5 ~ 60 nm の広い範囲の γ ローラー径を $\pm 10\%$ 以内の精度で測定できることが明らかとなる。

γ ローラー径を評価する簡便な方法として、(2-6) 式の下では幾何光学的な γ ローラー径の計算が使われるところが多い。このようでは単純な方法がどの程度正確な近似を与えるかを検討することは、実際的な興味深い問題である。(2-6) 式で色収差を無視して計算した幾何光学的 γ ローラー径 d_g を図 4-10 に破線で示す。球面収差が支配的で大きい γ ローラー径において、 d_g は測定値よりかなり大きい。この違いは、主に、 γ ローラー径の定義の際の球面収差の取り扱いの違いによるものである。幾何光学的定義においては、球面収差によらず γ ローラー径 ds がすべての電子を含む最小錐乱円の大きさとして、(2-4) 式によって表されている。一方イフエッジ法では、全体の 80% の電子を含む下には γ ローラー径が定義されている。したがって、大きい γ ローラー径において d_g が γ ローラー径の実測値より大きくなることは十分考えられる。試みに、(2-4) 式の代わりに

$$ds' = 0.3 C_{S3} \alpha^3 \quad (4-19)$$

によって球面収差による γ° ローレンツの広がりを表わし、(2-6)式の $ds = ds'$ を代入して γ° ローレンツ径 dg' を計算すると、図4-10に点線で示したように、測定値および波面光学を用いて計算した結果とかなりよい一致がみられる。

§ 4-5 結 言

本章では、次章において行う球面収差補正実験の準備として、 γ° ローレンツ電子流密度の計算法と γ° ローレンツ径測定法を確立した。

γ° ローレンツ電子流密度の計算は、波面光学的手法を用いて行つて。軌道計算によって求めた収差係数を利用してために、5次までの球面収差係数と焦点距離量を考慮して球面の式を導出し、これを既存の Fresnel 回折式に代入するなどにより、5次までの球面収差を含んだ γ° ローレンツ電子流密度の式を導いた。

次に、微小な γ° ローレンツ径を測定するためには、従来の TEM エッジ法を改良して新しい γ° ローレンツ径測定法を開発した。これまで、10 nm 以下の γ° ローレンツ径を直接測定する方法はなく、特に、加速電圧が高くなるほど測定は困難であるところであった。新しく開発した、薄い板状試料のエッジの STEM 像を用いる測定法は、従来の手法より格段に小工は γ° ローレンツ径が高い加速電圧においても測定でき、加速電圧 100 kVにおいて 2.2 nm の精度よく測定できる。

さらに、大きな γ° ローレンツ径まで含めた広い範囲で γ° ローレンツ

を測定し、 Φ ローブ電子流密度の計算結果から得られ Φ ローブ径と比較した。その結果、60 nmまでの Φ ローブ径に対し、測定値と計算値とは $\pm 10\%$ の精度で一致し、本測定法の有用性が示された。

この実験に関連して、いくつかの重要な知見が得られた。その一つは、焦点ずらし量による Φ ローブ電子流密度分布と Φ ローブ径の変化、およびその STEM 像への影響に関するものである。 Φ ローブ径が最小となる焦点ずらし量と、最も鮮明な STEM 像を与える焦点ずらし量とは、 Φ ローブ収束角が大きいほど一致することが実験事実として得られた。その検討のために Φ ローブ電子流密度分布の焦点ずらし量による変化を調べた結果、鮮明な像は Φ ローブの軸上電子流密度が最大となるときに得られるが、このとき電子流密度分布の周辺部の大きさが Φ ローブ部分が、バックグラウンドの増加をもたらすことが分かった。

また、 Φ ローブ径の簡単な評価法としてしばしば用いられる幾何光学的計算は、球面収差に起因する Φ ローブの広がりの定義を適当に変更することにより、かなりよい近似となり得ることも明らかとなった。

第4章の参考文献

- 1) Born, M. and Wolf, E.: Principles of Optics, 6th ed., Pergamon Press, Oxford, 1980, Chap. 9, p. 459

- 2) Scherzer, O. : J. Appl. Phys., 20, 20 (1949)
- 3) Joy, D. : Proc. 7th Ann. SEM Symposium, IITRI,
Chicago, 1974, p. 327
- 4) Vaughan, W. : Proc. 9th Ann. SEM Symposium, IITRI,
Chicago, 1976, p. 745
- 5) Kopf, D. A. : Optik, 59, 89 (1981)
- 6) Joy, D., Maher, D. and Curris, A. : J. Microscopy,
108, 185 (1976)
- 7) Hanai, T. and Hibino, M. : J. Electron Microscopy, 33,
116 (1984)
- 8) Ta-Hang, W. : Proc. Phys. Soc., 53, 157 (1941)

第5章 球面収差補正による電子 γ ローラーの改善

§5-1 序 言

γ ローラー・フォーミングレンズに薄膜レンズを適用して球面収差を補正できることは、§3-3において数値計算により示して。§2-1で行った γ ローラー径に関する議論によれば、 γ ローラー径における球面収差と γ ローラー電流あるいは回折とによって決まり、小さな γ ローラー収束角では γ ローラー電流より γ 回折の影響が、また大きな γ ローラー収束角では球面収差が支配的である。したがって、球面収差が支配的であるような大きな γ ローラー収束角での補正を行えば、 γ ローラー電流を保つまま γ ローラー径を減少させることができることが期待できる。第2章で述べたように、これまで提案された種々の補正法の中で、実際に γ ローラー径の減少を達成できたものはなく、補正による γ ローラー径の減少を実証できれば、薄膜レンズの实用性に対する明確な証拠となる。そこで、球面収差が支配的 γ ローラー収束角の範囲で、 γ ローラー・フォーミングレンズと薄膜レンズの組み合せレンズを用いてつくった γ ローラーの直径を測定し、薄膜レンズの効果による γ ローラーの改善を実験的に示して。 γ ローラー径の測定方法との定量的評価には、第4章で述べた方法を用いた。

実験によると、Hibinoら¹⁾によて用いられ、強励磁の励磁界レンズの補正に実績のある薄膜レンズと同じ寸法の薄膜レンズを用い、また電子銃の陰極としては、§4-4で γ ローラー径の γ ローラー

ゲ収束角による変化の測定に用ひて、安定した電子ビームが得られることがわかつて、 $\pm 1^{\circ}$ フォーカシングステンヘッドを用いた。²⁾ この実験によって $\pm 1^{\circ}$ フォーカス径の減少を確認し、これらに検討を進める上で問題点を明らかにして後、より小さなガウス径の得られるポイントカーリードを用ひて、薄膜レンズ寸法の変化の影響を調べた。さらに、薄膜レンズの工作精度や軸合せの精度が不十分であることに起因する軸非対称性収差と、陰影像を用いて定量する新しい方法を開発し、この手法を用ひて球面収差補正後に残る収差を解析し、 $\pm 1^{\circ}$ フォーカス径の測定結果と計算結果との比較を行った。

§ 5-2 実験方法

実験に用いた電子顕微鏡および $\pm 1^{\circ}$ フォーカシングレンズのホールピースは、§ 4-4 で $\pm 1^{\circ}$ フォーカス径測定法の検討のための実験に用いたのと同じものである。この STEM 付属装置の付いた電子顕微鏡の $\pm 1^{\circ}$ フォーカシングレンズ前方に薄膜レンズを組み込んだ。薄膜レンズは、電子顕微鏡のトップエントリー用試料台に取り付け、試料台の微動装置を用ひて軸合せができるようにしてある。またこのとき、薄膜レンズと $\pm 1^{\circ}$ フォーカシングレンズの距離(図 3-2 の L)は、§ 3-3 の数値計算により得られた最適値 20 mm とした。

薄膜レンズの構造は図 3-2 に示した通りである。薄膜レンズの薄膜としては、電子の散乱の悪影響を抑えるために、散乱の

少ない軽元素の薄膜で、しかも薄膜の帶電によって不安定な電界が生じないように、十分な導電性を有するものが必要である。Maruseら³⁾は、間隔25mmのビニロン用グリッドメッシュにコロジオン膜を張り、これに厚さ数10nmの炭素蒸着を行って導電性を持たせたものを用いた。しかし、このグリッドメッシュの透過率は約60%であり、さらにコロジオン膜と炭素膜による散乱が起るので、全体としての透過率はかなり低い。Hibinoら⁴⁾は支持用のグリッドメッシュとコロジオン膜を取り除き、厚さ約20nmの炭素蒸着膜を直接金属平板に開けた円孔を渡して張ったものを用いている。杉山ら⁵⁾によれば、このときの電子線透過率は加速電圧50kVで55%、100kVで70%である。著者も同様に支持膜なしで炭素蒸着膜を用いたが、蒸着膜の製法を検討した結果、炭素の蒸着速度を1nm/sec程度と速くすると、強度の高い薄膜が作製できることが新たに見出された。このようにして作製した薄膜は、膜厚約8nmまで円孔上に直接張ることができる、補正電圧の印加によらず静電力にも耐える強度をもつ。膜厚8nmの場合の電子線透過率は、加速電圧50kVで80%、100kVで85%であり、散乱の影響を軽減することができる。散乱の影響については、第6章で薄膜レンズの応用に関する詳しい論じる。

実験に用いた70ローラーフォーミングレンズ系を図5-1に示す。実線と破線は、それぞれ薄膜レンズを動作させたときの動作させたときの電子軌道の概略を示している。レンズ系とし

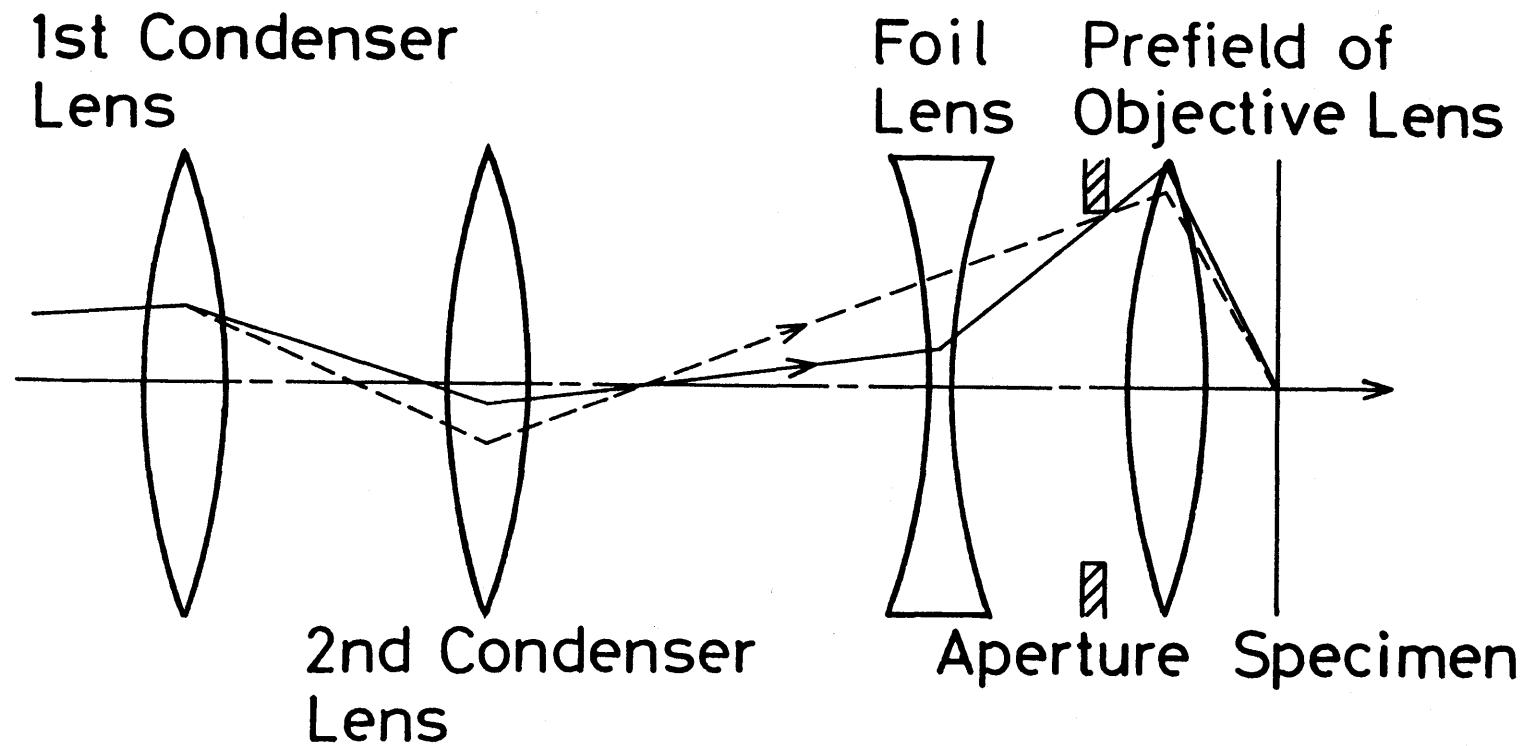


図 5-1 球面収差補正実験に用いたフローフォ-ミングレンズ系

破線は薄膜レンズを動作させていとき、実線はこれを動作させたときの電子軌道の概略を示す。

では、§3-3で補正特性を計算したときと同様、 $\gamma_0 - \gamma$ フォー
ミングレンズと薄膜レンズ以外に2段のコンデンサーレンズ
を用ひてあるが、各レンズの使い方は、図3-4に示して計算モ
デルとは少し異なっている。すなはち、図3-4においては γ_0
 γ フォームングレンズの励磁は一定とし、薄膜レンズ電圧の
変化の際に、薄膜レンズによる電子源の虚像の位置が移動しま
まうにコンデンサーレンズを調節して。一方ここで、第2
コンデンサーレンズによる電子源の像の位置を固定し、薄膜レ
ンズの凹レンズ作用による $\gamma_0 - \gamma$ 位置の軸方向の移動は、 γ_0
 γ フォームングレンズの励磁を変えて打ち消し、試料に焦
点を合わせるようにして。このとき、 $\gamma_0 - \gamma$ 電流が一定とな
るよう第1コンデンサーレンズを調節して。

本実験で採用した上記の電子光学系においては、図3-4の系
と違って、 $\gamma_0 - \gamma$ フォームングレンズ単独の球面収差係数と
 $\gamma_0 - \gamma$ 収束角とが変化する。これは、 $\gamma_0 - \gamma$ フォームングレンズの
強さとレンズ内での電子軌道が変わることからである。よ
り、(2-2)式から分るように、 $\gamma_0 - \gamma$ 電流が一定で $\gamma_0 - \gamma$
収束角が変化することを、 $\gamma_0 - \gamma$ のガラス径も $\gamma_0 - \gamma$ 収束
角に反比例して変わることになる。しかししながら、次節で示す
ようにこれらの要因による $\gamma_0 - \gamma$ 径の変化は、薄膜レンズの
補正効果による $\gamma_0 - \gamma$ 径の変化に対する無視できる程度の大
きさである。

一方図5-1の電子光学系を用いることは、次に述べるようす

利点がある。球面収差の f° ロード径への寄与を正しく評価するためには、工作精度や軸合せの不十分によって生ずる2回対称軸上非点収差を補正する必要がある。これは、第2ユニティンガーレンズの下に配置してある、2組の4極レンズから成る非点補正器を用いて行うことができるが、その効果は非点補正器内での電子ビーム断面の径に依存し、この径が小さいほど効果は減少する。図3-4の系では、薄膜レンズ電圧を増すにつれて第2ユニティンガーレンズによる電子源の像の位置が非点補正器に近づき、それに伴って非点補正器の効率が悪くなり、2回対称軸上非点収差が補正されにくくなることが考えられる。したがって、図3-4の系は厳密な非点収差補正が必要とされる f° ロード径の測定には不適当であり、第2ユニティンガーレンズによる電子源の像が移動せず、常に良好な非点収差補正の機能が得られる図5-1の系が有利である。

f° ロード径の測定は、§4-3で述べた板状試料のエッジのSTM像を用いる方法で行つて。 f° ロード径は焦点がらしの影響を強く受けるので、同じエッジを焦点がらし量を変えて撮影して一連の像から得られる最小の f° ロード径に注目し、この最小の f° ロード径の薄膜レンズ電圧に対する変化を測定して。

§5-3 予備実験と検討²⁾

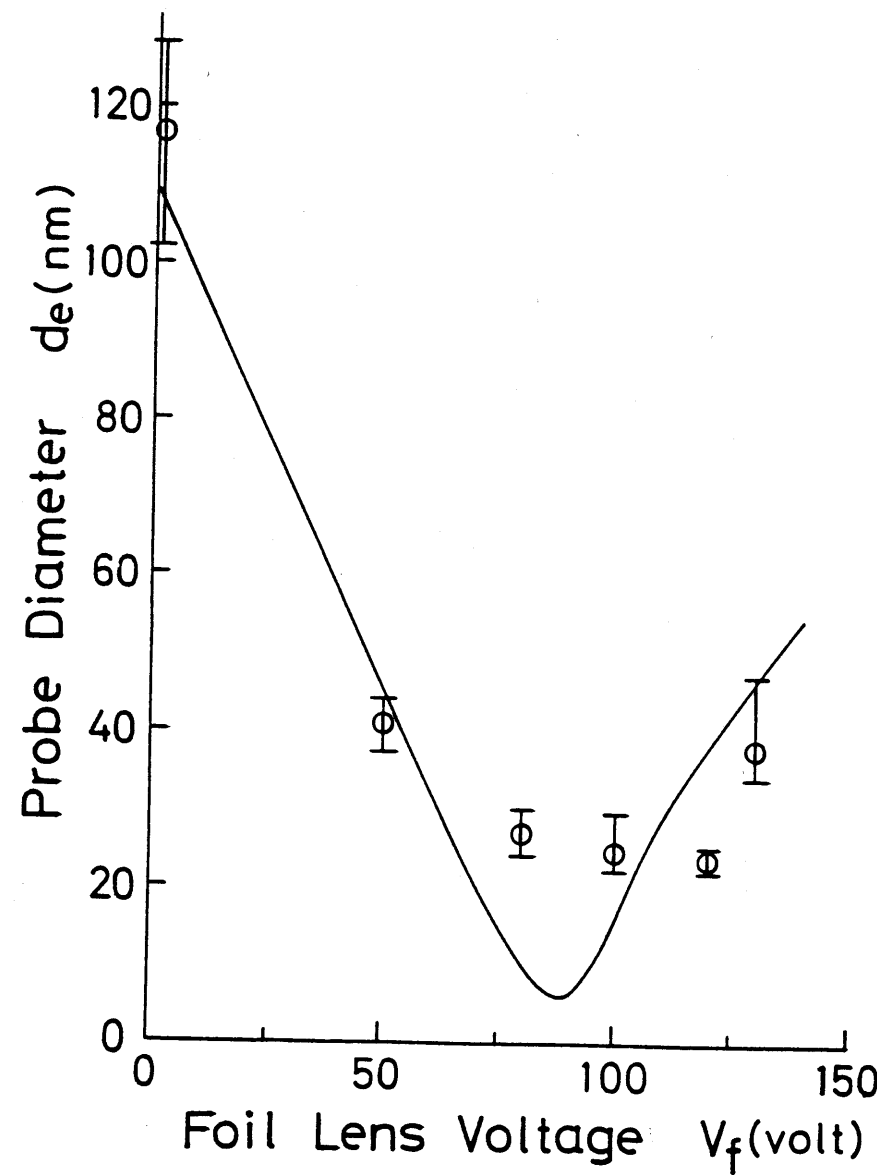
実験はまずヘアピンカーリードを用い、薄膜レンズオブジェクタHibinoら¹⁾が用いたのと同じ $R = 0.25\text{ mm}$ 、 $d = 0.03\text{ mm}$ 、

$t = 0.1 \text{ mm}$ (図3-2参照)として行った。この方法の薄膜レンズの球面収差補正特性については、すでに Hidinoら¹⁾が調べており、強励磁の磁界レンズの球面収差が補正できることを実証している。このようにある程度の成果がすでに得られていて条件で最初に実験を行い、球面収差補正による $\pm 70^\circ$ - $\pm 70^\circ$ の減少を示すとともに、さらに検討を進めるべき問題点を探った。

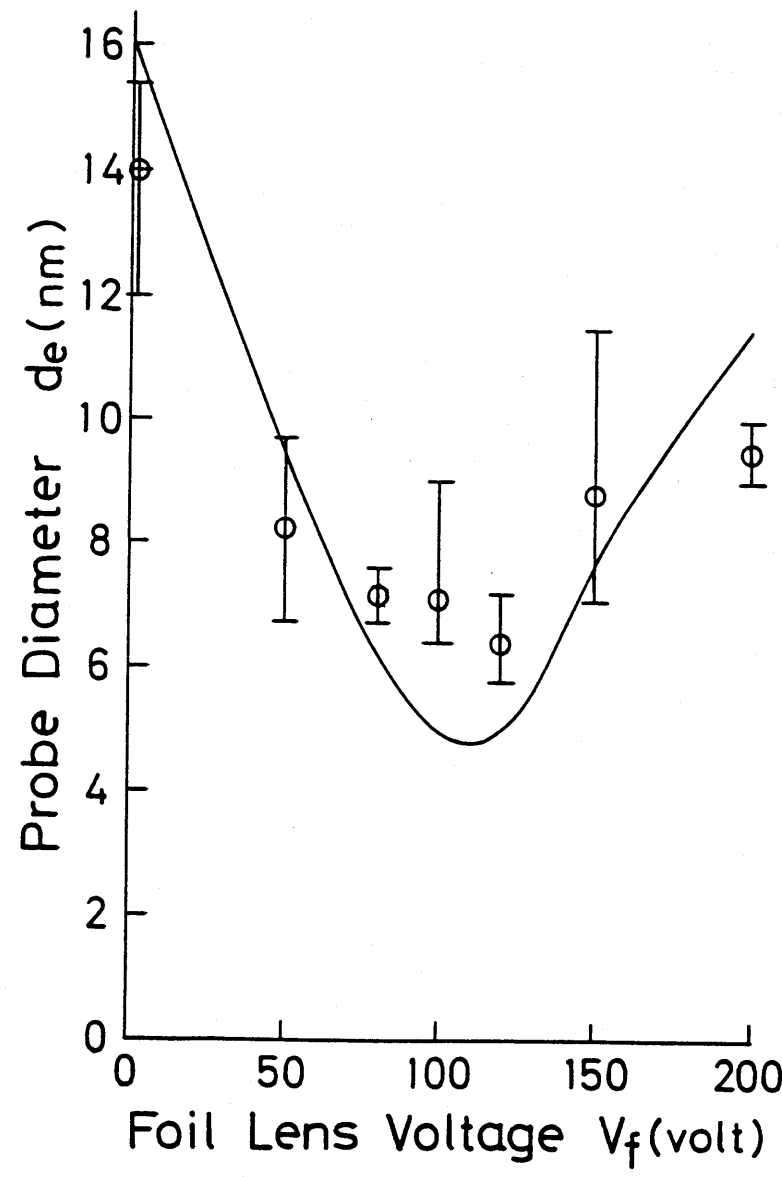
実験においては加速電圧を 50 kV とし、補正を行わなければ $\pm 70^\circ$ - $\pm 70^\circ$ 径が 100 nm と 10 nm 程度に及ぶようでは $\pm 70^\circ$ - $\pm 70^\circ$ 収束角について調べた。金の回折リングを用いて校正した結果、この $\pm 70^\circ$ - $\pm 70^\circ$ 収束角は 50 ミリビ 26 mrad であった。図5-2に測定した $\pm 70^\circ$ - $\pm 70^\circ$ 径の薄膜レンズ電圧に対する変化を示す。

O印は平均値を、バーは測定値のばらつきを示す。いずれの $\pm 70^\circ$ - $\pm 70^\circ$ 収束角においても、薄膜レンズ電圧 V_f を増加させると同時に $\pm 70^\circ$ - $\pm 70^\circ$ 径はいったん減少し、 $V_f = 100 \text{ V}$ 附近で最小となる。 $V_f = 100 \text{ V}$ を越えてさらに電圧を増加させると、 $\pm 70^\circ$ - $\pm 70^\circ$ 径は再び増大する。 $V_f = 0 \text{ V}$ のときの $\pm 70^\circ$ - $\pm 70^\circ$ 径に対する最小の $\pm 70^\circ$ - $\pm 70^\circ$ 径の比の値は、 $\pm 70^\circ$ - $\pm 70^\circ$ 収束角 50 mrad のとき $1/5$ 、 26 mrad のときは $1/2$ である。このように、薄膜レンズの効果により $\pm 70^\circ$ - $\pm 70^\circ$ 径を減少できることが明らかとなつた。図5-2の曲線はプローブ径の計算値であり、以下の計算について説明する。

計算は図4-4で用いたのと同じ手順で行い、また、薄膜レンズと $\pm 70^\circ$ - $\pm 70^\circ$ フォーミングレンズの組み合せレンズの3次と



(a) $\alpha = 50$ mrad



(b) $\alpha = 26$ mrad

図 5 - 2 7° ローブ径の薄膜レンズ電圧による変化

5次の球面収差係数を求めていた。すでに§3-3で種々の薄膜レンズ寸法について球面収差係数の計算を行っており、そのときとはレンズの使い方があまり違うので、図5-3に示すように補正特性も若干異なっている。図3-5の球面収差係数は、薄膜レンズ電圧に対するのは直線的に変化しているのにに対し、この場合には薄膜レンズ電圧の高いところでは、3次と5次の球面収差係数のグラフの傾きは、いかれもしていに緩やかになってしまっている。これは図5-1から分るように、薄膜レンズ電圧が高くなるにつれて電子軌道の軸からの距離が薄膜レンズ内では減少し、 γ ローバルオーミングレンズ内でわずかに増加するため、相対的に薄膜レンズの作用が弱まり、球面収差係数の減少の速さが落ちるものと考えられる。

前節で、図5-1の系を用いることにより、薄膜レンズ動作時に γ ローバル収束角と γ ローバルオーミングレンズ単独の球面収差係数が変化するなどを指摘したが、球面収差係数を計算する過程における軌道計算により、その評価も合わせて行った。その結果、用いた最大の薄膜レンズ電圧 $V_f = 200V$ のとき、 $V_f = 0V$ の場合と比べて γ ローバル収束角は4%増加（したがってガラス径は4%減少）し、 γ ローバルオーミングレンズの球面収差係数は1%減少することが分った。これらの変化の結果として生ずる、薄膜レンズの効果にはより高い副次的 γ ローバル径の变化は、 $V_f = 0V$ のときの γ ローバル径の約10%である。これは測定誤差程度の大ささであり、図5-2における γ ローバル径の

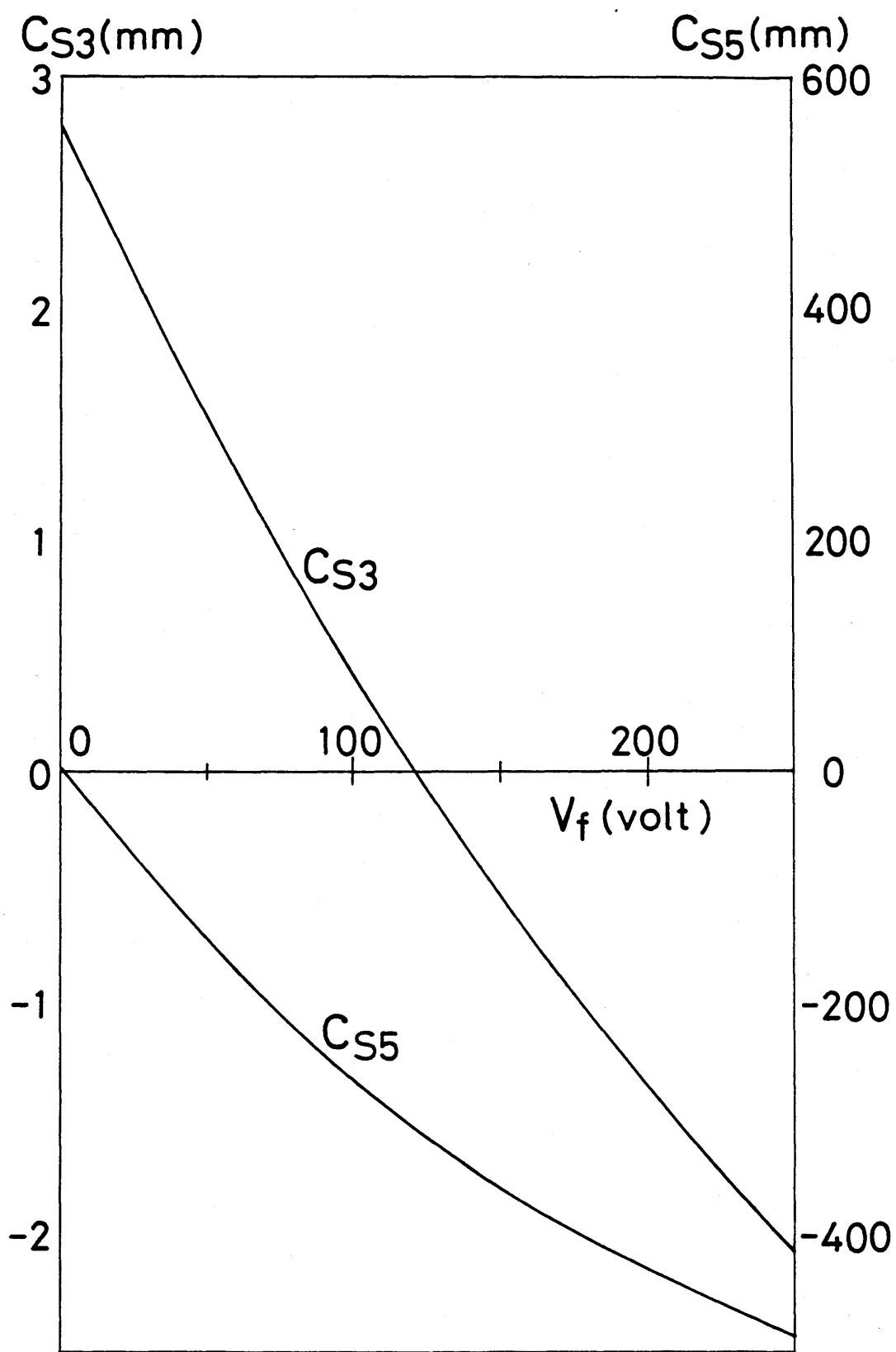
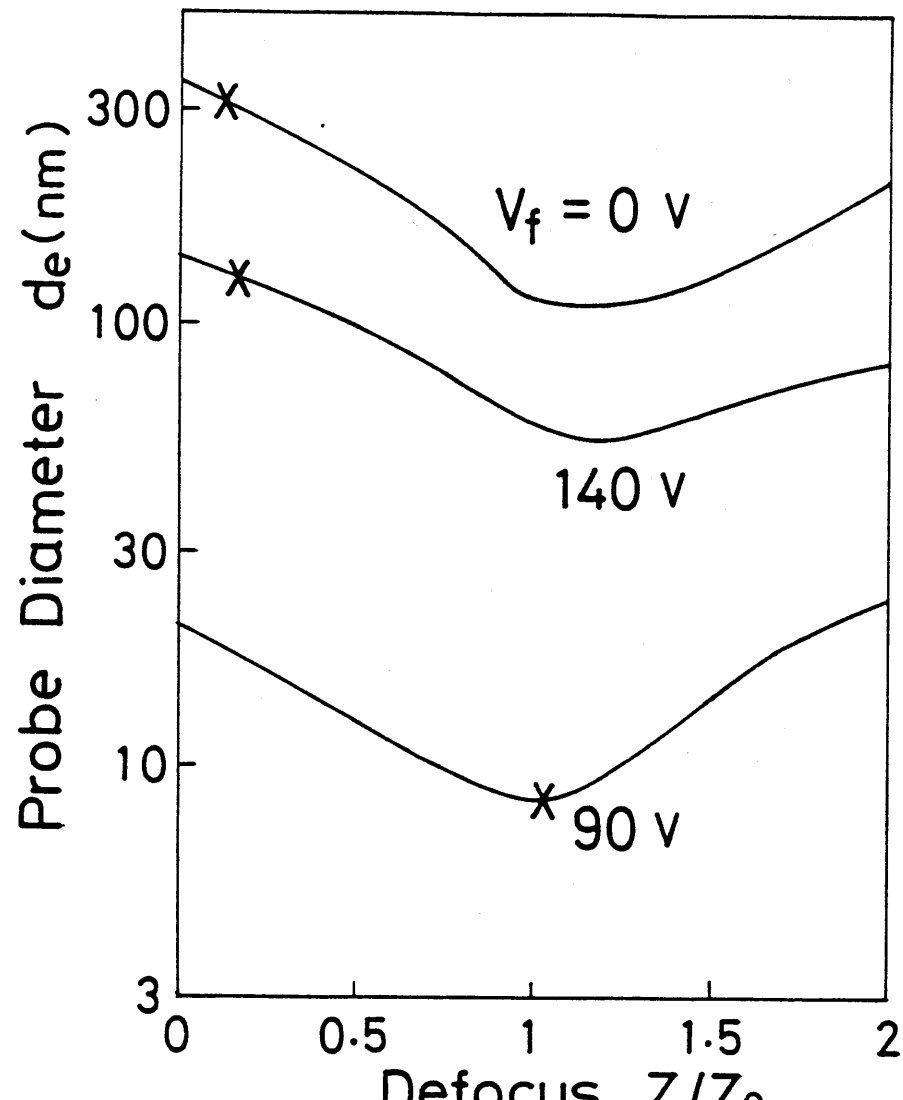


図 5-3 図 5-1 の系における 3 次 (C_{S3}) と 5 次 (C_{S5}) の球面収差係数の薄膜レンズ電圧 (V_f) に対する変化

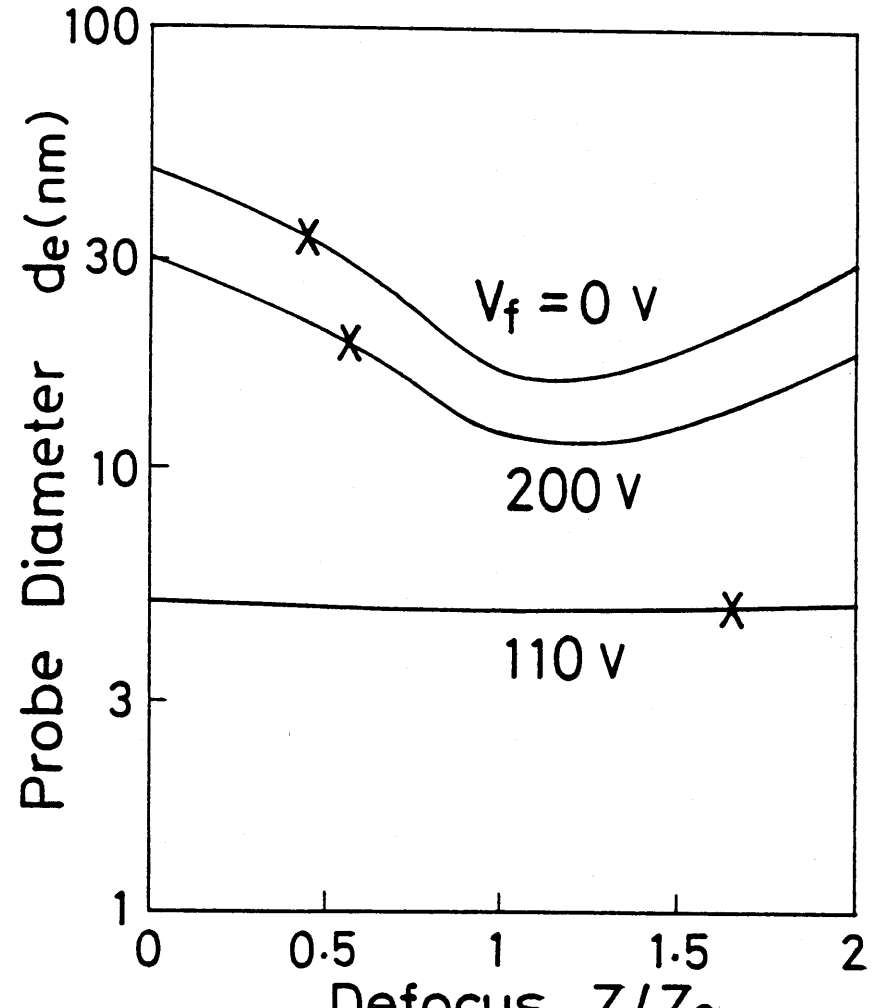
変化に対して十分小さいので、これら副次的要因は $\pm 3\%$ 以下の径の変化は無視してよい。

計算によって得られた $T=3$ 次と 5 次の球面収差係数を用いて、 γ -径を計算した。薄膜レンズの物面位置での電子源の像の電子流密度分布は、§4-4 のヘアピンカーリードを用いて行い、 $T=3$ 実駆から、試料面に換算して半価幅が 4.4 nm のガウス分布とした。典型的な薄膜レンズ電圧において計算して、 γ -径の焦點からレシヤーに対する変化を図 5-4 に示す。横軸は図 4-13 と同様、点電子源を収差の小さなレンズで結像したとき、軸上電子流密度が最大となる焦點からレシヤーに対する規格化してある。図 5-4(a) は γ -収束角 50 mrad 、(b) は 26 mrad のときの結果である。いずれの場合にも、 γ -径は $Z = Z_0 \sim 1.2 Z_0$ の範囲で最小となることが分かる。図の X 軸は、 γ -径の軸上電子流密度が最大となる焦點からレシヤーとのときの γ -径を示している。§4-4 で指摘したように、未補正 ($V_f = 0 \text{ V}$) と過補正 ((a) で $V_f = 140 \text{ V}$ 、(b) で $V_f = 200 \text{ V}$) の場合には $|Z_p| < |Z_0|$ の関係が見られるが、補正時に両者がほぼ一致している。(b) で $V_f = 110 \text{ V}$ のときは、 Z_p と Z_0 の差が大きいように見えるが、これは球面収差が非常に小さいため、(4-18) 式より Z_0 が小さく、実質的に横軸が大きく拡大されているからである。このときの γ -径の変化が少なくて見えるのも同じ理由による。

各々の薄膜レンズ電圧において、焦點からレシヤーを変えて得ら



(a) $\alpha = 50 \text{ mrad}$



(b) $\alpha = 26 \text{ mrad}$

図 5-4 プローブ径の焦点ずらし量に対する変化

×印は軸上電子流密度が最大となる焦点ずらし量とそのときのプローブ径を示す。

れる最小のプローブ径の計算値と、薄膜レンズ電圧に対してプロットすると、図5-2の曲線が得られる。プローブ径の薄膜レンズに対する変化の様子は、実験と計算でよく一致しており、プローブ径の減少が、薄膜レンズによる球面収差補正の効果として説明できる。

このように、薄膜レンズにおけるプローブ径の減少が実証できだが、ここで得られた結果から、次のようすを検討すべき新しい問題が生ずる。

(1) 最小のプローブ径を与える最適な薄膜レンズ電圧付近で、プローブ径の測定値が計算値と比べて大きい。

(2) 薄膜レンズの特性をさらに改善する場合、ガラス径の影響が無視できない。

(1)の問題をより明確にするため、図5-2からこれぞのプローブ収束角における最小のプローブ径の測定値と計算値を求め、表5-1に示す。(4-11)式よりプローブのガラス径は4.8nmであるから、 $\alpha = 26 \text{ mrad}$ のときの計算結果は、球面収差が

表5-1 球面収差補正により得られた最小のプローブ径の測定値と計算値の比較

プローブ 収束角 (mrad)	測定値 (nm)	計算値 (nm)
50	24	6.2
26	6.4	4.8

ウス径に対して十分小さい値に抑えられることを意味している。一方測定値は 6.4 nm であり、 $\pm 10\%$ の測定誤差を考慮しても、測定値は計算値より大きい。また $\alpha = 50 \text{ mrad}$ のときには、計算値 6.2 nm に対して測定値は 24 nm であり、測定値と計算値との差は $70^\circ - 7^\circ$ 収束角とともに急激に増大することが分る。さらに図 5-2 から、測定値は薄膜レンズ電圧の増大に伴ってはじめ減少するが、ある程度まで減少して後には、再び増大が始まると電圧まではほとんど一定であることが分る。したがって、薄膜レンズ電圧にはあまり依存せず、 $70^\circ - 7^\circ$ 収束角とともに増大する何らかの要因により、実験的に得られた $70^\circ - 7^\circ$ 径が制限されていると考えられる。

この要因として第 1 に挙げられるのは、薄膜レンズの工作精度や軸位置の不十分等の機械的欠陥に起因する収差である。薄膜レンズの組み立ては手作業で行っているが、このような研究室レベルの工作では十分な精度を出すことは難しく、特に円孔平板電極と薄膜とを平行に維持するには困難である。したがって、本実験で用いた薄膜レンズの機械的軸非対称性はかなり大きいと考えられ、これによって生ずる収差が $70^\circ - 7^\circ$ 径を決める可能性がある。このことを実験的に検討するためには、薄膜レンズ動作時の機械的欠陥による収差を測定する必要があるが、微小な $70^\circ - 7^\circ$ 中に含まれるこのような収差を測定する方法はこれまで報告されていない。そこで、次節において、 $70^\circ - 7^\circ$ フォーミングレンズ系の機械的欠陥による収差を測定す

る新しい手法を提案し、その後に続く節で、この手法を用いて球面収差補正後に残る収差の解析を行う。

(2) の問題点は、本実験で用いた薄膜レンズの性能をさらに向上させようとするときに重要なところ。表5-1から分るように、本実験の $\alpha = 26 \text{ mrad}$ の場合に1次補正によって得られる $f=70 \text{ mm}$ - ドーム径とガウス径 (4.8 nm)との差はわずかである。 $\S 3-3$ で議論したように、薄膜レンズ寸法を工夫することにより、薄膜レンズの球面収差補正特性をさらに改善することができるが、このとき得られる $f=70 \text{ mm}$ - ドーム径は、ヘアピンカーラードを用いたときのガウス径以下になることが考えられる。 $\S 5-5$ において、実際に薄膜レンズ寸法の効果を実験的に検討するが、その際には、より小さなガウス径が実現できるホールピントカーラードを用いる必要があることを、この結果は意味している。

$\S 5-4$ 陰影像を用いた収差の解析

本節では、 $f=70 \text{ mm}$ - ドーム径の測定結果の定量的評価に必要な軸上収差の測定法について述べる。ここでいう軸上収差とは、光軸上の物点を結像する際の歪曲するレンズの収差であり、一般に幾何収差と色収差の両元を含む用語として用いられるが、本研究では色収差を取り扱わないのが、軸上幾何収差を単に軸上収差と呼ぶことにする。前節および次節の $f=70 \text{ mm}$ - ドーム径の測定における高倍率の STEM 像を用いており、 $f=70 \text{ mm}$ の偏向量は小さいので軸外収差は無視でき、軸上収差のみを考えれば十分

である。

これまでの議論では回転対称系を仮定し、したがって軸上収差としては、球面収差と焦点ずらしだけを考えていた。本節では、工作精度の不十分さや各レンズ間の軸のずれなどの機械的欠陥による収差の70ローブ径への影響を調べるために、軸非対称系における収差を取り扱う。通常の回転対称レンズの収差と同様に、軸上収差をべき級数に展開し、依次の項のみを考える。そのためには、§4-2で表面収差の導出に用いた、ガウス像面と光軸との交点を原点とする極座標 (r, θ, φ) で射出絞り面を $r = r_0$ にとり、この面内での座標を複素表示により

$$w = \theta e^{i\varphi} \quad (5-1)$$

と書く。物面の軸上の点を出发し、射出絞り面にかけて任意の点 (θ, φ) を通過した電子線の、試料面に下げる複素表示座標

$$u = r_i e^{i\varphi_i} \quad (5-2)$$

として軸上収差を定義すれば、(5-2)式のようにならべて複表数 \bar{w} のべき級数に展開できる。⁶⁾

$$\begin{aligned} u &= A_0 + z w + A_1 \bar{w} + A_2 \bar{w}^2 + \frac{2}{3} B_2 w \bar{w} + \frac{1}{3} \bar{B}_2 w^2 + A_3 \bar{w}^3 \\ &\quad + \frac{3}{4} B_3 w \bar{w}^2 + \frac{1}{4} \bar{B}_3 w^3 + C_{S3} w^2 \bar{w} + \dots \end{aligned} \quad (5-3)$$

ここで、 A_0, A_1, B_1, \dots は複素定数である。この式の中で z と C_{S3} は回転対称レンズにおいても生ずる軸上収差であり、それぞれ焦点ずらし量と3次の球面収差である。 A_0 は像点横移動量で、単に試料面内での像点位置の移動を表わし、像のまわりのまわり動きの無視である。また、 A_1 は2回対称軸上非収差

であり、 θ について1次の項であるので、通常用い3次以下の
 ローバー収束角においても容易に現われ、そのため通常の収差
 を単に非点収差とよぶことが多い。一般には α 収差の大半の
 表現は、非点収差 $\Delta f_a = 2|A_1|$ を用いるのが普通であるので、
 ここでその慣例に従う。いま、回転対称からのずれは小さく
 と仮定し、回転対称の収差を w 、 \bar{w} について3次の項まで假定す
 るに對し、非回転対称の収差は2次の項まで打ち切ることに
 すれば、(5-3)式は次のようにな書き直される。

$$u = zw + \frac{1}{2} \Delta f_a \bar{w} + A_2 \bar{w}^2 + \frac{2}{3} B_2 w \bar{w} \\ + \frac{1}{3} \bar{B}_2 w^2 + C_{S3} w^2 \bar{w} \quad (5-4)$$

$T_1 = T_2$ とし、 w の偏角 φ の基準は任意であるので、便宜的に2回
 対称非点収差係数 A_1 の偏角が零とするよとし、 $T_1 = T_2$ 。

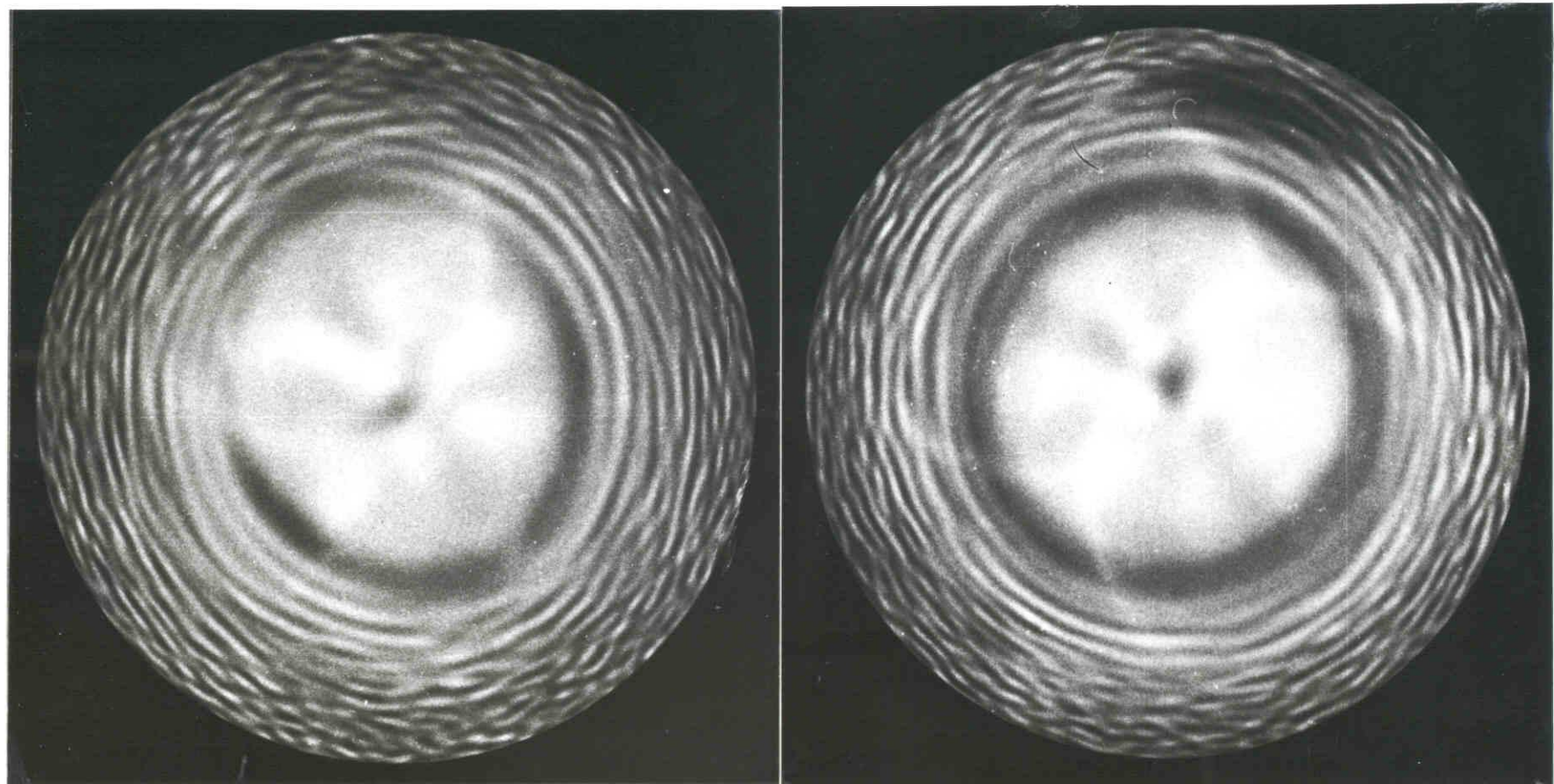
(5-4)式の A_2 と B_2 はそれぞれ3回転対称非点収差係数および
 軸上2次収差係数であり、2次の軸上収差はこの二つである。
 商用の電子レンズでは、通常用いられる 10 mrad 以下のローバー
 収束角において2次収差が無視できる程度の、十分な工作精度
 が実現されている。しかし、球面収差補正により大半の角度
 の電子線まで使おうとする場合には、2次収差が無視できなくなる
 ことは明白である。また、薄膜レンズの組み立ては研究室における
 手作業を行っており、高い工作精度の達成は困難である。したがって、補正実験で得られる 7° ローバー径の定量的評価のため
 には、 7° ローバー径に対する2次収差の影響を考慮する必要がある。
 しかししながら、これまで2次収差を含めて 7° ローバー -

ミングレンズ系の軸上収差を測定する方法は報告されていない。

一方、球面収差の測定に陰影像を用いることは古くから行われている。ここでは陰影像とは、電子線による試料の投影像であり、試料に電子ビームを照射し、試料後方の十分離れた位置に蛍光板あるいは写真フィルム等を置くことによって容易に観察できる。Sakakiら⁷⁾は、格子状の試料の陰影像における光軸からの距離による倍率の変化から、球面収差が測定できることを示している。しかし、格子の細かいものは限界があり、この方法では小工具収差を精度よく測定することはできない。さらに、球面収差以外に種々の対称性をもつ軸非対称収差が存在するときは格子の陰影像は複雑な形状となるので、そのような収差の測定には適してない。

最近 Cowley⁸⁾は、細かい粒子状の試料の陰影像に生ずるリニグ状の模様を利用して、 7° ローラフオーミングレンズの2回対称軸上非点収差の有無を検出することを提案している。図5-5は、白金-パラジウム粒子の陰影像の中に現われたリニグの例を示している。この下の陰影像は、 7° ローラフオーミングレンズを試料からわざわざに焦点からしすることによって得られ、半径方向に激しく倍率の変化した陰影像の中に、2回対称非点収差の有無に応じて、それぞれ(a)のような階円形の、あるいは(b)のような真正円のリニグが現われる。

このようなリニグの生ずる理由は、簡単な幾何光学によつて説明することができる。 7° ローラフオーミングレンズの球面収



(a) 未補正 (b) 補正後

図5-5 白金パラジウム粒子の陰影像に現われた
リニグ状の模様

差のためには、レンズの外縁部を通過する電子線は図5-6に示すよう
にガウス像面 G とは異なり、たとえばP点が光軸と交わる。この
とき陰影像の倍率 MS は、P点と観察面との距離 L_p をP点と試
料面Sとの距離 l_p で割った値として与えられる。角度の異なり
電子線に対して l_p の値は異なり、特にちFラビ試料上で光軸を
切って電子線に対しては $l_p = 0$ であるから MS は無限大となり、
その前後では MS は急激に変化する。このとき、 $l_p = 0$ の電子線
によって試料の軸上の一地点が観察面上にリニア状に投影され、
軸上の粒子の有無によってそれより暗または明るいシグが形成
される。このリニアを倍率無限大リニアと称する。

いま、 γ ローラーミングレンズに2回対称軸上非点収差
がある、すなわち図5-7のように互に直角 α_x と α_y の2方向
で、ガウス像面 G_x と G_y が $\Delta\alpha$ だけ互いにずれているとする。
ここで $\Delta\alpha$ は非点収差である。3次元表面収差を考慮すれば、
試料上で軸と交わる電子線の角度は、その2乗に3次の表面収
差係数をかけた値が試料面とガウス像面の距離に依るようになる。
したがってこの角度は x - z 像面内と y - z 面内で異なる
ので、それぞれを θ_x 、 θ_y とする。試料面と観察面との距離を L
とすれば、観察面で倍率無限大リニアが x および y 軸を切る点
の座標は、

$$x = L_0 \theta_x, \quad y = L_0 \theta_y \quad (5-5)$$

となり、陰影像は x 、 y 軸をそれぞれ短、長軸として橢円形と
なる。

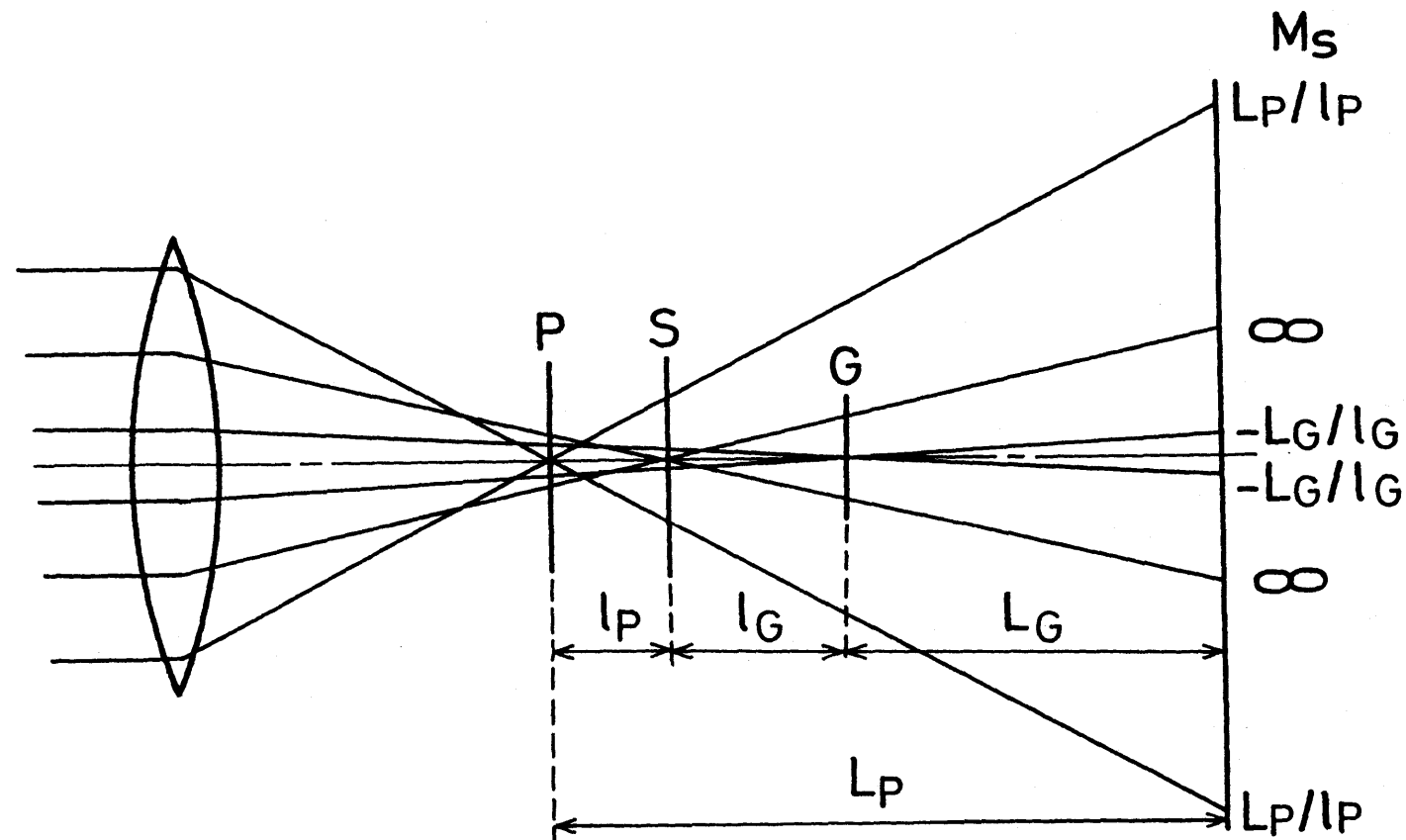


図 5-6 倍率無限大リニアの生ずる理由の幾何光学的説明

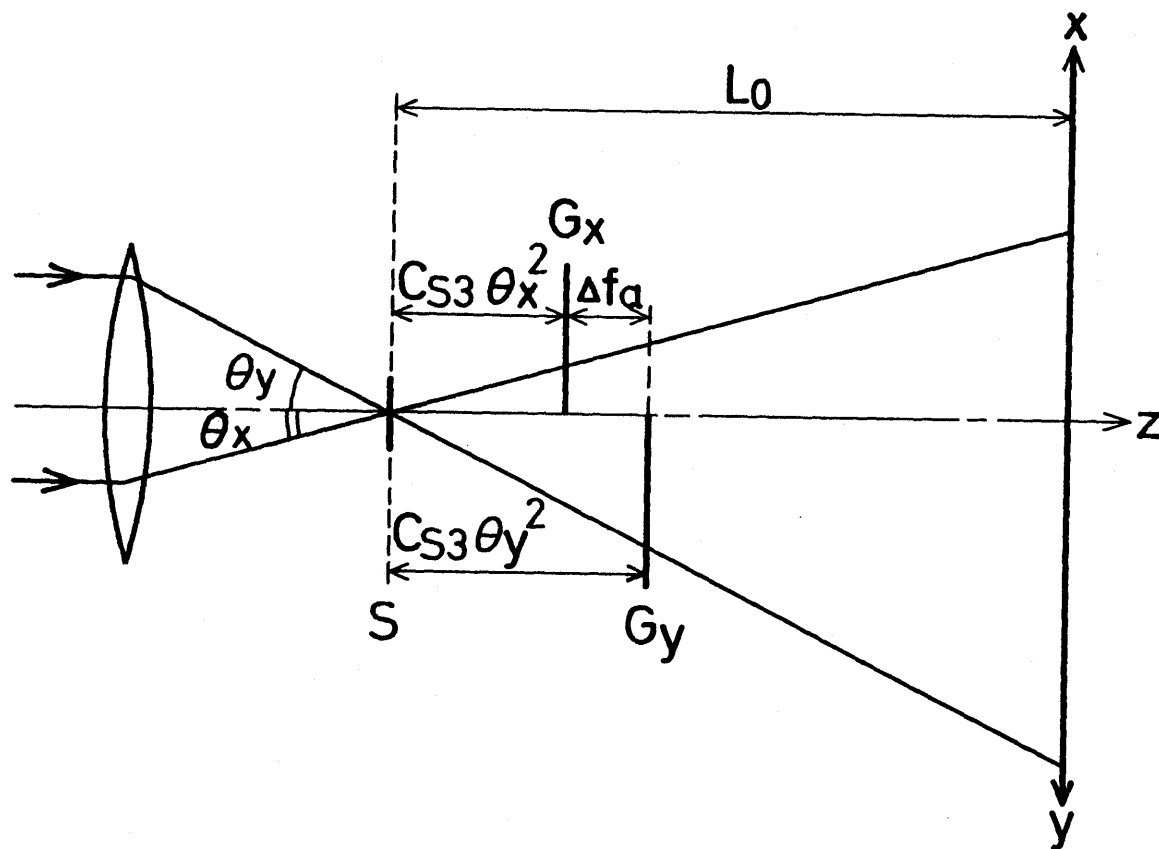


図 5-7 2回対称軸上非点収差と倍率無限大リニア化との関係

互いに垂直な面内での電子軌道を同一平面内に表示して図である。

Cowley は、以上述べた「アーリング」の生成理由の説明、およびこのアーリングを利用して ± 2 回対称軸上非点収差の補正を行つてゐるのみで、アーリングを利用して収差の測定についても言及してゐない。しかし上記の議論から、楕円形のアーリングの短軸と長軸の長さと、すなわち試料面と観察面との距離 L_0 、3次の球面収差係数 C_{S3} を知れば、非点収差が

$$\Delta f_a = C_{S3} (\theta y^2 - \theta x^2) = C_{S3} (y^2 - x^2) / L_0^2 \quad (5-6)$$

によつて求められることが明らかである。

以上、陰影像における倍率無限大のアーリングの生成と、これを利用して ± 2 回対称軸上非点収差の測定法について述べて玉した。著者らはこの収差測定法の測定精度を検討し、⁹⁾ 本研究で用いた装置で得られる 2nm の 70° ロード径よりはかに小さいが、したがつて 70° ロード径に全く影響を与えないよう十分収差まで測定できるという高い精度が得られることを示して玉。さらに、この方法を用いたとき、試料後方の大レンズの収差の影響をほとんど受けず、 70° ロードオーミングレンズ系の収差だけが精度よく測定されることも見出した。しかし、それらの証明は本論の主題から外れるのでここでは省略し、陰影像を用いた収差測定の有用性を指摘するにとどめ、本論文に関係する2次の軸上収差の測定についての叙述である。

倍率無限大のアーリングを利用するることにより、 ± 2 回対称軸上非点収差だけではなく2次の軸上収差も測定可能である。2次の軸上収差は(5-4)式に示したうに3回対称軸上非点収差と

軸上ユラ収差があるか、また3回対称軸上非点収差だけがある場合について考える。2回対称軸上非点収差は非点補正器を用いて補正せざるを得ない。このとき、(5-4)式は次のようになります。

$$U = Z \omega + A_2 \bar{W}^2 + C_{S3} \omega^2 \bar{W} \quad (5-7)$$

3回対称軸上非点収差係数 A_2 は複素数であるので、これを

$$A_2 = |A_2| e^{i\alpha_2} \quad (5-8)$$

とおき、これと (5-1) 式を (5-7) 式に代入すれば

$$U = Z \theta e^{i\varphi} + |A_2| \theta^2 e^{i(\alpha_2 - 2\varphi)} + C_{S3} \theta^3 e^{i\varphi} \quad (5-9)$$

となります。 A_2 および C_{S3} はレンズに固有の値であるが、焦点ずらし量 θ は任意にとることができる。 (5-9) 式である (θ, φ) に対する U を適当に選ぶことにより $U = 0$ となることができるならば、このときこの (θ, φ) に対応する電子線は倍率無限大のノードに寄与する。 (5-9) から容易に分るように、ある特別な φ の場合を除いて $U = 0$ は成立しないが、 $|A_2|$ が小さければ、適当なこの値に対して $|U|$ は試料の粒子程度に限り得る。したがって、ある方位角 φ の電子線群の中で試料面上で最も軸の近くを通る電子線が、 φ とえ正確に $U = 0$ を満たすとしてもノードに寄与すると考えてよい。すなはち

$$\frac{\partial |U|^2}{\partial \theta} = 0 \quad (5-10)$$

が、ある電子線がノードと形成するための必要条件となる。

(5-9) 式を (5-10) 式に代入し、 $|A_2| \theta \ll Z$, $C_{S3} \theta^2$ を考慮す

れば

$$Z + |A_2| \theta \cos(3\varphi - \alpha_2) + C_{S3} \theta^2 = 0 \quad (5-11)$$

が得られる。

さて、陰影像の観察面における電子線の光軸からの距離 Z に比例するので、 θ と φ をそれぞれ軌跡と偏角として T を極座標で(5-11)式の軌跡を書いては、それが観察面上に生ずる倍率無限大のリニア化を表す。 $T=100\text{ nm}$ 、 $|A_2|=2\text{ mm}$ 、 $C_{S3}=1\text{ mm}$ 、 $\alpha_2=0$ のときには図5-8(a)のようになり γ が得られる。この γ から、次のようにして収差係数を求めることができる。二つの異なる T を焦点からし量 Z か Z' で陰影像とし、それぞれの陰影像における γ とくる電子線が試料面で軸に対する角度の最小値を θ_{\min} と θ'_{\min} 、最大値を θ_{\max} と θ'_{\max} とする。このとき(5-11)式より

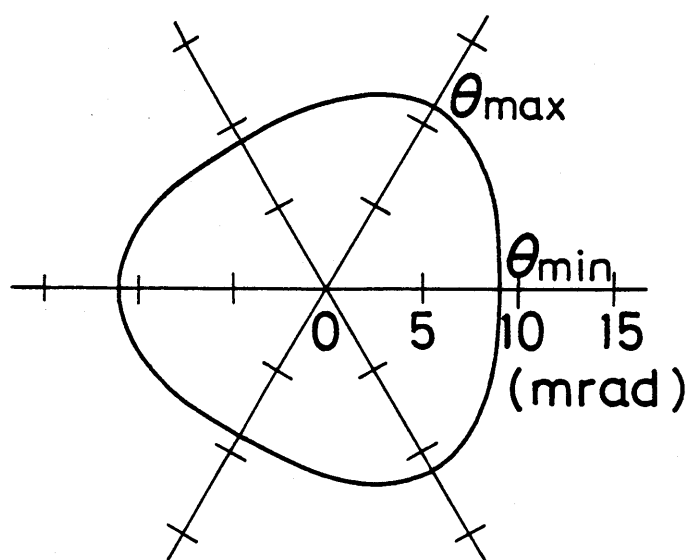
$$C_{S3} = \frac{\Delta Z}{\theta_{\min} + \theta'_{\min} + \theta_{\max} + \theta'_{\max}} \left(\frac{1}{\theta_{\min} - \theta'_{\min}} + \frac{1}{\theta_{\max} - \theta'_{\max}} \right) \quad (5-12)$$

$$|A_2| = |C_{S3} (\theta_{\max} - \theta_{\min})| \quad (5-13)$$

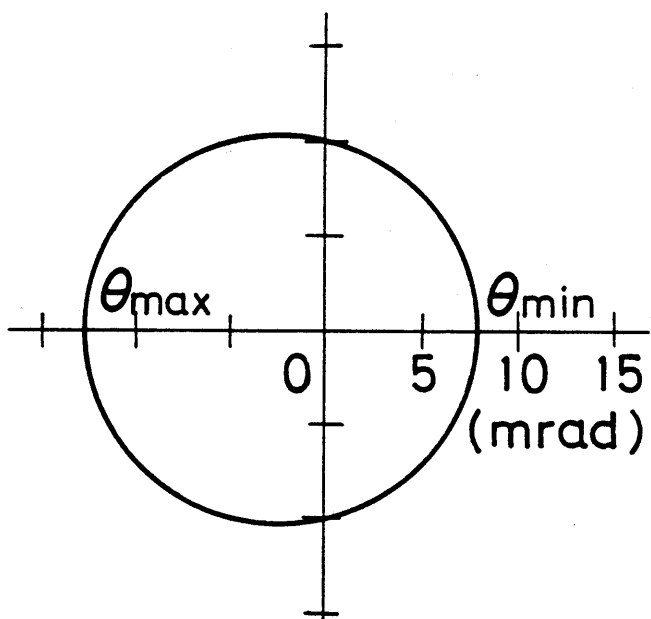
が導かれる。ここで ΔZ は2枚の陰影像における Z - Z' アーミングレンズの焦点からし量の差

$$\Delta Z = Z - Z' \quad (5-14)$$

である。一般に焦点からし量の絶対値を求めることが困難であ



(a)



(b)

図 5-8 倍率無限大リングの計算例

(a) 3回対称軸上非点収差 ($z = -100 \text{ nm}$, $|A_2| = 2 \mu\text{m}$, $C_{S3} = 1 \text{ mm}$) の場合 (b) 軸上コマ収差 ($z = -100 \text{ nm}$, $|B_2| = 5 \mu\text{m}$, $C_{S3} = 1 \text{ mm}$) の場合

るが、2枚の連続した像の間の焦点ずらし量の差は、レンズ電流の変化から容易に求められるので、リングから θ_{\min} 、 θ_{\max} 等を測定すれば $|A_2|$ の値が直ちに求められる。

次に軸上コマ収差がある場合に付、その収差係数を

$$B_2 = |B_2| e^{i\beta_2} \quad (5-15)$$

とすれば、(5-11)式を導いたと同様にして

$$Z + |B_2| \theta \cos(\varphi - \beta_2) + C_{S3} \theta^2 = 0 \quad (5-16)$$

が得られ、 T_2 とえれば図 5-8(b) のようになり $= \gamma$ と T_2 と。すなはち、3 回対称軸上非点収差の場合と同じようには θ_{\min} 、 θ_{\max} 等を定義すれば、 C_{S3} は全く同様に(5-12)式で与えられ、軸上コマ収差係数も(5-13)と同じ形

$$|B_2| = |C_{S3} (\theta_{\max} - \theta_{\min})| \quad (5-17)$$

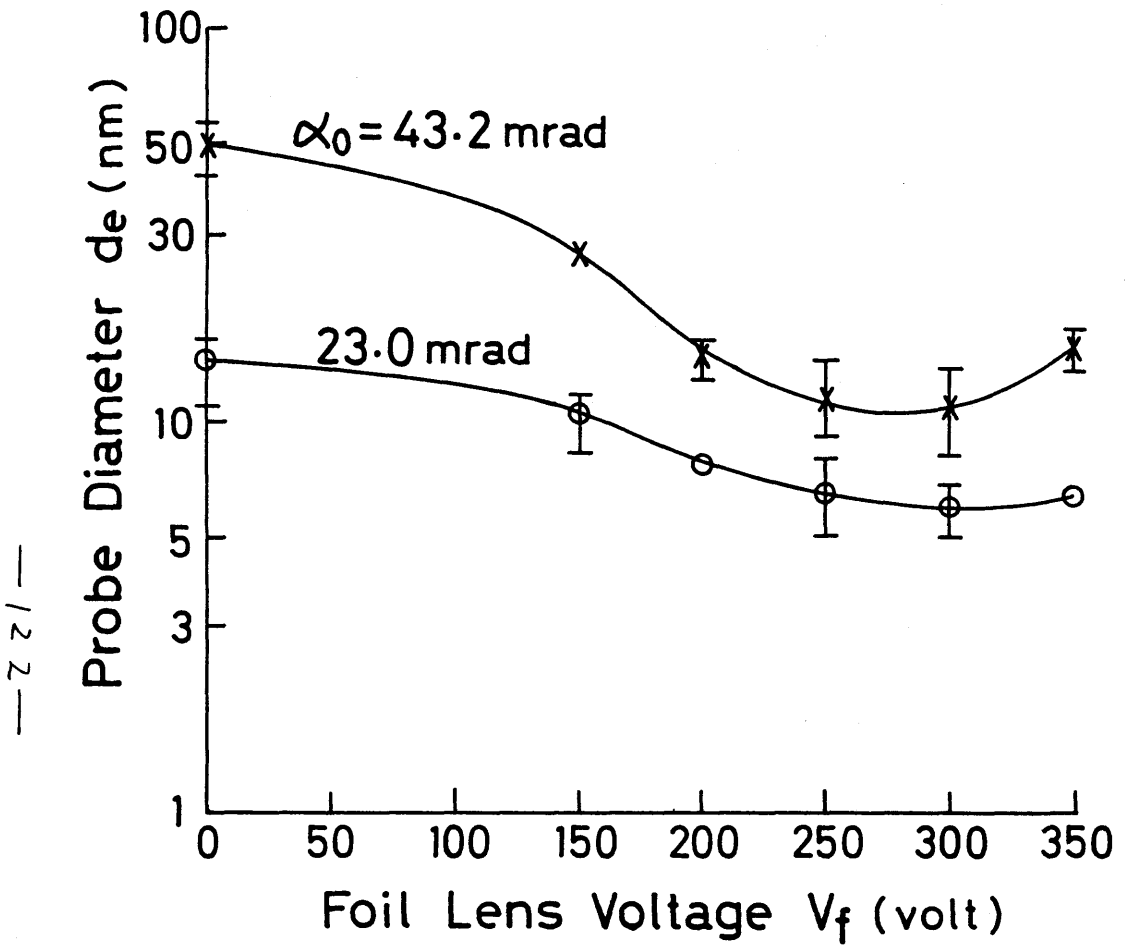
によって求められる。2回対称および3回対称軸上非点収差と軸上コマ収差が混在するときには、これらの収差係数を同時に定めるのは困難であり、どの収差が支配的であるかを前もってリニアの形状から判断しておく必要がある。

以上述べておいたように、陰影像中に生ずる倍率無限大のリングを利用して 2 次までの軸上収差および 3 次の球面収差係数を求める方法が確立された。7°ローリングオーミングレンズ系の種々の収差を測定できるこのようす効果的な方法はこれまで報告されてから薄膜レンズだけではなく、一般の電子レンズの性能の評価にもこの方法が有用であると考えられる。

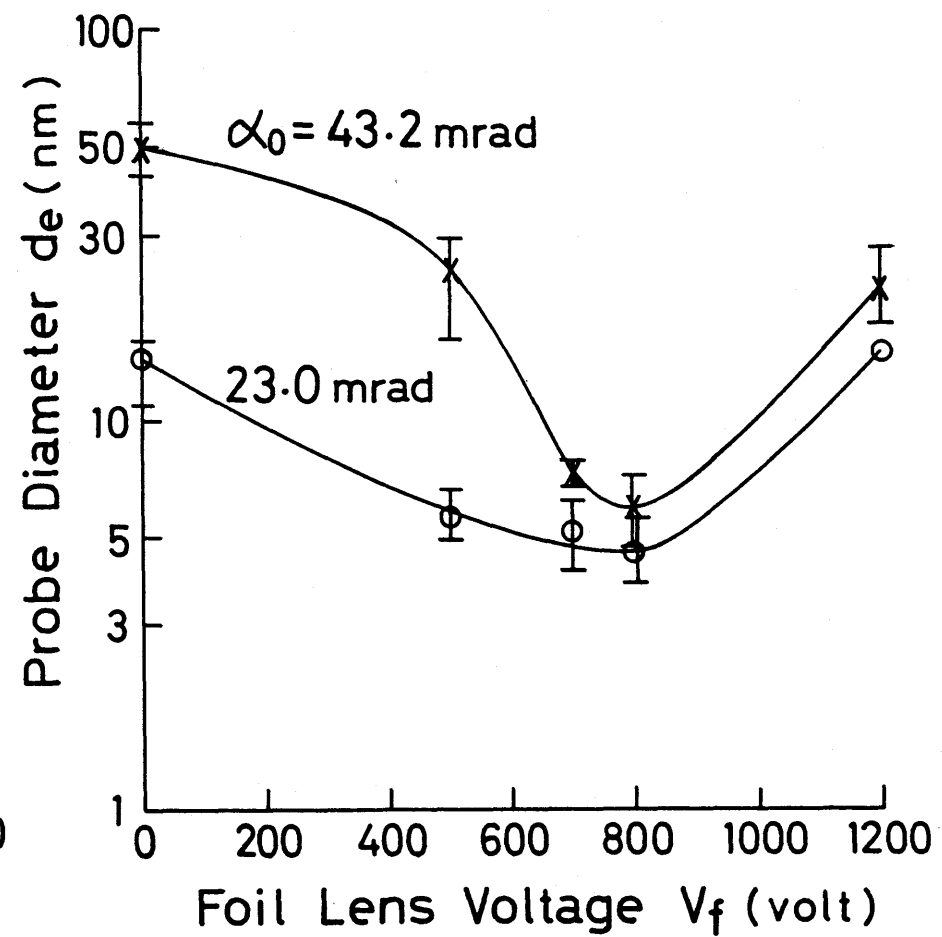
§ 5-5 薄膜レンズ寸法の効果¹⁰⁾

§ 5-3 では、特性が既知であるよう¹⁰⁾薄膜レンズ寸法を選んで予備実験を行ったが、§ 3-3 の球面収差補正特性の計算結果によれば、薄膜と円孔平板電極との距離を大きくするのが有利である。さらに § 5-3 で議論したように、補正によって得られる最小の γ ロード径の測定値と計算値との不一致が、薄膜レンズ寸法を大きくすることにより工作精度の影響を軽減されれば、より小さな γ ロード径が得られると考えられる。したがって、薄膜レンズ寸法による γ ロード径の変化を調べ、さらにその変化の原因を明らかにすることが重要である。そこで、実験には 2 種類の異¹⁰⁾寸法寸法の薄膜レンズを用い、 γ ロード径の測定を行ふと同時に陰影像を用いて補正後に残る収差の解析を行った。また、§ 5-3 の実験においては、ヘアピニカリードを用いて γ ロード径のガウス径が 4.8 nm と大きく、その影響が黒視で互たかう。そこで本節では、ヘアピニカリードの半分程度の小さな電源から得られるポイントカリードを用いて実験を行った。

実験装置の構成および実験方法は § 5-2 に述べた通りである。加速電圧は 100 kV とし、 γ ロード収束角は 43.2 mrad と 23.0 mrad とした。薄膜レンズ寸法は、(a) $2R = 0.5 \text{ mm}$ 、 $d = 0.025 \text{ mm}$ 、 $t = 0.055 \text{ mm}$ および (b) $2R = 0.5 \text{ mm}$ 、 $d = 0.120 \text{ mm}$ 、 $t = 0.125 \text{ mm}$ の 2 通りで行った。測定は γ ロード径の



(a) $d = 0.025$ mm $t = 0.055$ mm



(b) $d = 0.120$ mm $t = 0.125$ mm

図 5-9 プローブ径の薄膜レンズ電圧に対する変化

薄膜レンズ電圧に対する変化を図5-9に示す。(a)の手法の場合、プローブ径の変化の様子はヘアピンカソードを用いたときの結果とよく似ており、ポイントカソードを用いたことによるガウス径の減少の効果は現われていない。一方(b)の場合には、最適な薄膜レンズ電圧付近でのプローブ径の減少が(a)の場合より急激であり、特にみが大きくなるにそれが顕著である。

実験結果の評価のために、第4章で述べたようにプローブ径の計算を行い、かのうの薄膜レンズ手法よりプローブ収束角において得られる最小のプローブ径を求めた。その結果を、測定した最小のプローブ径と共に表5-2に示す。計算の際、

表5-2 薄膜レンズを用いて得られる最小のプローブ径の測定値と計算値との比較

(a)においては、3回対称軸上非点収差の測定結果も示した。

プローブ 収束角 (mrad)	最適な薄膜 レンズ電圧 の計算値 (V)	球面収差係数 の計算値		プローブ径		3回対称 軸上 非点収差 (nm)
		3次 (mm)	5次 (mm)	測定値 (nm)	計算値 (nm)	
23.0	200	0.27	-370	6.0	2.4	2.6
43.2	180	0.51	-340	11.0	5.2	9.3

$$(a) d = 0.025 \text{ mm} \\ t = 0.055 \text{ mm}$$

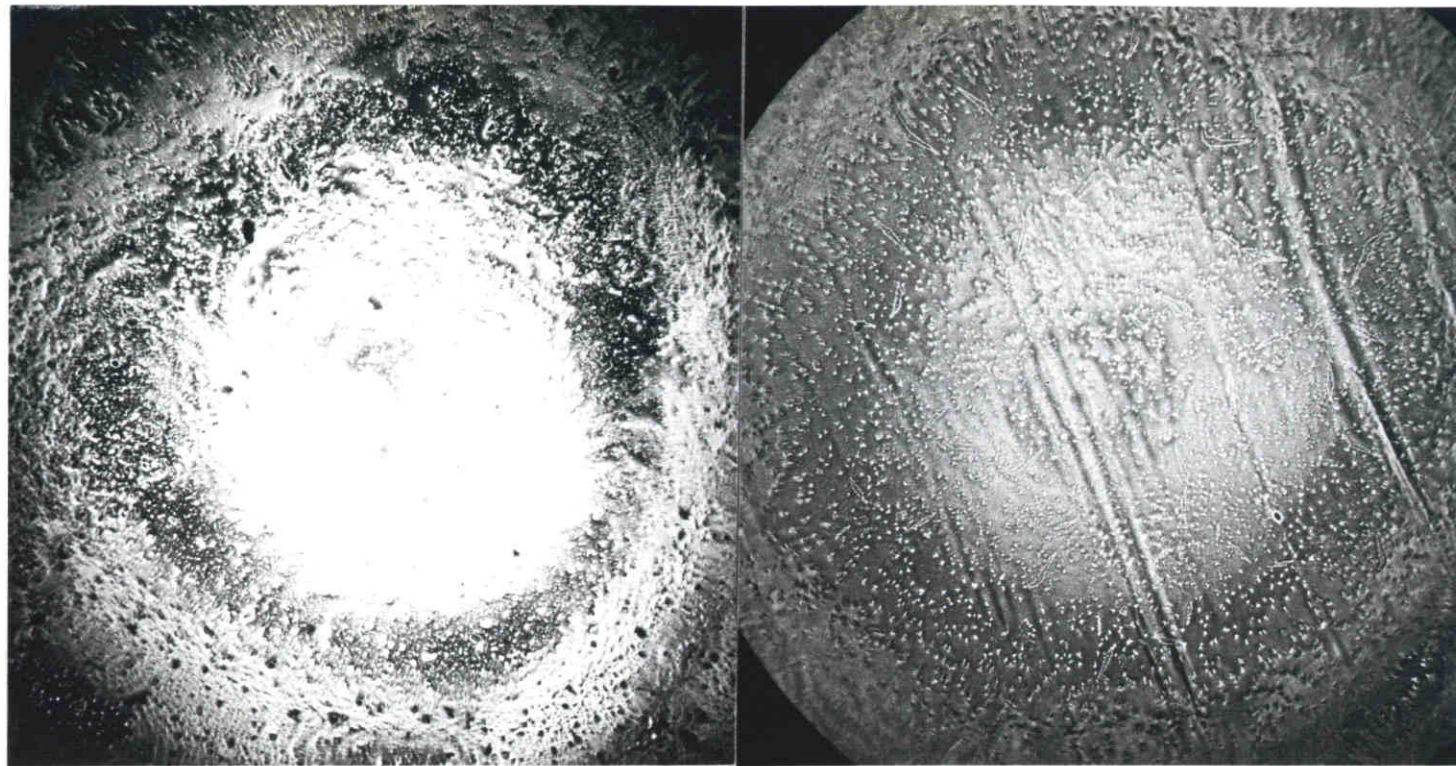
プローブ 収束角 (mrad)	最適な薄膜 レンズ電圧 の計算値 (V)	球面収差係数 の計算値		プローブ径		
		3次 (mm)	5次 (mm)	測定値 (nm)	計算値 (nm)	
23.0	450	0.01	-101	4.6	2.4	
43.2	420	0.16	-95	5.9	2.9	

$$(b) d = 0.120 \text{ mm} \\ t = 0.125 \text{ mm}$$

電子源の電子流密度分布は §4-4 のポイントカーラードに対する測定結果から、試料面に換算した半価幅が 2.2 nm のガウス分布としている。このときのガウス径は (4-11) 式より 2.4 nm である。 $\alpha = 23.0 \text{ mrad}$ のときの計算値は、どちらの薄膜レンズ寸法においてもガウス径に一致し、球面収差とガウス径に比べて無視できる大きさにまで補正できることを示している。一方、 $\alpha = 43.2 \text{ mrad}$ のときには、(a) の寸法の場合の計算値 5.2 nm に対して (b) の寸法のときには 2.9 nm と小さい。これは、5 次の球面収差の補正後に残る 5 次の球面収差が d を大きくする方向へ減りしてしまっている。

一方測定結果は、どちらの γ -ローバー収束角においても (b) の寸法の場合により小さな γ -ローバーが得られることを示している。しかし、測定値はいずれも計算値より大きくになっており、(a) の場合の α がその違いの大半である。特に (a) で α が大きいときは、 γ -ローバー径がかなり大半の値に制限されている。この (a) と (b) で得られる γ -ローバー径の大きな差は、5 次の球面収差だけでは説明できない。そこで、前節で述べた陰影像による収差解析法により薄膜レンズ動作時の 2 次の軸上収差の測定を行い、機械的欠陥に起因する軸非対称収差の大半を調べた。

γ -ローバー - ミニグレンズ系の動作状態は γ -ローバー径測定の際と同じに保ち、試料後方のレンズを用いて、透過電子検出器のかかえ上に置いた写真フィルム上に陰影像を拡大して図 5-10 に得られた陰影像の一例を示す。試料は金粒子である。



(a) $d = 0.025 \text{ mm}$
 $t = 0.055 \text{ mm}$

(b) $d = 0.120 \text{ mm}$
 $t = 0.125 \text{ mm}$

図 5-10 薄膜レンズ動作時に陰影像に現われる
倍率無限大の像の例

非点補正器を用いて2回対称軸上非点収差を補正した後の像であるが、リングは真円とならず、機械的欠陥による収差の存在を示す軸非対称性が現われている。(a)の方法の場合には明らかに3回対称性が見られる。一方(b)の場合にはリングの軸非対称性が改善され、機械的欠陥による収差が減少していることが分かる。

(a)の方法に対する陰影像の場合のようにリングの対称性が明らかでない場合は、容易に収差係数を測定することはできない。しかし、このリングは 70° ローバルミンジングレンズの球面収差が原因となって生ずるのであるから、 $C_{S3}=0$ となる薄膜レンズ電圧付近ではリングは生じず、測定は不可能である。そこで、最小の 70° ローバルの径を与える最適な薄膜レンズ電圧の前後で測定を行い、この結果から最適な薄膜レンズ電圧での収差係数を値を推測して。図5-10から分るように、(a)の方法のときのリング形状は3回対称非点収差が支配的であることを示しているので、(5-12)式と(5-13)式からこの収差係数の大きさ $|A_2|$ を求めた。この結果、薄膜レンズ電圧 $V_f = 150 V$ で $|A_2| = 3.9 \mu m$ 、 $V_f = 400 V$ で $|A_2| = 5.8 \mu m$ が得られた。これらの値から、内側に F で最適な $V_f = 300 V$ における $|A_2|$ を求めると、 $|A_2| = 5.0 \mu m$ となる。これより、試料面における3回対称軸上非点収差 δr_2 を

$$\delta r_2 = |A_2| \alpha^2 \quad (5-18)$$

によって求めると、表5-2(a)の右端の列に示してあるように

る。 $\alpha = 43.2 \text{ mrad}$ の場合にいは、 70°ローバー 径の測定値とニニで求めた $T=2$ 次の軸上収差の値とがかなりよく一致してゐる。この場合 2 次の軸上収差が重要な影響をもたらしてゐると考えられる。

(b) の寸法のととのりングは特定の対称性をもつていて収差の同定は困難であるが、リングの軸対称性のよいことから機械的欠陥による収差は小さいことが明らかであり、このことから実験的に得られる 70°ローバー 径の減少の理由であると考えられる。

このように、薄膜レンズ寸法のうちの d 以下の $T=2$ 次の軸上収差は、 $T=2$ 次に由り小さく 70°ローバー 径が得られることが示され、その原因としては、 5 次の球面収差の減少よりも、むしろ工作精度の影響の軽減による 2 次の軸上収差の減少の効果が重要であることが分った。

残された未解決の問題は、(a) の寸法において 70°ローバー 収束角が小さくとも 2 次の軸上収差の値が、このととのの計算値と測定値との不一致を説明するには小工過誤などである。すなはち、(b) の寸法のととのにも、機械的欠陥による収差の減少にもかかわらず、測定値と計算値との間に依然としてかなり大きな不一致が見られる。このようでは実験的に得られる 70°ローバー 径の増大の原因としては、(b) の寸法において 70°ローバー 収束角に対する測定値の増加があまり急激でないことから、 70°ローバー 収束角に比例する色収差の影響が考えられる。実験に用いた電子顕微鏡の高圧電源、レンズ電源の変動および電子放出時のエネルギー-広がり

りに起因する色収差は無視できる程度に小さく、別の単体の電源から供給してある薄膜レンズの電流の変動 ($\gamma^{\circ}\Omega - \gamma^{\circ}\text{径}$) の影響を与えてある可能性がある。この問題は、今後さらに薄膜レンズの性能を向上させるために検討すべき課題である。

§ 5-6 結 言

本章においては、実験と理論計算の両面から、薄膜レンズを用いて $\gamma^{\circ}\Omega - \gamma^{\circ}\text{フオーミング}$ レンズの球面収差を補正したときの $\gamma^{\circ}\Omega - \gamma^{\circ}\text{径}$ の変化を調べた。ヘアピンカリードを用いた予備実験により、 $\gamma^{\circ}\Omega - \gamma^{\circ}$ 電流を一定に保つと $\gamma^{\circ}\Omega - \gamma^{\circ}\text{径}$ を減少させることを実証した。しかし、このときの $\gamma^{\circ}\Omega - \gamma^{\circ}\text{径}$ の測定値が、理論的予測より大きな値に制限されることが分った。

そこで、 $\gamma^{\circ}\Omega - \gamma^{\circ}\text{径}$ の大きさを決定する要因を明らかにし、またこの影響の軽減により薄膜レンズの性能を向上させることを目的として、薄膜レンズ寸法による $\gamma^{\circ}\Omega - \gamma^{\circ}\text{径}$ の変化の測定と薄膜レンズ動作時の2次の軸上収差の測定を行った。この際からスズ径が $\gamma^{\circ}\Omega - \gamma^{\circ}\text{径}$ の制限となるように、小エタガウス径の得られるポイントカリードを用い、また2次収差の測定は、陰影像を用いる新しい方法で行った。実験の結果、薄膜レンズ寸法のうち円孔平板電極の厚さが円孔平板電極と薄膜との距離を大きくすることにより $\gamma^{\circ}\Omega - \gamma^{\circ}\text{径}$ を減少させることと、この $\gamma^{\circ}\Omega - \gamma^{\circ}\text{径}$ の減少に対する相対的な工作精度の改善に起因する2次の軸上収差の減少が重要な役割を果たすことが分った。

このように、薄膜レンズを用いたて広い範囲の 70° ローバー角において球面収差補正が実現でき、また薄膜レンズ手法を工夫することによって薄膜レンズの工作精度の不十分による収差を減少させることができ。その結果、薄膜レンズを用いて得られる 70° ローバー角は、これを用いたときと比べて、 70° ローバー角 43.2 mrad となり約 $1/8$ 、 23.0 mrad となり約 $1/3$ に減少し、薄膜レンズの实用性が明確となつた。

第5章 の参考文献

- 1) Hibino, M., Sugiyama, S., Hanai, T. and Maruse, S.: J. Electron Microscopy, 27, 259 (1978)
- 2) Hanai, T., Hibino, M. and Maruse, S.: J. Electron Microscopy (投稿中)
- 3) Maruse, S., Ichihashi, M. and Hiratake, S.: Proc. 7th Int. Congr. Electron Microscopy, Grenoble, 1970, Vol. 2, p. 1
- 4) Hibino, M. and Kuzuya, M.: Jpn. J. Appl. Phys., 20, 781 (1981)
- 5) 杉山也子、日比野倫夫、丸勢進: 日本電子顕微鏡学会 第36回学術講演会予稿集, p. 182 (1980)
- 6) Koops, H.: Optik, 52, 1 (1978/1979)
- 7) Sakaki, Y. and Maruse, S.: J. Electron Microscopy, 2, 8 (1954)
- 8) Cowley, J. M.: Ultramicroscopy, 4, 413 (1979)

- 9) 花井孝明、岸上正弘、日比野倫夫：日本電子顕微鏡学会第
39回学術講演会予稿集、p.137 (1983)
- 10) 花井孝明、篠原隆幸、日比野倫夫、丸勢進：日本電子顕
微鏡学会第40回学術講演会予稿集、p.97 (1984)

第6章 走査型および走査透過型電子顕微鏡への 薄膜レンズの応用

§ 6-1 序 言

前章までで行つた実験および計算により、薄膜レンズの球面収差補正効果およびそれによる γ_{D} の減りが実証され、薄膜レンズの有用性が示された。これにより、薄膜レンズを電子 γ_{D} 装置に適用するための準備はほぼ整つたと考えられる。次にこれで課題は、実際に種々の電子 γ_{D} 装置に薄膜レンズを応用し、個々の装置に対して薄膜レンズの効果と使用上の制限を明らかにするところである。

本章では、電子 γ_{D} 装置の中で特に SEM と STEM の γ_{D} オーバーミングレンズの補正を行い、これら装置の性能向上に対する薄膜レンズの寄与を示すとともに、その実用化に向けての問題点を明らかにする。

§ 6-2 走査型電子顕微鏡(SEM)への応用¹⁾

6-2-1 実験方法とSEM像の観察、

SEMの動作は§4-4で示したSTEMの動作と基本的には同じであり、信号として透過電子ではなく2次電子を利用する点だけが異なっている。SEMの γ_{D} オーバーミングレンズの球面収差を補正することの効果を、実際にSEM像の観察により調べてみる。

図6-1に実験装置の概略を示す。薄膜レンズとフローランジングレンズの配置は、第5章で用いたものとはほとんど同じであるが、2次電子を薄膜レンズとフローランジングレンズの間から検出するために、この間隔Lを§3-3で求めた最適な値より大きくとらざると得ない。このとき、補正に要する電圧が高くかかるが、この値が薄膜の破壊しない限界 ($d=0.03$ mmで $V_f = 200V$) 内に収まるように、 $L=35mm$ としている。薄膜レンズの寸法は、 $R=0.25mm$ 、 $d=0.03mm$ 、 $t=0.01mm$ であり、薄膜としては厚さ約10 nm の炭素蒸着膜を用いた。

2次電子の検出のために、蛍光体ミニテレータと光電子増倍管から成る検出器を作製²⁾、使用している。2次電子を加速してミニテレータに入射させるために、ミニテレータ先端部に10 kVの電圧を印加しているが、この電圧によって試料からの2次電子だけではなく、薄膜レンズの薄膜から発生した2次電子も引き寄せられて検出され得る。この薄膜からの2次電子は像かくわしくて像質を悪化せるので、これをしゃへらすために、薄膜レンズの下に入射ビームを通りうための直径0.3 mmの穴をもつた金属円筒を取り付けた。

フローランジングレンズ系は、§3-3で補正特性の計算に用いたレンズ系(図3-4参照)をそのまま採用している。このレンズ系ではフローランジング電流、フローランジング収束角および系全体の倍率が一定に保たれるので、薄膜レンズの結果によるフローランジングの変化のみが現われる。反面、§5-2で述べたように非点収差が

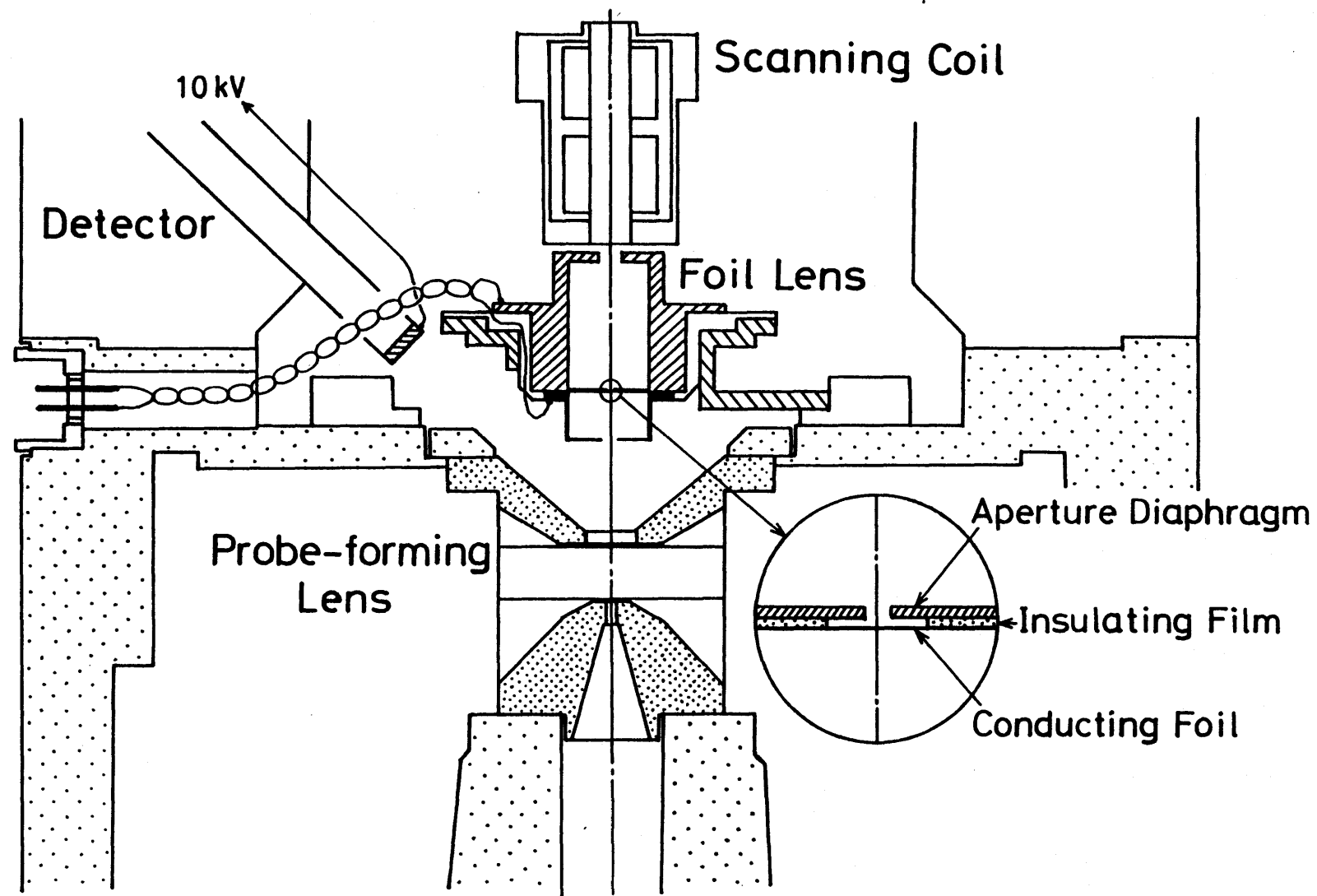


図 6-1 SEM補正実験に用いた装置の構成

補正しきれども下限といふ欠点があるが、本実験での解像度は20~30 nm程度であり、非点収差の影響はこれ以下に抑えることが可能である。

図6-21は、加速電圧50 kVで観察した炭素支持膜上の蒸着金粒子のSEM像を示す。球面収差の寄与が支配的に下限のように、 70° ローバル角は通常のSEMで用いる値より大きめ(48 mrad)としている。(a)は薄膜レンズを動作させたとき、(b)は薄膜レンズに200 Vの電圧を加えたときの像である。両方の像に云ひて濃い像が見られるが、これは信号量の不足による量子統計ノイズである。この信号量の不足の問題は、薄膜レンズをSEMに適用する際の重要な制限となるので、後に詳しく議論することとし、ここでは二つの像のコントラストの違いに注目する。(a)では金粒子のコントラストが極めて低く、一つ一つの粒子を識別するには困難である。一方(b)ではコントラストの高い像が得られ、濃い像にもかかわらず20~30 nmの径の金粒子が観察できる。

薄膜レンズを動作させるに下限のように、像コントラストの改善は、球面収差が補正されるに下限 70° ローバル角の減りに下限よりも下にされてしまうと考えられる。次に、 70° ローバル電子流密度と像コントラストの計算によってこの点を検討する。

6-2-2 像コントラストの計算による観察結果の検討

実験に用いた試料を図6-3のようにモデル化し、このモデル

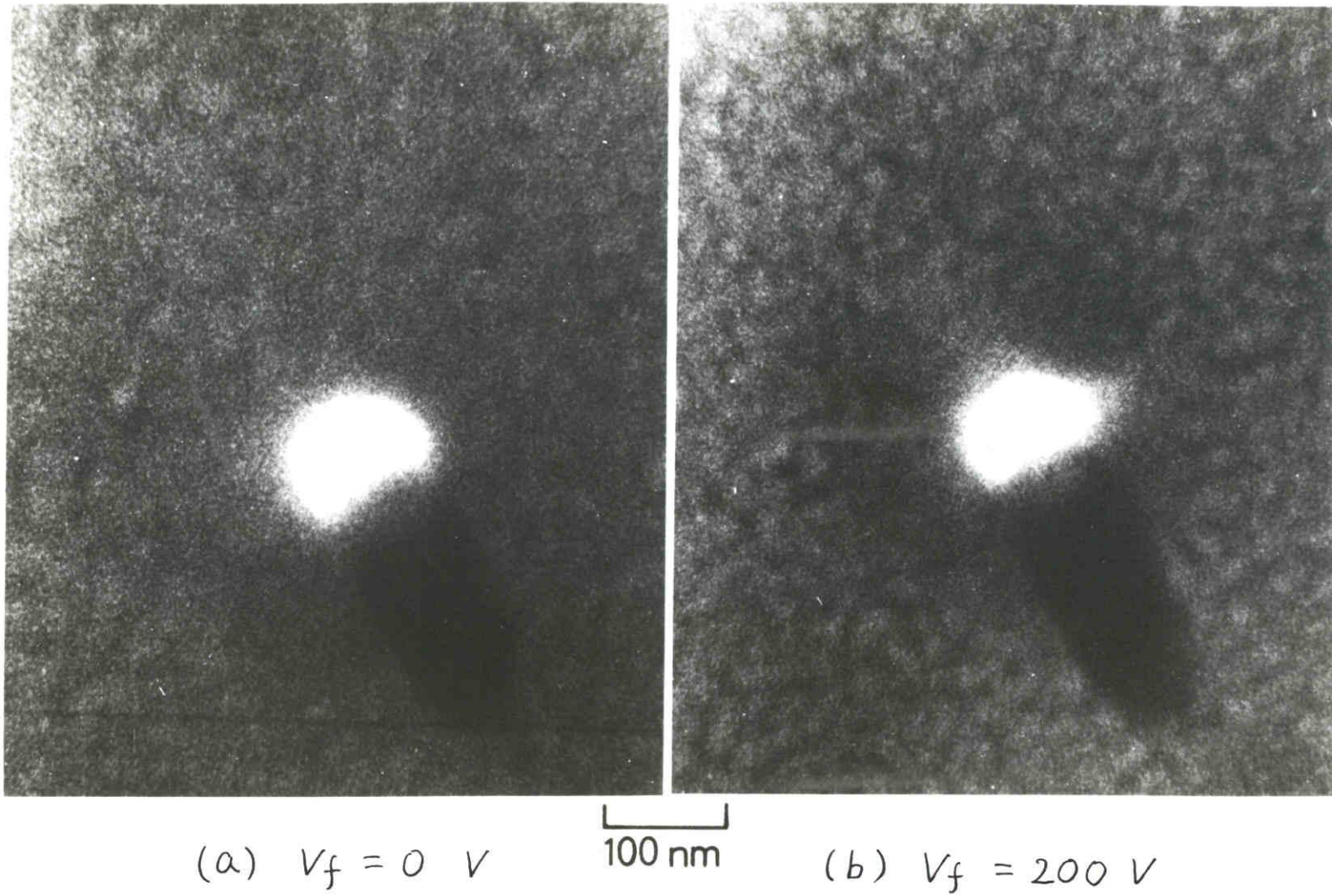


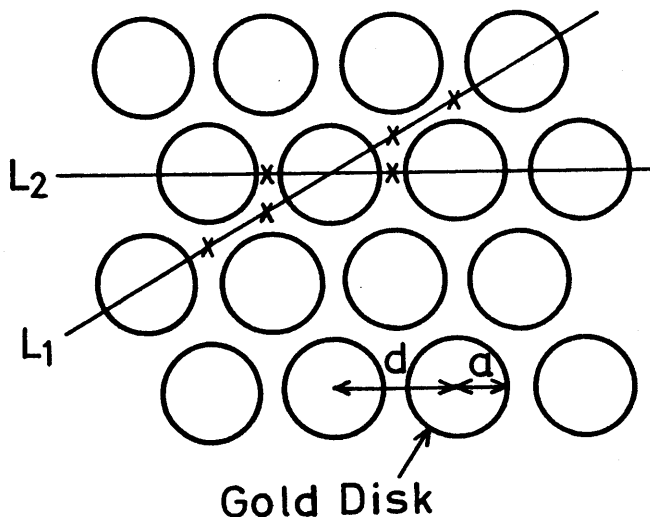
図 6-2 薄膜レンズを用いて撮影した金粒子の SEM 像

試料に対する SEM 像のコントラストを計算して、実験との比較を行った。モデル試料において、金粒子は半径 15 nm、厚さ 8 nm の円板とし、これが相互間隔 34 nm で最密に炭素支持膜上に並んでいるものと仮定した。この半径等の値は、同じ試料の CT EM 像から測定した金粒子 1 個の面積と単位面積あたりの金粒子数の平均値、および蒸着時に測定した金粒子の平均膜厚から求めた。

像コントラスト C を次式で定義する。

$$C = (S_h - S_e) / S_e \quad (6-1)$$

ここで S_h と S_e は、ある一直線の金粒子の中心を通る直線上で 70°



$$a = 15 \text{ nm}$$

$$d = 34 \text{ nm}$$

図 6-3 像コントラストの計算
に用いた試料のモデル

L_1 と L_2 の直線上に沿って走査したとき、
それぞれ最大と最小のコントラストとなる。

ロードを走査してとくに得られる2次電子数の極大と極小をそれぞれ表わしていく。実験的に得られるコントラストは、あらゆる方向に引かれてこのグラフ直線に沿って得られるコントラストの平均値と考えられる。ここで簡単のため、あらゆる方向の中で最大と最小のコントラストを与えると考えられる二つの方向について計算を行い、実験値と比較する。

金の2次電子効率(1個の入射電子あたり発生する2次電子の数)は炭素より高いので、 S_h は 70° ロードが金の中心にあるとき得られ、 70° ロードの走査方向によらず一定である。コントラストの大小はしたがって S_L の大さきで決まる。 S_L は図6-3にX印で示したように 70° ロードが金粒子から最も遠い位置にありとくに得られるが、この値は近似的にX印の点から最近接の金粒子までの距離だけで決まるものと考えられる。その距離はすべての方向のうちで明らかに L_1 に対しても最小、 L_2 に対しても最大であるから、図6-4に示すようにそれぞれの場合に最大(C_{\max})および最小(C_{\min})のコントラストを与える。

さて、コントラスト計算に必要となる2次電子の数 S_h と S_L は、 70° ロード電子流密度分布および金粒子と炭素支持膜の2次電子効率がわかれば求めることができる。(6-1)式からわかるように2次電子効率の相対値がわかればよいので、金の2次電子効率 δ_{Au} と炭素の2次電子効率 δ_C の比 δ_{Au}/δ_C の値を考えればよい。これまでに報告されていは2次電子効率の測定³⁻⁶⁾はされど、加速電圧50kVにおける薄膜試料の場合の値として

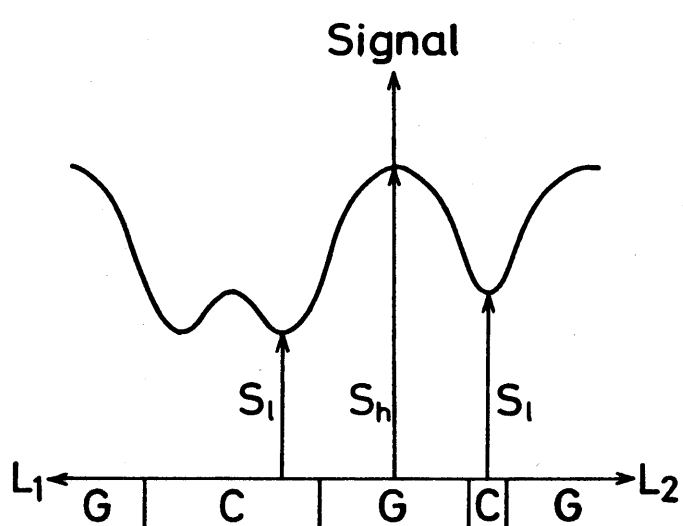
$$\delta_{Au}/\delta_C = 2.0 \text{ ズ}$$

ある。

次に、§4-2で導いた式に実験条件を入れ、5次までの球面収差を考慮して γ° ローバ電子流密度を計算した。第2コントラレンズによつてくられる電子源の電子流密度分

では、これまでと同様ガウス分布であるが、检测出効率を補うために γ° ローバ電流を大きくする必要があり、試料面に換算したがり入分布の半価幅は 16 nm であった。また γ° ローバ収束角は 48 mrad である。種々の薄膜レンズ電圧について焦点からし量を変えて計算した電子流密度の γ° ローバと、図6-3のX印の点に置いたときに得られるコントラストのうちの最大のコントラストを、 L_1 および L_2 の場合についてそれぞれ計算した。

まず代表的な薄膜レンズ電圧について、最大のコントラストを与える焦点からしににおける γ° ローバ電子流密度を図6-5に示す。それぞれの場合の焦点からし量と、3次と5次の球面収差係数 C_{S3} と C_{S5} も図中に示してある。縦軸は、収差の γ° ローバ理想的



G: gold disk

C: carbon film

図6-4 図6-3の L_1 と L_2 に沿って走査したときの2次電子数の変化

2次電子数の最大値 S_h は金粒子の円盤の中央で得られ、最小値 S_l は図6-3のX印の位置で得られる。

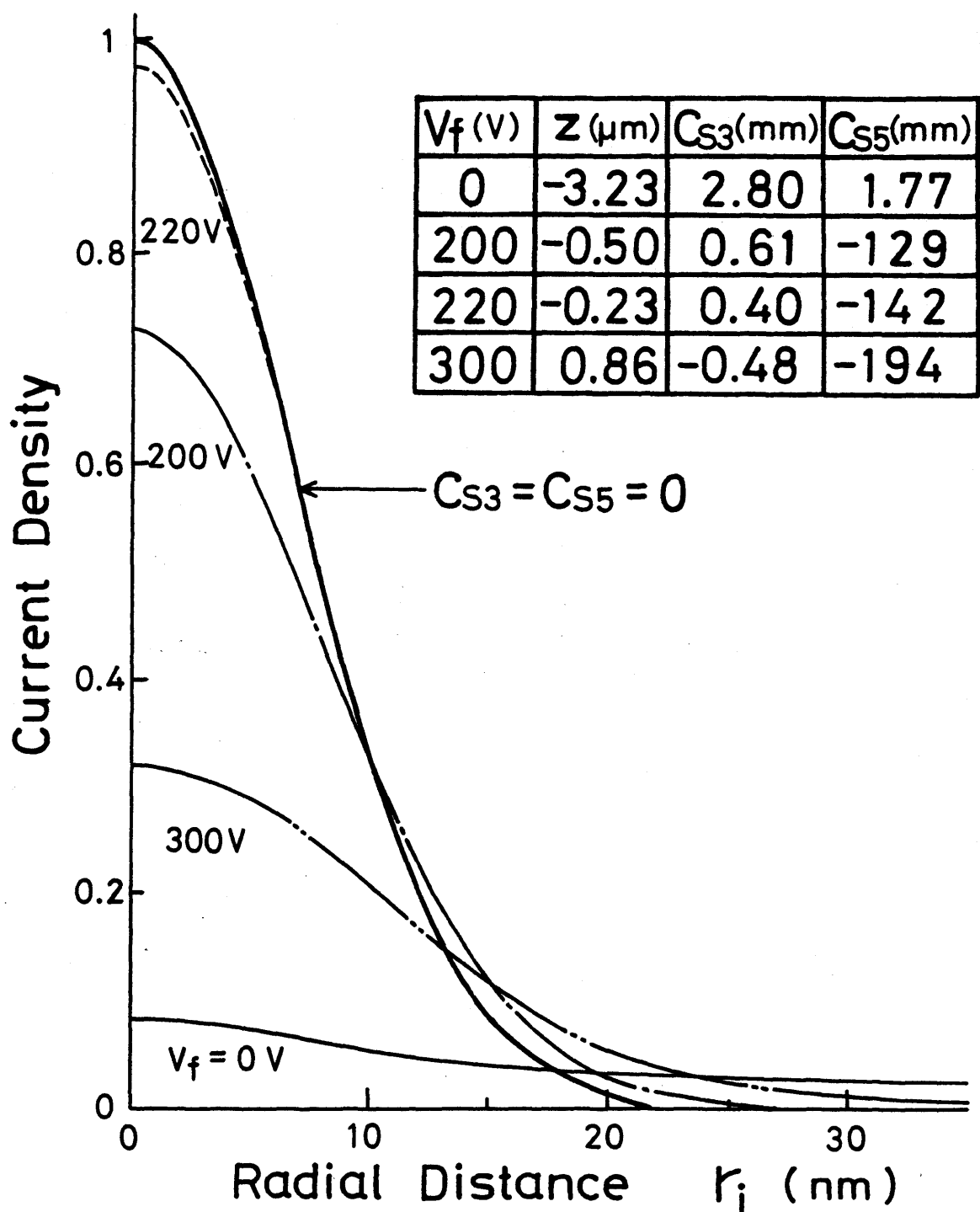


図 6-5 最大の像コントラストを与えるプローブ電子流
密度分布の薄膜レンズ電圧による変化

ニズ ($C_{S3} = C_{S5} = 0$) で τ から τ_3 が 70°ローバー の軸上電子流密度の値で規格化してある。薄膜レンズを動作させないと ($V_f = 0\text{ V}$) では、大きな球面収差のために 70°ローバー は広がる。薄膜レンズ電圧を印加し、これを増加させるとにつれて、球面収差が補正され 70°ローバー 形状はだいに鋭く高いピーカーを呈する F_3 になる。最適な電圧 $V_f = 220\text{ V}$ においては、理想的なレンズで $\tau = \tau_3 = 70^{\circ}\text{ローバー}$ とほとんど同じ形状の 70°ローバー が得られる。薄膜レンズ電圧を 220 V 以上に増加すると、過補正の状態となり、分布の形状は再び悪化する。

このような τ が 70°ローバー 電子流密度分布から計算してコントラストの薄膜レンズ電圧に対する変化は、図 6-6 の F_3 に示す。図 6-3 の L_1 と L_2 に沿って得られるコントラスト C_{max} と C_{min} は、いずれも $V_f = 220\text{ V}$ 付近で鋭いピーカーをもち、 $V_f = 0\text{ V}$ で 1% 程度のコントラストが約 20% にまで改善できることが分かる。実験結果と計算結果の比較のため、図 6-2 の像における金粒子のコントラストをマイクロデンシトメータを用いて測定した。その結果、 $V_f = 0\text{ V}$ では一つ一つの粒子をバックグラウンド 1 イズから識別することができない、測定は不可能であった。一方、 $V_f = 200\text{ V}$ では平均 14% のコントラストが得られた。この値は図 6-6 に X 印で示してあるが、 $V_f = 200\text{ V}$ における計算値、 $C_{max} = 14.8\%$ と $C_{min} = 12.6\%$ の間に収まっている。

ここで用いた 2 次電子効率の値は、報告されている代表的な値であるが、文献には若干異なり、 τ 値を与えているもの

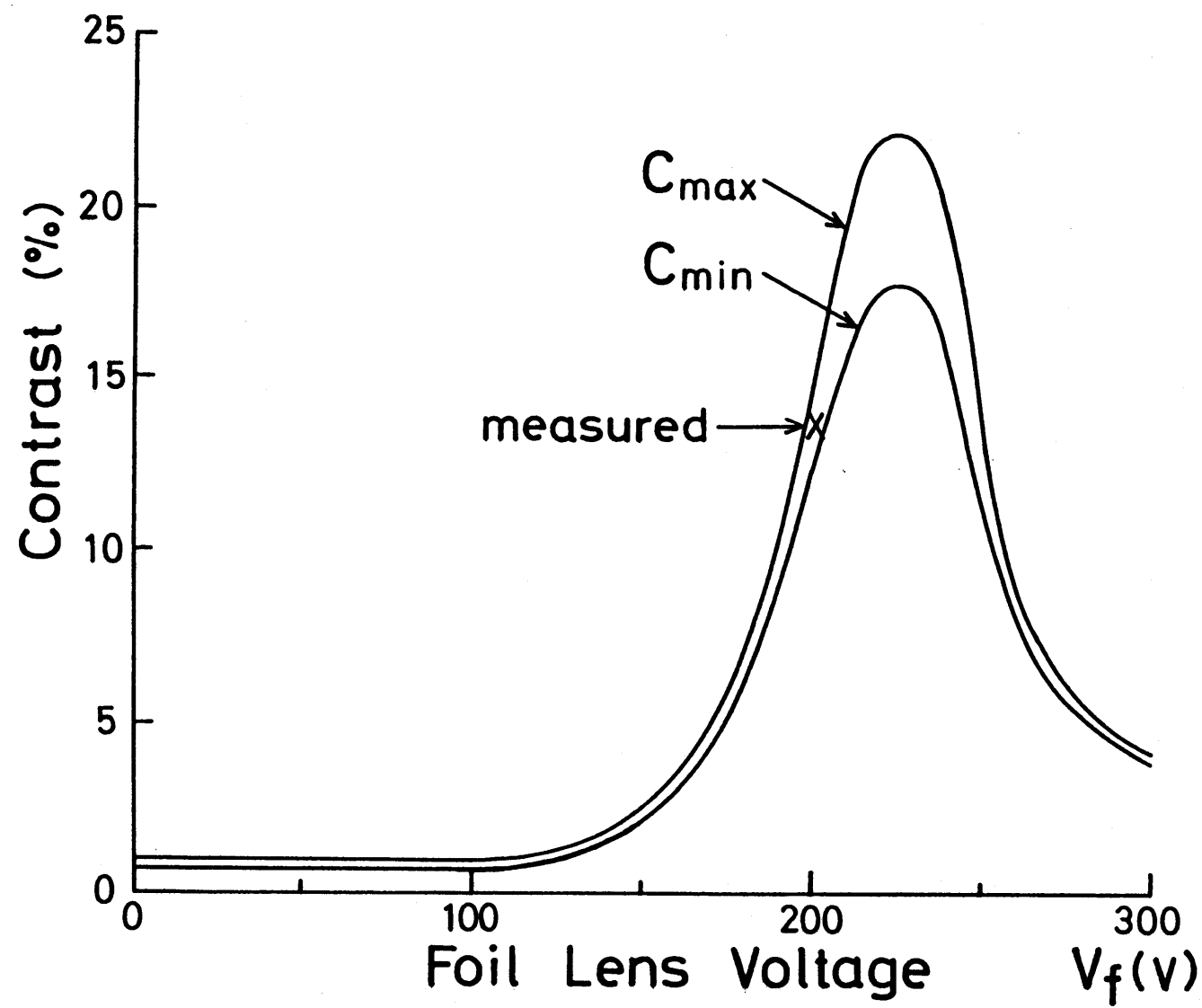


図 6-6 最大(C_{max})と最小(C_{min})のコントラストの薄膜レンズ電圧による変化

もある。⁶⁾ そこで、 δ_{Au}/δ_C の値を変えてときにはどの程度コントラストが変化するか調べてみると、 $\delta_{Au}/\delta_C = 1.7 \sim 2.7$ の範囲でのコントラストは、 $V_f = 0 V$ のとき常に 1.5% 以下、 $V_f = 200 V$ のときは 10 ~ 20% の範囲にあり、 δ_{Au}/δ_C の変化にほど敏感ではないことがわかった。

このように、モデル試料を用いて計算した像コントラストは実験結果と一致し、薄膜レンズの球面収差補正効果によるコントラストの増大が実証された。

6-2-3 薄膜レンズの適用限界についての検討

薄膜レンズと組み込んだときに得られる SEM 像は、球面収差を補正した場合でも、図 6-2 に見られるように濃い 1 イスのためには像質は悪い。この 1 イスは量子統計 1 イスであるが、その原因として次の三つが考えられる。

- (1) 低い 2 次電子発生効率。
- (2) 低い 2 次電子検出効率。
- (3) 薄膜レンズの薄膜による入射電子の散乱の影響。

(1) の 2 次電子発生効率の低いことの理由は、ここで用いた加速電圧が SEM としては高過ぎることである。通常の SEM では加速電圧は 1 kV ~ 20 kV 程度が普通であり、それ以上の加速電圧では、2 次電子発生効率が加速電圧に対して反比例して減少する。本実験で 2 次電子発生効率を犠牲にして 50 kV と高い加速電圧を選んだ理由は、(3) の問題と関連があるのが、

(3) の問題を議論した後に再び取り上げることにする。

(2) の問題は、本実験のように強励磁の Polo-Potassium グレンズに薄膜レンズを組み合わせて系で問題となる。すなはち、この場合には 1 次電子を薄膜レンズと Polo-Potassium グレンズの間から検出しつければならないが、一方良好な補正特性を得るためにはこの二つのレンズの間隔を広げることは望ましくない。したがって両レンズ間の狭い間隙から 2 次電子を検出しつければならず、検出効率は低下する。量子統計 1 では支配的な場合、像の S/N 比は検出される 2 次電子数の平方根に比例するので、検出効率の低下に伴うその平方根に比例して S/N 比が悪化する。この下での検出効率の低下は、焦点距離の長い Polo-Potassium グレンズを使う、ワキニゲンイスタニスの大玉の SEM では避け得る。この種の SEM では 70 kV - Polo-Potassium グレンズと試料との間にとりわけ広い空間に検出器を挿入し、薄膜レンズの有無に関わらず十分な数の 2 次電子を検出することができるからである。

(3) の入射電子の散乱の影響は、薄膜レンズの本質に関する問題である。薄膜レンズの薄膜から放出された 2 次電子は、ほとんどすべて薄膜レンズの下に取り付けた円筒で除かれる。重要なのは薄膜によって散乱されて電子である。 50 keV の入射電子は、 10 nm の厚さの炭素薄膜によって、その $1/4$ が弾性的であり、 $3/4$ が非弾性的に散乱される。⁷⁾ 散乱された電子は、 Polo-Potassium グレンズを通過後に試料上に大きく広がって入射す

3。 これは γ -オーフォードレンズと大きく焦点がらしし
T₂のと同様の効果を与える、全視野にわたってほとんど一樣な像
の強度、すなわちバックグラウンドが形成される。バックグラ
ウンド/イズはバックグラウンドレベルの平滑度に比例して増
大し、一元信号量は入射電子の散乱に伴う減少してただけ減る
ので、結果として S/N 比が悪化することになる。

ここで注意すべきことは、(1) の 2 次電子発生効率と(3) の電
子線透過率が、加速電圧に対して逆の依存性を示すことである。
たとえば、加速電圧を 50 kV から 20 kV に下げれば、2 次電子
発生効率は約 2 倍になるが、これと電子線透過率(780% から
50%) は低下し、結果的に加速電圧の変化によって S/N 比を改善
するには及ばない。

6-2-4 結 言

薄膜レンズを実際に SEM に組み込んで行った実験の結果、
本節で目的として球面収差補正による SEM 像の像質の改善が
達成できた。また、像ユニットの計算結果は実験結果と一
致し、薄膜レンズの効果による像ユニットの改善を定量的
に示すことができた。

一方、高い 2 次電子効率を得るために低い加速電圧で動作さ
せる多くの多くの SEM においては、薄膜による入射電子の散乱
が重大な影響をもたらし、また γ -オーフォードレンズの
上部から 2 次電子を被出しえなければならぬ場合には、薄膜レ

ニスの存在によって検出効率が低下し、ノイズが増加すること
が分った。しかしながら、現在使用している薄膜よりさらに散
乱能の小さい軽元素の薄膜の開発、あるいはワーキングディス
タンスの大いなプローブフォーミングレンズに対する薄膜レン
ズの適用により、SEMに対する薄膜レンズの応用の可能性が
あると考えられ、今後の検討が必要である。

§ 6-3 正直透過型電子顕微鏡(SEM)への応用⁸⁾

6-3-1 SEM像の観察

前節において、薄膜レンズの適用に際しては、加速電圧が重
要性寄与をすることが結論された。すなれど、高い加速電圧を
用いることが有利な装置において薄膜レンズがより効果的であ
る。このことを確かめ、薄膜レンズの实用性を示すために、高
い加速電圧での動作が有利なSEMに薄膜レンズを適用し、
球面収差補正による像の変化を調べた。

実験装置およびレンズ系の動作条件は、第5章でプローブ径
の測定に用いたものと全く同じである。したがって、透過電子
の検出角は7°ローバー収束角に等しくとられている。加速電圧は
50 kV、7°ローバー収束角は43 mradとしている。薄膜レンズは
厚さ約8 nmの炭素蒸着膜である。このような条件のもとで観察
した金粒子のSEM像を図6-7に示す。(a)は薄膜レンズを
組み込まないで撮った像、(b)は薄膜レンズを組み込んである
が、補正のための電圧を印加していない場合、(c)は薄膜レン

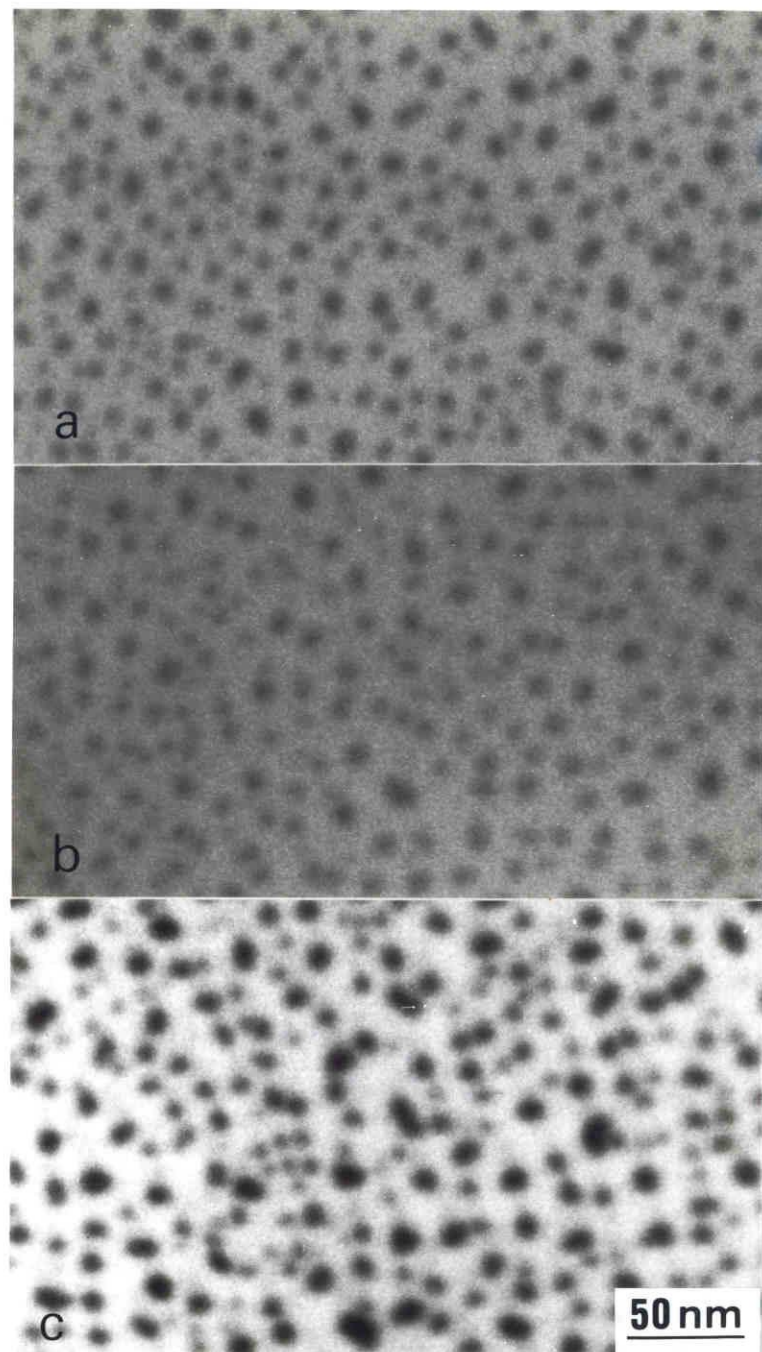


図6-7 金粒子のSTEM像

(a) 薄膜レンズなし

(b) 薄膜レンズあり、 $V_f = 0\text{ V}$

(c) 薄膜レンズあり、 $V_f = 100\text{ V}$

ズに 100 V の電圧を加えた場合の像である。

また(a)と(b)を比較すると、やはりかぎはあるが(b)の像の方
がコントラストが低下していることが分かる。STEMにおいて
 70° ローブオーミングレンズの後方で透過電子を検出するの
で、前節のSEMの場合のように薄膜レンズを組み込んだことによ
る検出効率の低下は起らぬまい。(b)における像質の低下は、
薄膜レンズの薄膜による電子の散乱の影響である。SEMの場合
と同様STEMにおいても、薄膜で散乱された電子のうち検
出鏡り内に入り得るのは像のバックグラウンドを形成し、一方
有効な入射電子は減少するので、S/N比が低下するところである。

(c)の像は(a)および(b)と比べて格段にコントラストが改善
されている。これらの像を撮影する際に、信号の増幅率、写真
撮影の露光時間、写真フィルムの現像時間等の像作製に付隨す
る過程での諸条件は、注意深く一定に保つており、このコント
ラストの改善は球面収差補正の効果であると考えるに至る。
そこで、 70° ローブ電子流密度の計算により(a)から(c)への
像の変化を検討する。

6-3-2 觀察結果の検討

観察条件のもとでの $V_f = 0\text{ V}$ および $V_f = 100\text{ V}$ の 70° ロ
ーブ電子流密度分布を計算すると図6-8の分布が得られる。

$V_f = 0\text{ V}$ の曲線は、図4-11に実線で示した分布と同じもので
ある。§4-4で議論したように、試料がコントラストの強い

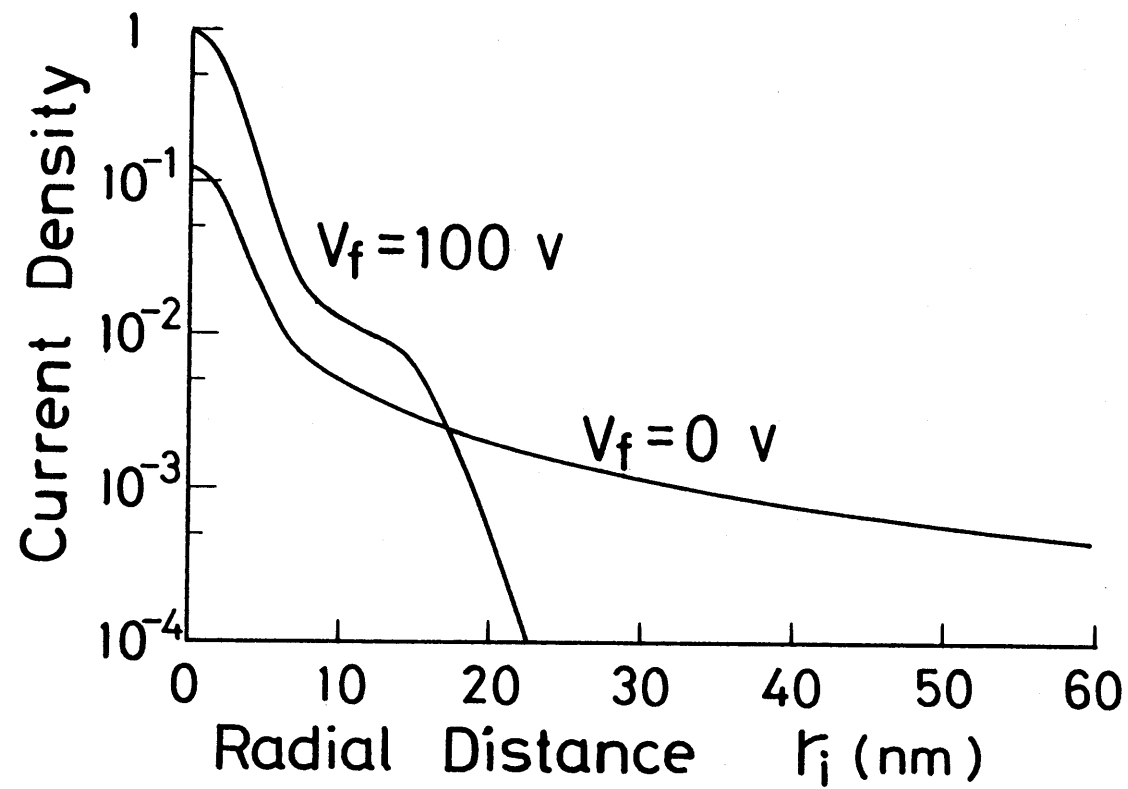


図 6-8 球面収差補正による 7° ローブ電子流密度分布の変化

ものである場合には、最も鋭い像は軸上電子流密度が最大となる焦点ずらしの条件において得られるので、図6-8の曲線はそのような焦点ずらし量で計算した結果を述べる。

図6-7(a)においては、バックグラウンドレベルが高く粒子のコントラストは低いが、粒子のエッジは鋭い。これは§4-4でも指摘したように、プローブ電子流密度分布の中央の狭いピーグが像をつくり、その周囲の部分はバックグラウンドを形成するからであると考えられる。

一方、(c)の像においてはコントラストが大幅に改善されているが、粒子のエッジの鋭さは(a)と比べてあまり変化がない。その理由は、図6-8のプローブ電子流密度分布から理解できるように、バックグラウンドの原因となる変化の緩やかで周辺部の電子が少なくなり、ほとんどすべての電子が粒子の像コントラストに寄与するが、その分布の幅は $V_f = 0$ Vにおける中央のピーグの幅と同程度であるためと考えられる。

本実験においては、試料の金粒子と支持膜の炭素膜との電子線透過率の差が比較的大きいので、未補正の場合にも電子流密度分布の中央部のわずかで電子によって十分なコントラストが得られ、この場合のプローブ径 180 nm 以下にトントナの粒子まで観察可能である。このように、観察できる最小の粒子径は像コントラストと密接な関係があり、したがって試料自身の性質に依存することが分かる。

球面収差補正は解像度の限界付近において最も有用である。

STEMの解像度は通常、 \pm ローブ電流の不足によるS/N比の悪化のために、小さな粒子の像とノイズとを識別できなくなることによって制限される。このとき \pm ローブ電流を増大させようとしても、§2-1で述べたように \pm ローブ径も増大する。このとき粒子径より広がった部分の電子はバックグラウンドを形成して像コントラストを低下させるので、解像度は悪化するに至る。したがって \pm ローブ径の増大なしに \pm ローブ電流を増すことが必要とされるが、これは \pm ローブ収束角を大きくして \pm ローブ電流を増し、球面収差補正によって \pm ローブ径を減らせることで実現できる。この場合には、像コントラストを低下させずにS/N比を改善できるので、解像度を向上させることができである。

6-3-3 結 言

薄膜レンズとSTEMに適用して \pm ローブフォーミングレンズの球面収差を補正することにより、STEM像のコントラストを改善できることを示した。また、このコントラストの改善は \pm ローブ電子流密度の改善によるものとして定性的に説明している。したがって、バックグラウンドノイズに埋もれて弱いコントラストの微細構造が収差補正によって識別できるようになり、解像度が向上することができる。

薄膜レンズを適用する際に、薄膜による電子の散乱に起因する像コントラストの低下が観察された。しかししながら、この像

コントラストの低下は球面収差補正の効果に比べて小さく、重下Tは障害とはならないことがわかった。この実験で用いた $T=50\text{ kV}$ の加速電圧はSTEM用としては低い方であり、最近では 200 kV 程度の高い加速電圧で動作する装置が増えてきている。また、さらに短い電子波長と高い輝度を得るために、より高い加速電圧の超高压STEM装置の開発も進められている。このような高加速電圧化されたSTEMにおいては、薄膜によつて散乱される電子が減少し、薄膜レンズの有用性は一層高まると言えられる。

第6章の参考文献

- 1) Hanai, T., Hibino, M. and Maruse, S.: J. Electron Microscopy, 31, 360 (1982)
- 2) Everhart, T. E. and Thornley, R. F. M.: J. Sci. Instr., 37, 246 (1960)
- 3) Reimer, L. and Drescher, H.: J. Phys. D, 10, 805 (1977)
- 4) Moncrieff, D. and Barker, P.: Scanning, 1, 195 (1978)
- 5) Reimer, L. and Tollkamp, C.: Scanning, 3, 35 (1980)
- 6) Wittry, D.: X-ray Optics and Microanalysis, 4th Int. Congr., Orsay, Herman, Paris, 1966, p. 168
- 7) 杉山せつ子、日比野倫夫、丸努進：日本電子顕微鏡学会第36回学術講演会予稿集, p. 182 (1980)

8) Hibino, M., Hanai, T., Kuzuya, M. and Maruse, S.:
Proc. 10th Int. Cong. Electron Microscopy, Hamburg,
1982, Vol. 1, 287

第17章 結論

電子プローブ装置は1930年代に走査型電子顕微鏡(SEM)の形ではじめて世に現われた。その後の50年間に、電子と物質との種々の相互作用によって生ずる信号を利用して微小領域での定性、定量分析、微細構造を観察する種々の顕微法、あるいはLSIの作製および検査等、多様な要請を満足する多くの装置に分化し、広範な分野で応用されるようになってきた。この間に、高輝度電子銃の開発、各種検出器の高性能化、真空技術の向上、機械的、電気的安定度の改善等、装置の基本的性能に関する諸技術は著しい進歩を遂げてきた。

その中にあって、電子源を縮小して微小なプローブを作製する電子レンズも改良と重ねられ、特性の向上が計られてきた。その最も重要な特性のひとつである球面収差は、1936年にScherzerによって示されたように通常型レンズについての通常行われる球面収差である。この通常型レンズの条件の枠から出た特殊型レンズを用いる球面収差補正法についての多くの研究がなされたが、いずれも実用化には至っていなかった。一方、通常型レンズの条件の枠内で球面収差を減らすようとする試みも、ある程度の成果を収めているが十分ではなく、電子プローブ装置の基本的性能を左右する電子プローブ径およびプローブ電流の大さきは、球面収差によって制限されているのが現状である。このような状況を開拓して電子プローブ装置の裕度の性能向

上を達成するためには、球面収差補正を実現する以外はない。
そこで、過去に提案された種々の補正法のうちで実用化の可能性が高い薄膜レンズを用いてローラーボーリングレンズの球面収差を補正し、ローラーボール径の減少を通して電子ローラー装置の性能を向上させることを目的として基礎的研究を行った。その成果は次のようまとめられる。

(1) ローラーボーリングレンズに薄膜レンズを適用して球面収差を補正する際の補正特性を調べるには、実験結果の検討、薄膜レンズの設計に不可欠である。そこで、そのために必要な3次および5次の球面収差係数の式を、電算機を用いて計算に通して得て導いた。

(2) この式を使って補正効果の評価を行った結果、球面収差補正が可能であることが分ったが、3次の球面収差が零となる薄膜レンズ電極で5次の球面収差係数が大となり、これが実際に使用できるローラーボール角を制限することが分った。
そこで、3次の球面収差係数が零となる薄膜レンズ電極とそのときの5次の球面収差係数の大さきに着目して検討した結果、この両者を同時に減少させるために、薄膜レンズの円孔平板電極と導電性薄膜との距離を大きくとればよいかわかった。

(3) 薄膜レンズを用いた球面収差補正のローラーボール径への寄与を理論的に検討するためには、ローラーボール電極流密度分布を表面光学的に計算する必要がある。そのために3次と5次の球面収差および焦点がらし量を波动光学的計算に導入するための関

係式と新しく導き、 γ ローバ電子流密度の式を得た。

(4) 薄膜レンズの γ ローバ径に対する効果の実験的検討可能な有るため、微小な γ ローバ径を測定する方法を開発した。薄い板状試料の走査透過型電子顕微鏡(STEM)像を利用することこの方法を用いれば、従来の測定法と比べて格段に小工 $2.2 \text{ nm} \sim 60 \text{ nm}$ の範囲の γ ローバ径に対して $\pm 10\%$ 以内の測定精度をもつことも分った。さらにこの方法は、従来の方法のような加速電圧の制限もなく、高い加速電圧の場合にも通用できるので、一般的の電子 γ ローバ装置に広く適用できる。

(5) 球面収差補正後に残る収差の大さきを評価するためには、工作精度や軸合せの精度の不十分に起因する、 γ ローバ γ フォーミングレンズ系の2次の軸上収差を測定する方法を考案した。細かい粒子の陰影像に現われる倍率無限大のリンクの形状と2次の軸上収差との関係を明らかにし、2次の軸上収差係数と3次の球面収差係数を求める式を導出した。これにより、 γ ローバ γ フォーミングレンズ系の動作条件を実際に γ ローバをつくる状態に設定します、その軸上収差の測定を行うことが可能となる。

(6) 薄膜レンズにおいて実際に γ ローバ γ フォーミングレンズの球面収差を補正し、このとき得られる γ ローバ径の変化を測定した結果、薄膜レンズの効果により、 γ ローバ電流を一定に保つと γ ローバ径を減少させることが示された。薄膜レン

ズを用いて得られた最小の φ ロ - φ 径は、 φ ロ - φ 収束角が 43.2 mrad のとき 5.9 nm 、 23.0 mrad のとき 4.6 nm であり、この値は薄膜レンズを用いたときの φ ロ - φ 径のそれより約 $1/8$ および約 $1/3$ であった。

また、薄膜レンズ寸法を変えてときの φ ロ - φ 径の測定結果を定量的に評価した結果、現在の段階では 5 次の球面収差より 2 次の軸上収差の影響が重要であり、薄膜レンズ寸法を大きくして相対的に工作精度の影響を軽減すれば、 φ ロ - φ 径を減少することができることも分かった。

(7) 薄膜レンズの応用例として、SEM 像に対する効果を調べた。薄膜レンズを動作させて撮影した SEM 像は、これを動作させないとあまり像コントラストが改善された。この像から測定したコントラストは、モデル試料に対して計算した値とよく一致し、薄膜レンズの効果による φ ロ - φ 径の減少が像コントラストの改善をもたらすことが明らかとなった。

(8) 一方、薄膜レンズの通用は球面収差補正による像コントラストの増大と同時に、薄膜での電子の散乱による S/N 比の低下をもたらし、応用に際してその得失の大小が問題となる。SEMにおいては、高い 2 次電子効率を得るために低い加速電圧を用いることが有利であり、このとき薄膜によって散乱される電子が増える。それゆえ、薄膜レンズの SEM への実際の応用においては、より電子線散乱能の小さな軽元素の薄膜の開発が不可欠であり、この点は今後の課題である。

(9) 加速電圧50kV、 $\pm 10^\circ$ 収束角43mradで行つたSTEM像観察の結果、球面収差補正による像コントラストの増加が、薄膜で散乱された電子によるバックグラウンドの増加をほんの一回り、薄膜レンズを用いたより格段にコントラストのよい像が得られた。この実験結果は $\pm 10^\circ$ 電子流密度の計算結果により定性的に説明できる。STEMは装置の性質上から高い加速電圧で用いるのが有利であるが、その場合には薄膜レンズの薄膜によって散乱される電子が減少し、薄膜レンズがより有効に使用できると考えられる。

以上述べたように、薄膜レンズを用いた球面収差補正によって、電子 $\pm 10^\circ$ 装置の基本的性能を決める要因である $\pm 10^\circ$ 径を減少することができるが実証され、電子 $\pm 10^\circ$ 装置の性能向上の可能性が示された。また、この過程において、電子 $\pm 10^\circ$ 装置の電子光学系の評価に有用な、 $\pm 10^\circ$ 径測定法および軸上収差測定法が確立された。

本研究によつて、電子 $\pm 10^\circ$ 装置用薄膜レンズの実用化のための準備はほぼ整つたと考えられる。今後さらに検討すべき課題としては、薄膜レンズの電源の安定度の問題、薄膜のコンタミネーションの防止等の技術的に解決が容易なものと除けば低加速電圧の装置における応用のために、薄膜による散乱およびその影響の軽減策を検討するところが残されている。電子の散乱を減少させるためには、薄膜の作製法の改良による膜厚の減少、薄膜の材質の検討と、また散乱電子の影響を減少させる

めに、散乱電子を逓り分けで除外する方法の検討を行う必要があると考えられる。

謝　辞

本研究の遂行のうえに本論文の作成にあたって、終始懇切
な御指導と御鞭撻を賜った名古屋大学教授工学博士丸勢進先生
同助教授工学博士日比野倫夫先生に心から感謝の意を表わします。

本論文をまとめにあたって、数々の有益なる御教示をいた
だきました名古屋大学教授工学博士奥田孝美先生に深く感謝の
意を表わします。

さらに、本研究を進めるにあたって数々の御便宜と御教示を
いたしました名古屋大学工学部電気学科、電気工学第二学科
電子工学科の諸先生に深く御礼を申し上げます。

本研究の薄膜レンズの作製にあたっては日立製作所那珂工場
の木村力氏の御協力をいたしました、第3章の球面収差係数の導出
に際しては中部大学講師葛谷幹夫先生の御協力を受けました。
あわせてここに厚く御礼申し上げます。

最後に、日頃研究にあたって惜しきほひ激励と御指導をいた
だきました名古屋大学助教授工学博士内川嘉樹先生、同助教授
工学博士下山宏先生、同助手杉山せつ子氏、同技官加藤護氏を
はじめ丸勢研究室、電子光学実験施設の諸氏に対して心から御
礼申し上げます。